

**INSTITUTUL POLITEHNIC „TRAIAN VULIU”**

**TIMIȘOARA**

**Facultatea de mecanică agricolă**

**Ing. Radu I. Petroianu**

**CONTRIBUTII TEORETICE SI EXPERIMENTALE PRIVIND  
MECANIZAREA PROCESULUI DE MARUNTIRE A SOLULUI**

**Teză de doctorat**

**Conducător științific**

**Prof.Dr.Doc.Ing. STEFAN CAPROIU**

**m.c.al Academiei de Științe**

**Agricole și silvice din R.S.România**

BIBLIOTECĂ CENTRALĂ  
UNIVERSITATEA "POLITEHNICA"  
TIMIȘOARA

**- 1978 -**

341.190  
201 7



Notări și unități de măsură folosite

- i - raport de transmitere (de demultiplicare) ;  
v - viteză [m/s și km/h] ;  
z - număr de dinți și număr de colții ; ,  
 $\varphi = \omega t$  - unghi de rotire [rad. și °] ;  
t - timp [s] ;  
r - rază [m] ;  
 $\omega$  - viteză unghiulară [rad/s] ;  
 $\lambda = \frac{v_p}{\omega}$  - indice cinematic al grapei rotative;  
n - turătie [rot/min] ;  
 $T = \frac{2\pi}{\omega}$  - perioadă a mișcării de rotație [s] ;  
 $p = \frac{x}{z}$  - pas (avans pe colț) [m/colt] ;  
 $a = -$  acceleratie [ $m/s^2$ ] ;  
s - spațiu [m] ;  
 $\Gamma = \frac{s_j}{s_1}$  - grad de prelucrare a solului;  
R - forță de rezistență la înaintare; [N] ;  
k - rezistență specifică [N/m și N/colt] ;  
b - lățime de lucru a colțului de grăpă [m] ;  
m - masă [kg] ;  
 $\rho$  - masă volumetrică (densitate) [ $kg/m^3$ ] ;  
S - număr de rotoare al grapei cu colții;  
B - lățime de lucru a maginii [m] ;  
 $\delta$  - patinare [%] ;  
F - forță [N și kgf] ;  
P - putere [kW și CP] ;  
M - moment [Nm] ;  
 $r_m$  - rezistență specifică la înaintare [ $N/m$ ] ;  
 $G_{hm}$  - consum mediu orar de combustibil [ $kg/h$ ] ;  
 $w_i$  - productivitate [ha/h și ha/schimb] ;  
 $Q_m$  - consum mediu de combustibil, la hectar [ $kg/ha$ ] ;  
 $f$  - densitatea combustibilului [ $g/cm^3$ ] ;  
 $\eta$  - randament ;  
 $A_m$  - adâncime medie de lucru [m] ;  
 $G_{ms}$  - grad de mărunțire a solului la suprafață [%] ;

- $U_{sp}$  - grad de măruntire a solului în profunzime [%] ;  
 $U_{ne}$  - grad de afinare a solului [%] ;  
 $U_{nt}$  - grad de nivelare a terenului [%] ;  
 $T_1$  - tempi (cronometraji sau calculați) [min] ;  
 $K_1$  - coeficienți de folosire a timpilor  $T_1$ .

## INTRODUCERE

Partidul și statul nostru acordă o atenție deosebită agriculturii, căreia, în accelerarea dezvoltării economico-sociale a țării, îi revine un rol tot mai important. Într-adevăr, ea este aceea ramură de bază a economiei care, din punct de vedere al creării venitului național, ocupă al doilea loc după industrie. Pe lîngă faptul că asigură hrana întregii populații și o parte însemnată din material primă necesară industriei, agricultura contribuie substanțial la intensificarea comerțului exterior, reprezentînd o însemnată sursă de devize pentru economia națională. În plus față de cele arătate, agricultura constituie și un mare rezervor de forță de muncă pentru dezvoltarea ramurilor neagricole, înainte de toate a industriei. Sub acest aspect, populația ocupată în agricultură va trebui să se reducă de la circa 35%, cît reprezintă la ora actuală, la 27-28% la sfîrșitul cincinalului revoluției tehnico-științifice și respectiv, la numai 12-15% la finele deceniului următor. Baza obiectivă a acestui proces de scădere continuă a populației ocupate în agricultură o constituie creșterea gradului de mecanizare și chimizare, concomitent cu expansiunea industriei, a transporturilor, a telecomunicațiilor, a comerțului etc.

„Numai dezvoltarea armonioasă a industriei cît și a agriculturii - subliniază Secretarul General al Partidului, tovarășul Nicolae Ceaușescu - poate asigura înfăptuirea cu succes a obiectivului fundamental - făurirea societății sociale multilateral dezvoltate în țara noastră, apropierea României, în scurt timp, de țările cu economie avansată, creșterea nivelului de trai, material și spiritual, al întregului nostru popor”. [2,55].

Calea principală a sporirii producției în agricultură o constituie dezvoltarea intensivă a ei, creșterea producției medii la hectar, iar accelerarea procesului de intensificare se bazează pe sporirea simțitoare a investițiilor, în vederea dezvoltării și modernizării bazei sale tehnico-materiale. Astfel, după cum este cunoscut, în actualul cincinal, investițiile din fondul statului se vor ridica la 116,4 miliarde lei, la care se vor adăuga circa 20 miliarde lei investite de cooperativele agricole de producție, din fonduri proprii. Prin sporirea inves-

tehnologilor se asigură dezvoltarea și modernizarea bazei tehnico-materiale a agriculturii, extinderea și aplicarea cuceririlor țărănești și tehnicii moderne, ridicarea gradului de folosire a fondului funciar, mecanizarea complexă a lucrărilor, chimizarea, extinderea tehnologilor cu flux industrial.

Un rol de o deosebită importanță revine, așa cum se vede, mecanizării. Astfel, eforturile însemnate de investiții sunt orientate spre înzestrarea agriculturii cu tehnică înaintată, spre dezvoltarea parcului de tractoare și mașini agricole, în vederea mecanizării complexe a lucrărilor agricole. În acest cîmp se accelerează ritmul mecanizării lucrărilor agricole. Prin urmăritul prevederilor planului, agricultura va dispune în 1980 de încă 130.000 tractoare de tipuri diferite și de putere unitară de 100 CP, urmînd să crească ponderea tractoarelor pe genile și de roți de 132,5 kW (180 CP). Totodată, se va asigura întregul set de mașini într-o gamă diversificată și cu un grad înalt de universalitate. Pe această bază, se reduce suprafața arabilă ce evine pe un tractor fizic la 76 ha, micșorîndu-se în acest mod ecalajul care desparte România de țările în care agricultura este mai bine dotată cu mijloace tehnice avansate. Prin înzestrarea cu tractoare și mașini, prin asigurarea mecanizării complexe a lucrărilor agricole se realizează pagini importante în aurirea unei agriculturi intensive, moderne, de mare randament și înaltă productivitate, capabilă să realizeze și chiar să devină producțiiile planificate, ceea ce se traduce prin creșteri importante de producții față de cele obținute în anii cîmpului 1971 - 1975, așa după cum se vede din cifrele absolute prezентate în tabelele 1 și 2. [55]

Tabel 1 - Producția principalelor produse agricole

Produsul	U.M.	1971-1975	1976-1980
Cereale boabe	mii tone	14814	20000 - 22360
Floarea soarelui	"	761	1000 - 1133
Sfeclă de zahăr	"	4758	8600 - 9354
Cartofi de toamnă	"	2925	4600 - 4860
Legume de camp	"	2554	4200 - 4316
Fructe și struguri	"	2285	3800 - 3960
Carne - total	"	1857	2500 - 2680
Lapte vacă	mii hl	38653	58000 - 62200
Duș	mil.buc.	4201	6000 - 6500
Lină	mii tone	30,6	42 - 46,6

Tabel 2 - Evoluția producției medii la hektar la principalele culturi

Produsul	U.M.	Media 1971 - 1975	Media 1976 - 1980
Grâu și secară	kg/ha	2210	3000 - 3150
Porumb	"	2680	3500 - 3800
Floarea soarelui	"	1450	2000 - 2140
Sfeclă de zahăr	"	22140	34000 - 36000
Legume de cîmp	"	16100	19000 - 20000

\*

\* \*

In contextul prevederilor generale trecute în revistă mai înainte, un rol important în sporirea producțiilor la hektar revine măsurilor ce trebuie luate în scopul păstrării structurii solului și al reducerii tasării acestuia, între care, pe lîngă altele este și aceea a reducerii numărului de treceri a agregatelor pe terenul cultivat, reducere care, concomitent cu păstrarea structurii și reducerea tasării, asigură și importante economii de energie, timp și forță de muncă.

Incadrîndu-se în preocupările generale ale „lucrărilor minime”, teza își propune să înfățeze studiul teoretic, realizarea și experimentarea unei mașini originale pentru pregătirea terenului, după arat, printr-o singură trecere, în vederea semănatului, căutînd să aducă o contribuție în ceea ce privește construcția acestor mașini, din ce în ce mai mult folesite în mecanizarea lucrărilor din agricultură.

\*

\* \*

Teza de doctorat, cuprinzînd un număr de 146 pagini, 79 figuri și 32 tabele, constituie rezultatul unei activități de cercetare ce s-a extins pe parcursul a peste cinci ani, timp în care s-au realizat: documentarea necesară în domeniul abordat, fundamentarea teoretică a problemei în studiu, construirea mașinii și experimentarea ei.

Pe parcursul întregii aceste perioade, autorul s-a bucurat permanent de îndrumarea de înaltă competență, acordată cu toată solicitudinea de către conducătorul său de doctorat, tovarășul prof.dr.doc.ing. Stefan Căproiu de la institutul politehnic „Traian Vuia”- Timișoara, m.c. al Academiei de științe agricole și silvice din R.S. România, căruia îi exprimă, și

pe această cale, întreaga sa recunoaștingă, cele mai respectuoase și calde mulțumiri.

Totodată, autorul mulțumește cordial colegilor săi profesori de lucrări ing. Emilian Baciu și conf. dr. Gheorghe Petrescu de la Institutul de învățămînt superior - Pitești, pentru sugestiile lor, cît și tovarășilor de la S.M.A.- Mărăcineni, Stațiunea de cercetări viticole - Stefanesti și centrele teritoriale de calcul electronic din Craiova și Pitești, care l-au sprijinit.

## PARTEA INTII. STADIUL ACTUAL PRIVIND MECANIZAREA PROCESULUI DE MARUNTIRE A SOLULUI

### Capitolul 1. Consideratii agrotehnice privind măruntirea solului

#### 1.1. Structura și fertilitatea solului. Influența structurii asupra fertilității.

Capacitatea de producție a unui sol este determinată, în cea mai mare parte, de structura lui, care influențează regimul apei și al aerului în sol, accesibilitatea elementelor nutritive, activitatea microorganismelor, creșterea rădăcinilor etc.

La solurile cu structură, fertile, particulele elementare sunt grupate în agregate sau glomerule de diferite mărimi, care pot fi clasificate, potrivit [66], în:

- ultramicroaggregate, mai mici de  $0,25 \mu\text{m}$ ;
- microaggregate între  $0,25 \mu\text{m}$  și  $0,25 \text{ mm}$ ;
- macroaggregate, mai mari de  $0,25 \text{ mm}$ .

Practic, din punct de vedere agricol, au importanță macroaggregatele cuprinse între 1 și 10 mm diametru, la aceste dimensiuni asigurîndu-se aeratia optimă și contactul intim între sol și rădăcinile plantelor.

În sol, între aggregate, există spații libere, de trei categorii:

- capilare - între ultramicroaggregate,
- necapilare - între microaggregate și
- spații foarte mari (intergranulare) - între macroaggregate, cu deosebire cînd solul este afinat.

Raportul dintre spațiile intergranular și necapilar - pe de o parte - și spațiul capilar - pe de altă parte - are un rol foarte important în aprovisionarea solului cu apă și aer. Astfel, prin spațiul mare și foarte mare (necapilar și intergranular), apa din precipitații și irigații pătrunde imediat și continuu spre adîncime. Venind în contact cu microaggregatele, această apă le saturează capilar pînă la mare adîncime, asigurîndu-se astfel o rezervă de apă în sol. Imediat ce procesul de infiltrare a apei începează, aerul pătrunde în spații-

le intergranulare și necapilare, încurajând la exterior macro-aggregatele și microaggregatele. În aceste condiții, aici incep intense procese de descompunere aerodă a materiei organice din sol, eliberindu-se hrană minerală necesară plantelor. Prin acest mecanism, asigurându-se simultan plantele cu apă, aer și substanțe nutritive, se asigură fertilitatea solului. Dacă spațiul necapilar permite pătrunderea în adâncime a rădăcinilor și dezvoltarea lor, spațiul capilar, saturat cu apă, asigură rezerve de umiditate necesare plantelor.

În solurile cu structură, întreaga cantitate de apă se infiltrează, pierzindu-se prin evaporație numai apa din stratul superficial, deci o cantitate mică.

Starea structurală a solului este caracterizată, în general, prin trei insiguri importante:

a) Porozitatea totală, care reprezintă suma tuturor spațiilor libere, de toate mărimele (spațiul lacunar sau volumul total al porilor solului), exprimată în procente din volumul total al solului. Porozitatea stratului arabil poate fi influențată prin lucrări. Astfel, dacă la solurile compacte este necesară afinarea lor, la solurile prea afinate este necesară o îndesare care săregte porozitatea capilară și cea necapilară, pe cea necapilară. Această îndesare, prin care se îmbunătățește raportul dintre porozitatea capilară și cea necapilară, se obține prin tăvălugire. Administrarea îngrășămintelor organice, a unor îngrășăminte minerale și a amendamentelor, influențând favorabil acoperirea structurii, ameliorează implicit și porozitatea solului.

b) Elasticitatea solului este datorată aerului care pătrunde între agregate. Presiunea acestui aer se măregte din cauza degajării continue a dioxidului de carbon, în urma descompunerii aerode a materiei organice de la suprafața agregatelor, descompunere prin care materia organică se consumă. În interiorul microaggregatelor, deci în mediul anerob, se formează humus. Astfel, există permanent un echilibru între acumulare și descompunere, între aerobie și anerobie. Aceste procese au loc într-un sol afinat, cu proporție normală între spațiul capilar și cel necapilar.

c) Coesiunea constă în atracția reciprocă a particulelor de sol, din cauza căreia particulele opun rezistență la acțiunile de fărâmigare, de desfaceare. În interiorul microaggregatelor

coeziunea este mai mare, iar între microaggregate coeziunea este slabă, ceea ce face ca în solurile cu multe microaggregate coeziunea totală să fie mică. Din punct de vedere agrotehnic, coeziunea totală mică este favorabilă, rădăcinile străbătind mai ușor solul, pătrunzând mai adânc, deci în straturi cu rezervă mare de umiditate. De asemenea, solurile având coeziunea totală mică, din cauza rezistenței scăzute pe care o opun înaintării mașinilor agricole, se lucrează mai ușor. Coeziunea depinde de mulți factori, printre care: starea de îndesare, umiditatea solului, conținutul în materie organică etc.

Structura prezintă o importanță deosebită pentru producția agricolă prin aceea că:

- asigură infiltrarea și înmagazinarea apei în sol;
- asigură aerisirea, ceea ce înlesnește încălzirea solului, care, la rîndul ei, creează condiții favorabile vieții plantelor;
- permite pătrunderea adâncă a rădăcinilor;
- ușurează lucrarea solului, prin rezistență mică la tracțiune a mașinilor agricole;
- împiedică formarea crusteii în urma ploilor repezi;
- în final, conduce la obținerea unor producții mari.

Importanța structurii reieșind din cele arătate, se pun probleme păstrării, menținerii ei, ceea ce se traduce prin proprietatea agregatelor de a rezista la desfacerea lor prin acțiunea apei sau prin presiunea mecanică. Se poate deci vorbi de o stabilitate hidrică și de o stabilitate mecanică a agregatelor, ca și de o structură stabilă și de o structură instabilă.

Dintre factorii care conduc la distrugerea structurii solului, se subliniază aici:

- a) executarea lucrării de bază a solului la un grad de umiditate prea mare, fapt care produce compactarea solului datorită presării sale pe cormă și
- b) excesul de lucrări care se efectuează după arătură, factor deosebit de important pentru prezența lucrare.

Menținerea structurii solului este asigurată, în principal, de îngrășăminte, de resturile vegetale, de plante - prin acțiunea de presare a rădăcinilor și prin lucrări adecvate, efectuate în perioada optimă.

### 1.2. Efectele secundare ale lucrărilor de după arătură. Tasarea și modificarea structurii solului.

După arăturile de toamnă sau primăvară urmează o serie de lucrări agricole care au drept scop asigurarea unei structuri corespunzătoare a solului. În funcție de necesități, se execută: lucrări de grăpare, nivelare, tasare etc.

Presupunând un „complet” de lucrări agricole având drept scop asigurarea patului germinativ optim, se observă că sunt necesare mai multe treceri ale tractorului, care poartă diferite ușelte sau magini, peste terenul arat. Rezultatul propus o dată obținut, se constată însă că este însoțit de o tasare pronunțată a solului, la adâncimi variind între 15 și 40 cm [43,63].

Tasarea solului are efect imediat asupra: greutății volumetrice, a numărului porilor umpluți cu aer, a conductivității hidraulice, a rezistenței solului și a distribuției porilor după mărime.

Un mijloc simplu și rapid de apreciere a tasării este acela al măsurării rezistenței solului cu ajutorul unor apărate ieftine și simple – penetrometrele. Într-o formă simplificată, penetrometrul se folosește încă din 1933, cînd este întlnit sub denumirea de „bastonul fermierului” [63]. La ora actuală, cel mai răspîndit penetrometru este cel folosit în încercarea „CONE INDEX”. Constructiv, el constă într-un con cu unghiul la vîrf de  $0,502$  rad ( $30^{\circ}$ ), avind secțiunea transversală maximă de  $3,23\text{ cm}^2$  și care este deplasat în sol cu viteza de  $0,031\text{ m/s}$  ( $1,83\text{ m/min}$ ). Valorile Cone Index variază între 14 și  $70\text{ N/cm}^2$ , dar se face observația că rezultatele obținute depind, în mare măsură, de conținutul de umiditate al solului.

S-ar părea din cele arătate mai înainte că, cu cât numărul trecerilor este mai mare, cu atît tasarea va fi mai pronunțată. Cu toate acestea, s-a observat că [63], dacă presiunea la suprafață este mai mică decît rezistența solului, tasarea nu se produce, solul comportîndu-se – în această situație – ca un material elastic. În cazul în care presiunea depășește rezistență, se produc atît o deplasare cât și o tasare, astfel că, în final, rezistența solului crește, egalind valoarea presiunii aplicate. Concluzia ar fi că, nu este importantă, din punct de vedere al tasării, decît presiunea maximă de comprimare la care este supus solul, deci lucrarea agricolă executată cu magina cea mai

greas.

Pe de altă parte, din simple observații empirice, s-a constatat că, pe lîngă rezistența solului mai există și alte caracteristici ale sale care influențează efectele tasării, ca: distribuția granulometrică, conținutul în substanță organică, conținutul de umiditate etc. Dacă, în mare, conținutul în substanță organică nu se schimbă între două treceri, ceilalți doi factori pot varia destul de mult (acțiuni de măruntire ale maginii care a trecut înainte, ploi repezi), astfel că, efectele trecerilor repetate pe sol cu maginile agricole se cumulează, tasarea totală apărind ca o sumă a tasărilor remanente.

Un ultim argument în favoarea limitării numărului de treceri este și acela, deloc neglijabil, al consumului de timp și combustibil, datorat efectuării separate a lucrărilor de pregătire a patului germinativ.

### 1.3. Tasarea solului -fenomen în discuție. Semnificația tasării pentru producția agricolă

Așa cum s-a arătat la începutul subcapitolului 1,2, tasarea are ca efecte: creșterea greutății volumetrice a solului, scăderea numărului porilor umpluți cu aer, scăderea conductivității hidraulice, creșterea rezistenței solului și redistribuirea porilor după mărime.

Analizând aceste efecte imediate ale tasării se constată că ele, în totalitate, implică o modificare a structurii solului, modificare ce nu este întotdeauna dorită. În general, aceste efecte se pot mult mai ușor amplifica decât diminua. Uneori, datorită unei prelucrări neadecvate, se poate ajunge chiar la distrugerea structurii solului, ceea ce atrage după sine cheltuieli sporite pentru realizarea producției agricole planificate.

Un alt aspect devenit de reținut este acela că, în general, efectul tasării, în sprijă tasarea remanentă nu se observă la suprafața solului [63] ci în adâncime (cca. 20 cm), astfel că grăpatul nu afectează stratul de sol tasat. Acest lucru este foarte normal dacă se are în vedere faptul că stratul de sol de la suprafață, cu un conținut scăzut de umiditate, are o elasticitate pronunțată, pe cind straturile din adâncime, care

prin insăși existența structurii păstrează apă, suferă o tașere accentuată asupra căreia este mult mai greu de intervenit.

In încheiere se face observația că, în regiunile cu sol uscat tasarea este dorită, ea asigurând un contact mai bun între semințe și sol, ceea ce duce la o germinare mai rapidă și mai uniformă.

In general, efectele tasării solului sunt de două categorii:

a) efecte care au influență directă în creșterea și activitatea rădăcinilor plantei și

b) efecte cu influență indirectă, tirzie, sau dependente de condițiile meteorologice (influență asupra producției, variații în bilanțul hidrologic etc.).

Concluziile diferiților cercetători în ceea ce privește influența tasării asupra creșterii rezistenței mecanice totale a solului sunt contradictorii. Astfel [63], dacă Hawkins susține că creșterea densității solului nu împiedică pătrunderea rădăcinilor plantelor, Jamison și alții, referindu-se la solurile din America, susțin că pătrunderea rădăcinilor este limitată datorită creșterii densității ca urmare a tasării. O limitare a lungimii rădăcinilor însă nu determină neapărat o scădere a producției de cereale. Există puține date asupra raportului dintre creșterea rădăcinilor și producția plantelor respective.

Tasarea puternică reduce indicele porilor umpluți cu aer cu peste 90%, iar în caz de exces al precipitațiilor, cu peste 95%. Greenwood arată că această reducere, deși poate produce zone anoxice în sol, nu va limita creșterea plantelor decât în cazul în care solul este aproape complet saturat cu apă. Întrucât această situație este foarte rară pe terenurile agricole, creșterea rădăcinilor și a părților aeriene ale plantelor va fi rareori stinjenită de lipsa oxigenului.

Multitudinea factorilor care influențează producția face ca rareori să se poată stabili un raport cauzal direct între modificările determinate de tasare și recoltă. Există multe dovezi însă care arată că, în urma compactării apar scăderi importante ale producției, chiar la modificări neînsemnante ale masei volumetrice.

Cresterea masei volumetrice are drept consecință scăderea foarte pronunțată a conductivității hidraulice a solului. De pildă, o creștere a acesteia de la 1200 la  $1400 \text{ kg/m}^3$  a condus la scăderea de zece ori a conductivității hidraulice, scădere care duce la o uscare greoaie a terenului în primăvară, ceea ce duce, la rîndu-i, la întîrzierea semănatului, pe de o parte și la o slabă aerație, pe de altă parte.

Un alt efect al tasării constă în creșterea numărului de bulgări foarte rezistenți în urma lucrărilor de mobilizare a solului. Acești bulgări foarte rezistenți, printre altele, reprezintă o problemă în ceea ce privește pregătirea patului germinativ. S-a observat de pildă că lucrarea solului tasat este mai puțin eficace decât a solului netasat; energia necesară pentru lucrarea lui este mai mare, mărunțirea este mai redusă, rezistența și duritatea bulgărilor sunt mai mari. Solul tasat, ca urmare a circulației intense din timpul recoltării, va trebui să fie neapărat arat sau lucrat cu cultivatorul, sub adâncimea de tasare, dacă se urmărește obținerea unui pat germinativ de calitate, ori lucrat superficial, cu cultivatorul, dacă se urmărește numai afinarea necesară pentru un semănat. Pentru a anula deci tasarea este nevoie de lucrări suplimentare de mobilizare a solului. Cultivarea totală pe soluri tasate nu este suficientă pentru a se obține patul germinativ adecvat, din cauza persistenței bulgărilor cu duritate mare.

Inlăturarea tasării sau reducerea ei constituie o problemă a cărei soluție este complexă.

- În primul rînd, ar trebui examinat foarte amănuntit mecanismul de rulare al tractoarelor și al utilajelor folosite la recoltat; s-ar putea extinde folosirea roților duble la tractoare și s-ar impune și examinarea efectului tasării produse de genile, deoarece el nu este neglijabil.

- În al doilea rînd, ar fi necesare informații asupra compactării solurilor și asupra măsurii în care compactarea este influențată de conținutul în substanță organică, de tratamentele sau de lucrările anterioare ale solului și de natura sarcinii de tasare.

- În al treilea rînd, ar fi necesară elaborarea unor masini îmbunătățite de mobilizare a solului, ceea ce ar constitui un progres remarcabil.

- În sfîrșit, în al patrulea rînd, s-ar impune scăderea

circulației atât pe patul germinativ cât și în timpul recoltării, ceea ce se poate obține prin aplicarea „lucrărilor minime”.

Capitolul 2. Realizări actuale în domeniul construcției  
aneltelelor și mașinilor folosite la marunțirea solului.

2.1. Lucrările minime. Combinatoare

„Lucrările minime” (minimum tillage) se referă, în principal, la metode noi aplicate la lucrarea solului și semănat. Ele tind să simplifice tehnologiile clasice, complicate, în vederea reducerii cheltuielilor directe, astfel încât să se poată obține, în final, produse la un preț de cost căt mai mic.

Primele experiențe privind eficiența lucrărilor minime [9] au fost efectuate în S.U.A. în anul 1947, ulterior metode extinzându-se și într-o serie de țări europene, pe măsură ce acestea au dispus de tractoarele puternice necesare execuțării simultane a mai multor lucrări.

Intr-o primă etapă de aplicare a lucrărilor minime, s-a căutat să se efectueze căt mai multe lucrări într-un singur parcurs (cu respectarea cerințelor agrotehnice), astfel încât să se reducă, la minimum tasarea cu consecințele ei. Procedeul a fost aplicat inițial la lucrările de primăvară, cînd pericolul tăzării și al pierderii umidității este mai mare. În etape următoare s-a trecut la alte procedee cunoscute acum, ca:

a) semănatul concomitant cu pregătirea patului germinativ;

b) eliminarea arăturii și semănatul culturii în mirigii sau perumbigii lucrete superficial, folosindu-se erbicide;

c) semănatul direct în teren pe care s-au lucrat superficial numai benzi înguste, între rîndurile de plante terenul rămînind nelucrat, de asemenea folosindu-se erbicide;

d) semănatul direct pe urmele roților tractorului și altele.

„Lucrările minime”, negeneralizate încă, pun în față constructorilor de mașini problema creării unor aggregate complexe corespunzătoare și a unor tractoare capabile să le acționeze.

La ora actuală, datorită fiabilității reduse a agregatelor complexe și manipulării greoaie a lor precum și necesității existenței unor tractoare de puteri foarte mari, capabile să acționeze aceste agregate, accentul se pare că se pune pe realizarea unor combinatoare pentru prelucrarea solului înainte de semănat, într-o singură trecere.

## 2.2. Elemente constitutive ale combinatoarelor pentru măruntirea solului.

Intrucât în alcătuirea celor mai multe combinatoare pentru pregătirea solului intră [9] o serie de mașini și unelte cunoscute, în cele ce urmează, vor fi trecute în revistă, succint, aceste mașini și unelte.

2.2.1. Grapele rigide cu colți (fig.1) sunt alcătuite din cimpuri obisnuite de grăpă rigidă cu colți, cuplate la un cadru de tip purtat, cimpurile fiind legate între ele prin lanțuri, pentru a li se asigura stabilitatea laterală. Colții

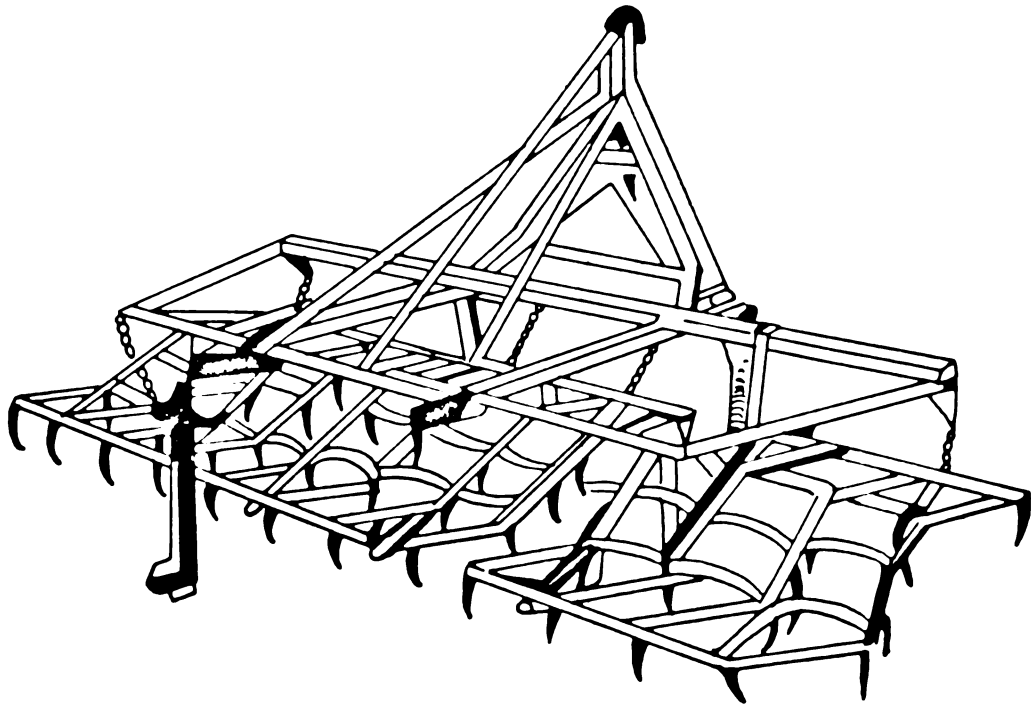


Fig.1 Grăpă rigidă cu cadrul de tip purtat.

folosiți pot fi drepti, cu vîrf curbat, sau cu vîrf curbat și aplatizat, acestia din urmă montați la grape foarte grele, cunoscute sub denumirea de grape cu lingurițe.

34/190

2.2.2. Cultivatoarele pentru cultivare totală (fig.2) sunt prevăzute cu cujișe săgeată, fixate pe suporti semirigizi,

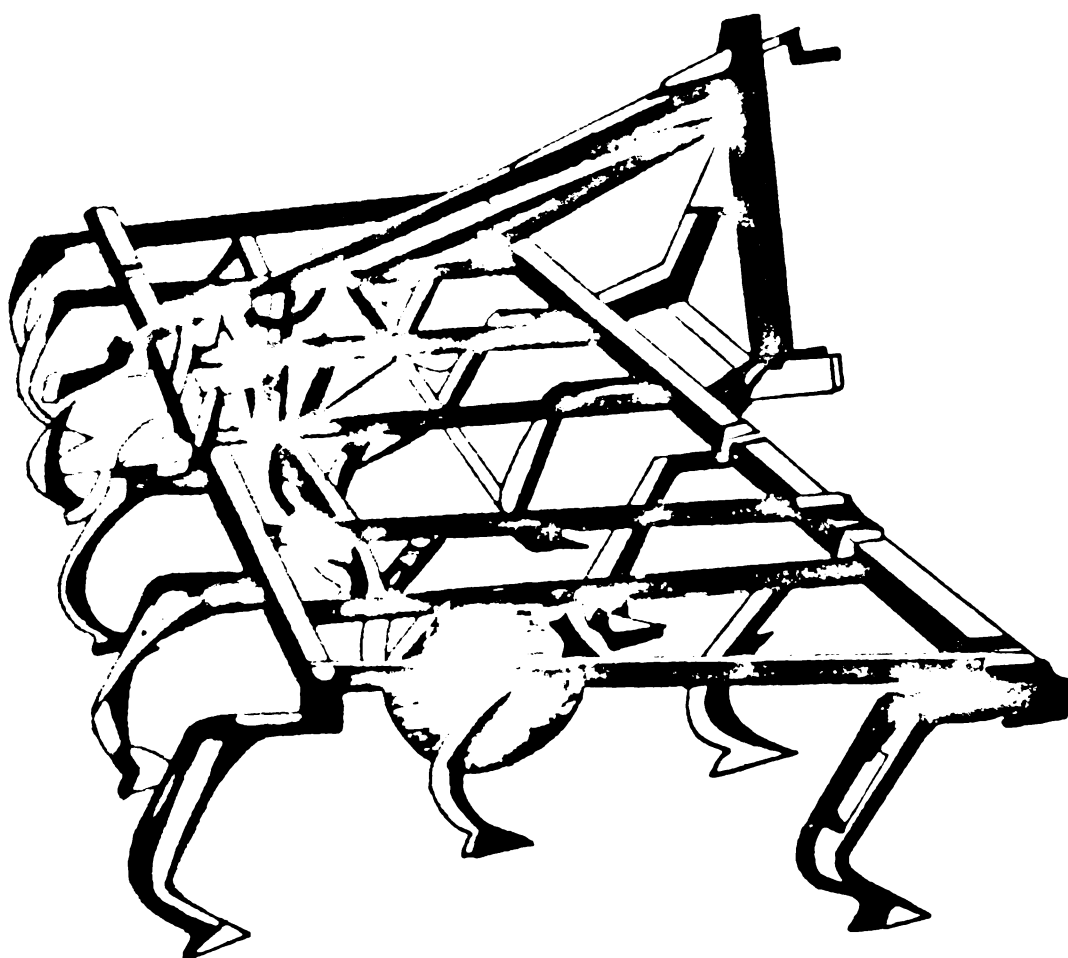


Fig.2 Cultivator pentru cultivare totală

prevăzuți la partea lor superioară fie cu lame flexibile (fig. 3.1), fie cu lame flexibile și arcuri elicoidale (fig.3.2). Datorită acestei construcții, suportii pot arcui, la o forță de circa 500 N, pînă la 50 mm.

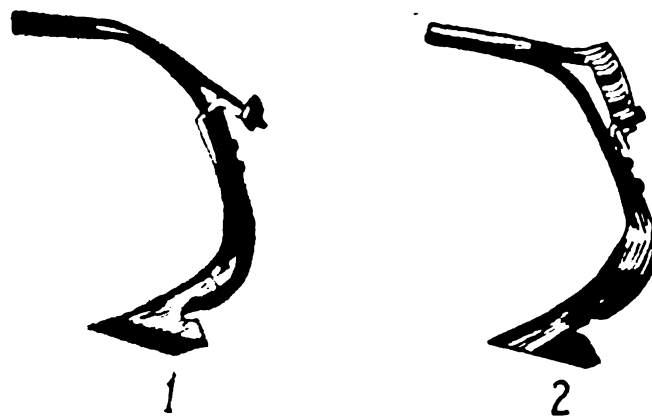


Fig.3. Tipuri de suporti semirigizi  
pentru cuțitele de cultivator.

2.2.3. Grapale cu discuri (baterii de discuri) pot face și ele parte din compoziția combinațoarelor, mai ales a aceleia care execută pregătirea patului germinativ într-un sol greu,

bolevănos. Un combinator în a cărui alcătuire intră discurile sferice [42] este prezentat în fig.4, în care se văd: cadrul 1, două baterii de discuri 2, cujitele extirpatoare 3 cu lăjime mare de lucru și grupurile de discuri exterioare 4 și 5.

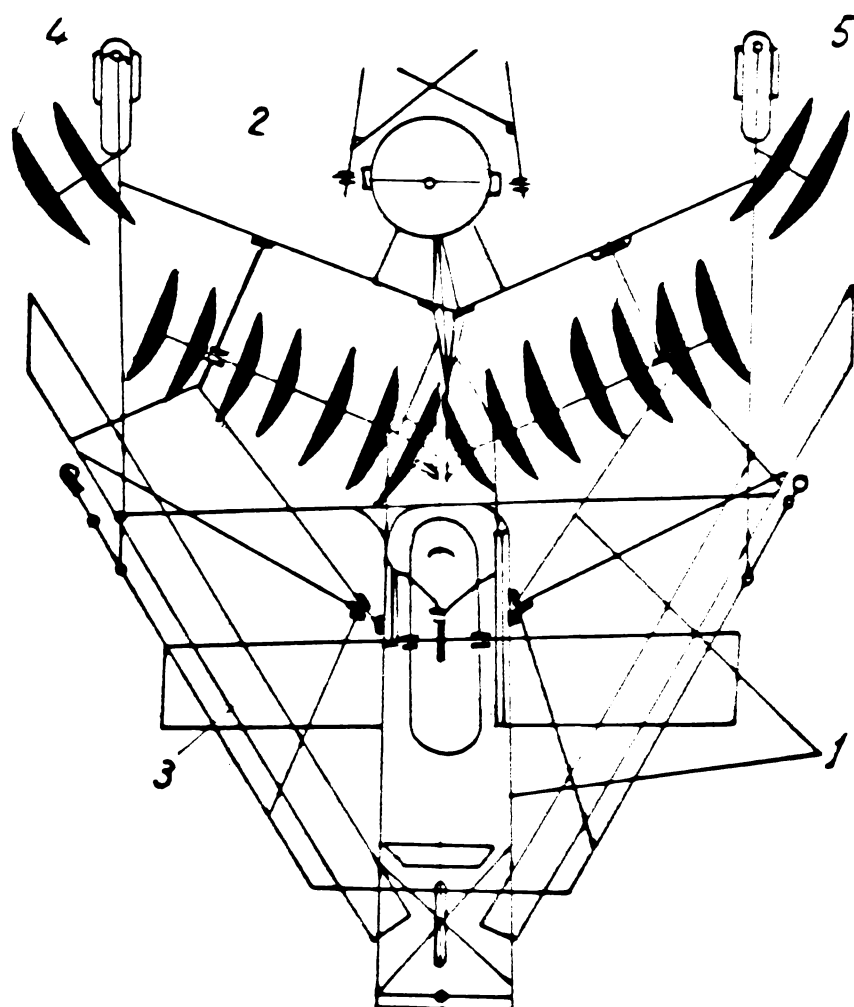


Fig.4. Combinator cu discuri sferice și cujite extirpatoare de lăjime mare.

Organele de lucru ale acestor grăpe sunt discurile sferice, a căror teorie și construcție sunt bine cunoscute din literatura de specialitate și asupra cărora, deci, nu se insistă.

2.2.4. Vibrocultoarele (fig.5) sunt utilizate pentru afinarea solului la adâncimi de 10 - 12 cm și pentru distrugerea buruienilor mici. Suportii organelor de lucru, confecționați din oțel elastic, având formă de S, pot purta mai multe tipuri de cujite (fig.6): cujite reversibile tip gheară, cu lăjimea de lucru de 30 - 35 mm, pentru afinarea solului neimburuienat (fig.6.1), cujite labă de giscă, cu lăjimea de lucru de 70 mm, folosite pentru afinarea terenului ușor imburuienat (fig.6.2), cujite înguste cu lăjimea de lucru de 10 mm, pentru afinarea

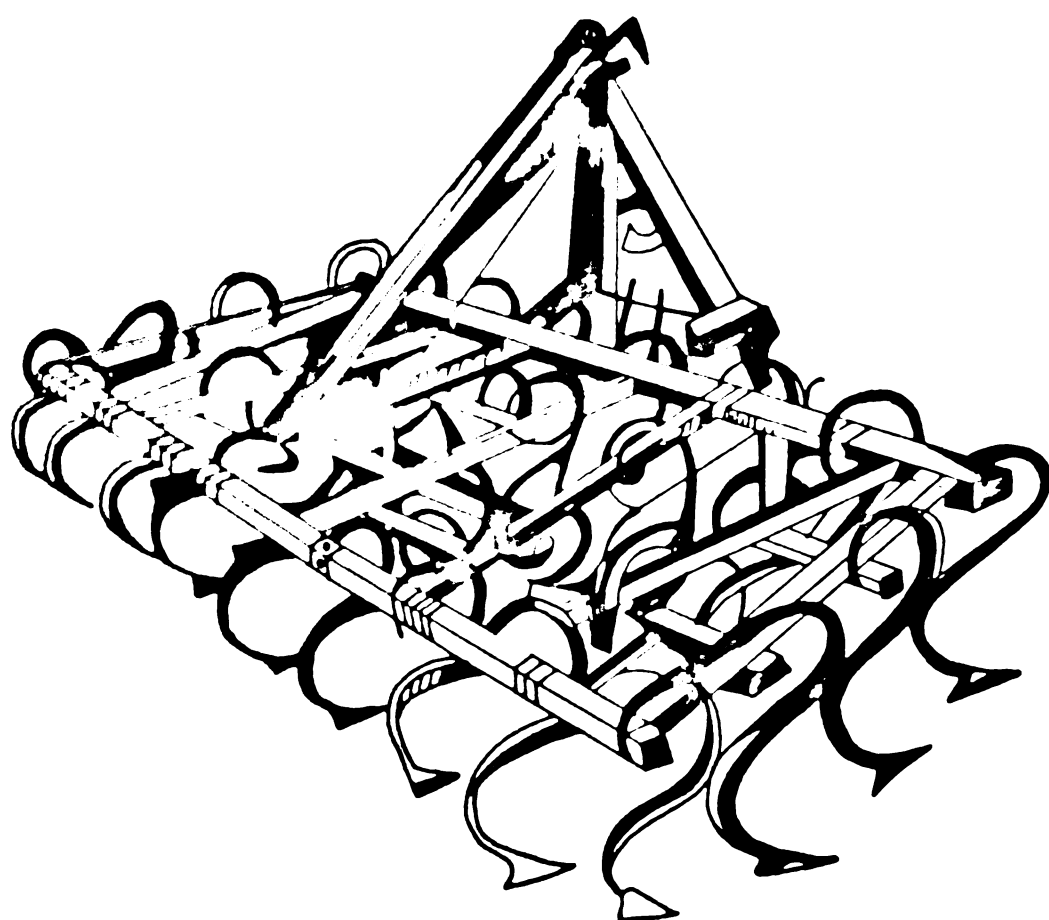


Fig.5 Vibrocultor

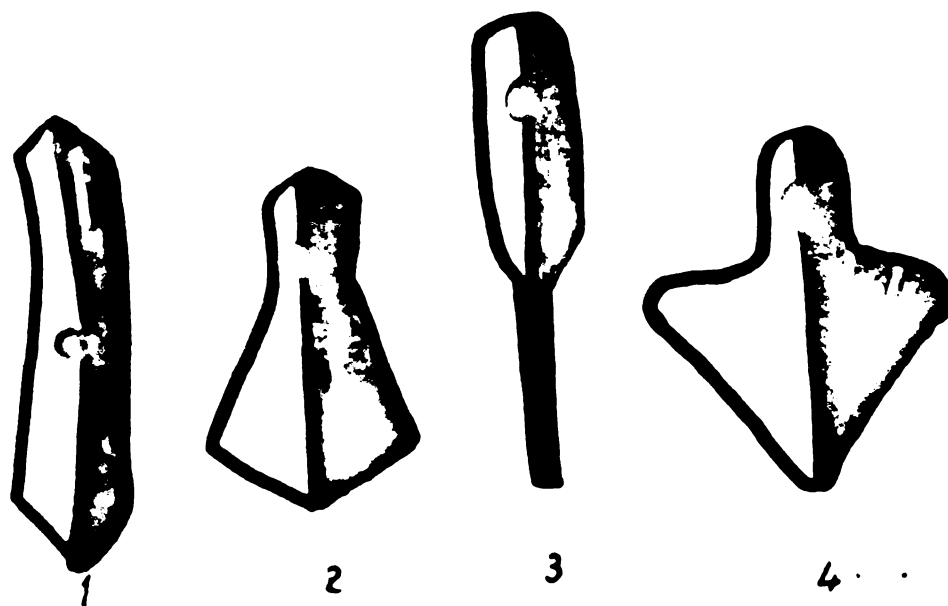


Fig.6 Tipuri de cușite folosite în echiparea vibrocultoarelor.

solului pe paguni (fig.6.3) și cușite săgeată cu lățimea de 80 - 100 mm, folosite la pregătirea terenurilor imburuienăte (fig. 6.4). La o forță de circa 600 N, suportii cușitelor vibroculto-rului, permăsind o arcuire de 120 - 150 mm, vibrează în timpul

lucrului, rezistența la tracțiune fiind considerabil mai mică decât în cazul suportilor rigizi. De asemenea, această elasticitate a suportilor permite depășirea ușoară a obstacolelor din sol. Cele mai bune rezultate se obțin în terenurile cu multe resturi vegetale sau cu rizomi, acestia fiind smulși de organele de lucru, apoi lăsați pe loc, prin ridicarea organelor de lucru ale vibrocultorului, springi și lăsați să ardă. Viteza optimă de lucru a vibrocultoarelor este cuprinsă între 1,66 și 2,22 m/s (6-8 km/h). Întrucât în urma vibrocultorului terenul rămâne vălurit, este bine ca în spatele său să fie atașată o grăpă.

Reglarea adâncimii de lucru, atât a vibrocultoarelor cât și a cultivatoarelor pentru cultivare totală amintite, se face de la roțile lor de sprijin. Unele construcții sunt dotate cu dispozitive stabilizatoare cu arc, a căror construcție (fig.7)

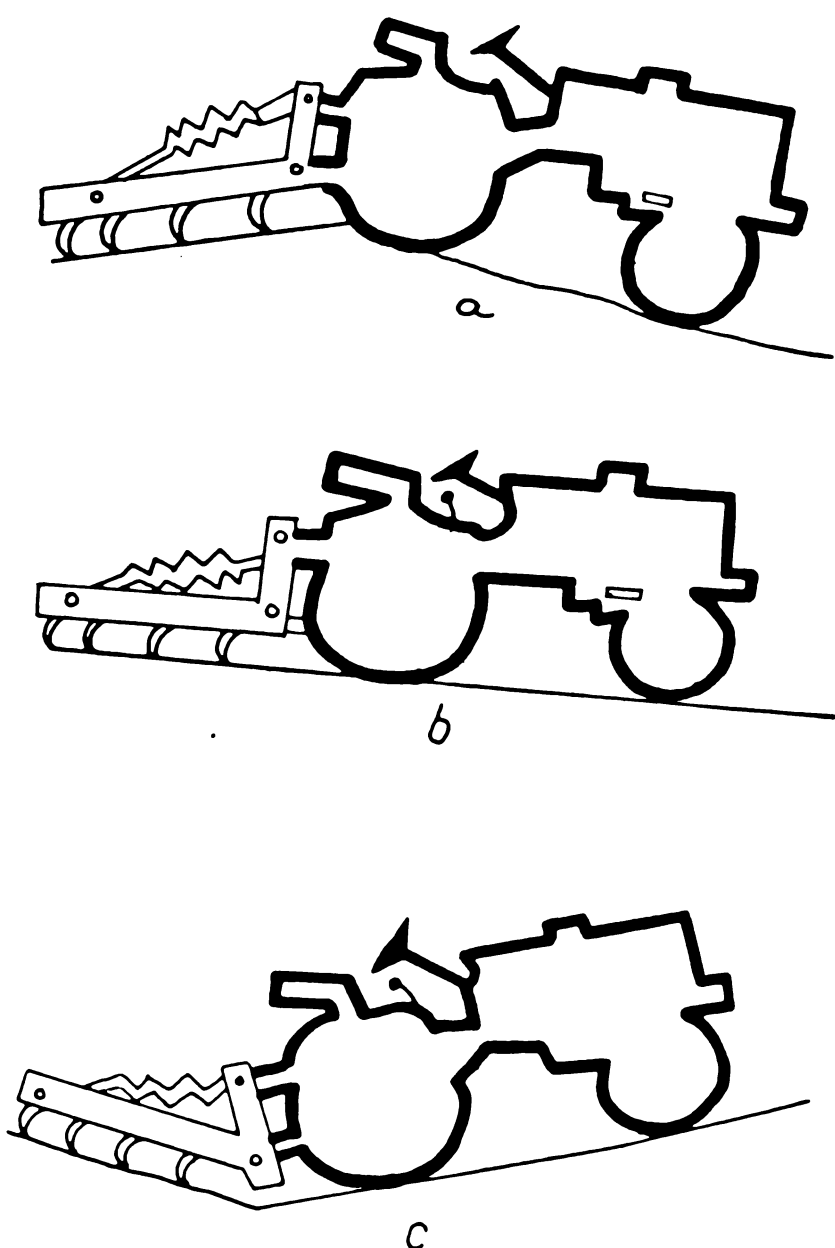


Fig.7 Schema de funcționare a dispozitivului stabilizator cu arc, folosit în scopul adaptării mașinii la micro-relief.

permite cadrului maginii să se adapteze microreliefului, fapt ce conduce la înlăturarea gresurilor.

??.5. Grapile rulante sunt tipuri mai noi de grape, la care efectul de afinare a solului nu se mai realizează prin tărirea organelor de lucru prin sol, ci prin rostogolirea lor pe sol. Cimpurile grapelor rulante cele mai utilizate sunt formate din cîte un arbore cu 4 - 5 stele din oțel lat, pe colții cărora sunt montate firme sau gine de oțel, netede sau zimțate, dispuse eliceidal (fig.8). În timpul lucrului, prin rostogolire,

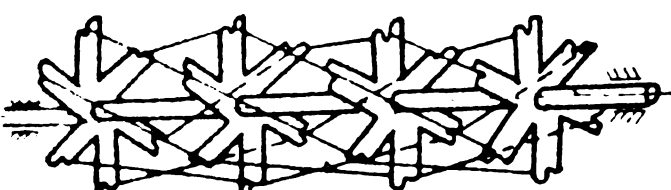


Fig. 8 Tip de grăpă rulantă cu firme

firmele sau ginele lovesc bulgărili, și mărunțesc, nivelează și tasează ușor solul. În general, aceste grape lucrează bine la viteze cuprinse între 1,66 și 2,5 m/s (6 - 9 km/h).

Alt tip de grăpă rulantă are drept organ de lucru o spirală metalică dispusă eliceidal pe un tambur cilindric format din mai multe gine sau vergele, așa cum este și grăpa rulantă a combinatorului prezentat în această lucrare.

In construcția multor combinatoare moderne (Accord, Rau-Kombi etc.) grapele rulante amintite, de un tip sau altul, au rolul de a realiza o serie de funcțiuni, cele mai importante fiind acelea de mărunțire a bulgărilor de sol, de netezire și tasare superficială. Cercetări efectuate în R.F.G. [65] au demonstrat că:

- încărcarea grăpei și viteza de lucru au influență diferențială asupra afinării solului, în funcție de tipul grăpei rulante. Astfel în grăpa eliceidală cu firme (fig.8), mărirea vitezei de lucru nu conduce neapărat la o afinare mai bună, aceasta obținându-se mai degrabă printr-o încărcare suplimentară a grăpei;

- grapele rulante, de toate tipurile, asigură o bună sedimentare mecanică a solului în care se va semăna, ceea ce va asigura alimentarea bună cu apă a germanilor semințelor;

- grapele rulante, de orice tip ar fi, înlătură gresurile rame trecești și în urmă lucru anterioare și combina-

2.2.6. Grapele cu colții dispusi pe bare oscilante (grapele sinus) prezintă față de alte tipuri de grape avantajul că, pe lîngă mișcarea de translație pe care o realizează împreună cu întregul agregat, colții au și o mișcare oscilatorie, realizată prin acționarea barelor pe care sunt montați, de la priza de putere a tractorului. În principiu, o grăpă cu colții dispusi pe bare oscilante (fig.9) este realizată dintr-un cadru, pe care, prin barele  $P'D$  și  $P'D'$ , sunt montate barele cu colții 1 și 3, iar prin barele  $RF$  și  $R'F'$ , barele cu colții 2 și 4.

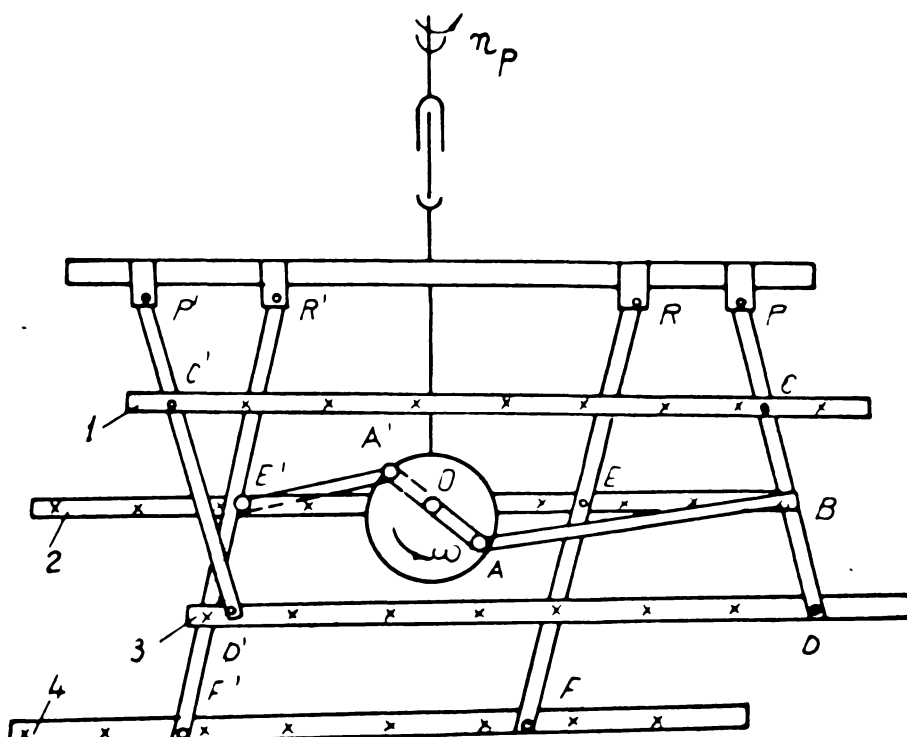


Fig. 9 Schema grăpei cu colții dispusi pe bare oscilante acționate de la priza de putere.

Manivelele OA și OA', opuse diametral, imprimă celor două mecanisme patrulaterale PP'DD' și RR'FF' cîte o mișcare oscilatorie, defazată una față de cealaltă cu  $\pi$ .

Dispunerea barelor 1,2,3 și 4 la distanțe diferite față de punctele de oscilare P și P' și respectiv R și R' face ca amplitudinile colților de pe cele patru bare să fie diferite [69].

Traекторiile descrise de colții, în general, rezultă din compunerea mișcării lor oscilatorii cu mișcarea de translație a mișinii.

Raza de manivelă OA (fig.10) fiind mică în comparație cu

lungimea bielei AB, iar mecanismul OAB avind dezaxarea nulă (punctele O, B<sub>0</sub> și B<sub>0</sub>' sunt în același plan vertical transversal), se poate considera că traекторia punctului B (de articulară a bielei cu bara PB) este coarda B<sub>0</sub>'B<sub>0</sub> aflată pe axa Oy a sistemului de coordinate xOy.

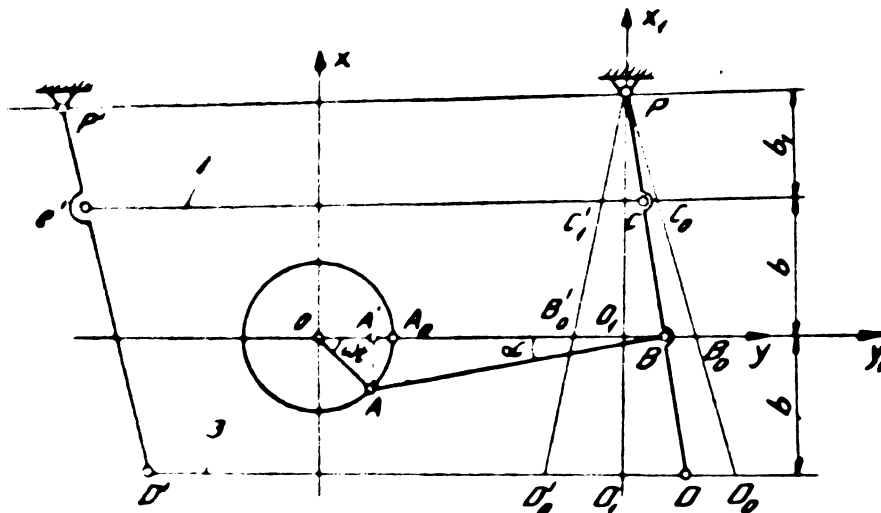


Fig.10 Schema de funcționare

Legea de mișcare a punctului B pe direcția Oy este:

$$y_B = l \cdot \cos \alpha + r \cdot \cos \omega t, \quad (1)$$

unde:

$l$  - lungimea bielei AB;

$r$  - raza manivelei OA;

$\omega$  - viteza unghiulară a manivelei.

Relația de legătură între unghiiurile  $\alpha$  și  $\omega t$  este:

$$r \cdot \sin \omega t = l \cdot \sin \alpha, \quad (2)$$

de unde:

$$\cos \alpha = \sqrt{1 - \frac{r^2}{l^2} \sin^2 \omega t}. \quad (3)$$

Din acestea rezultă:

$$y_B = l \sqrt{1 - \frac{r^2}{l^2} \sin^2 \omega t} + r \cos \omega t. \quad (4)$$

Desvoltând în serie primul termen din membrul al doilea

al ecuației (4) se obține expresia generală a legii de mișcare a punctului B față de sistemul de axe xOy:

$$y_B = 1 - \frac{1}{2} \frac{r^2}{\ell} \sin^2 \omega t - \frac{1}{8} \frac{r^4}{\ell^3} \sin^4 \omega t + \dots + r \cos \omega t. \quad (5)$$

Ecuația mișcării aceluiasi punct B față de sistemul de axe  $x_1 O_1 y_1$  ( $x_1 = 0$ ;  $y_1 = 0$ ) este:

$$y_{1B} = - \frac{r^2}{2\ell} \sin^2 \omega t - \frac{r^4}{8\ell^3} \sin^4 \omega t + \dots + r \cos \omega t, \quad (6)$$

relație din care rezultă că punctul B are o mișcare de oscilație nearmonică în jurul punctului  $O_1$ .

Deoarece raportul  $\frac{r}{\ell} \ll 1$ , se poate considera, destul de precis, că punctul B execută în jurul lui  $O_1$  o oscilație armonică identică cu cea a punctului  $A'$  în jurul lui  $O$ . În această accepțiune, primii termeni ai ecuației (6) putind fi neglijati:

$$y_{1B} \approx r \cos \omega t, \quad (7)$$

putîndu-se deci socoti că punctul B are o mișcare armonică de amplitudine egală cu raza de manivelă  $r$  și perioadă  $\frac{2\pi}{\omega}$ .

Punctele C și D, de pe barele 1 și respectiv 3, vor avea mișcările date de ecuațiile:

$$y_{1C} = \frac{b_1}{b_1 + b} r \cos \omega t \quad (8)$$

și

$$y_{1D} = \frac{b_1 + 2b}{b_1 + b} r \cos \omega t. \quad (9)$$

Se observă că mișcările oricărui punct de pe barele 1 și 3 au aceeași perioadă de oscilație  $(\frac{2\pi}{\omega})$ , dar amplitudini diferite, depinzînd de valoarea lui  $r$  și de distanțele CP și DP.

Legea de mișcare a punctului E' de pe bara 2 (fig.11) față de sistemul de axe xOy este:

$$y_{E'} = - \ell_1 \cos \alpha_1 - r \cos \omega t \quad (10)$$

sau, în final:

$$y_{E'} = -l_1 \sqrt{1 - \frac{r^2}{l_1^2} \sin^2 \omega t} - r \cos \omega t \quad (11)$$

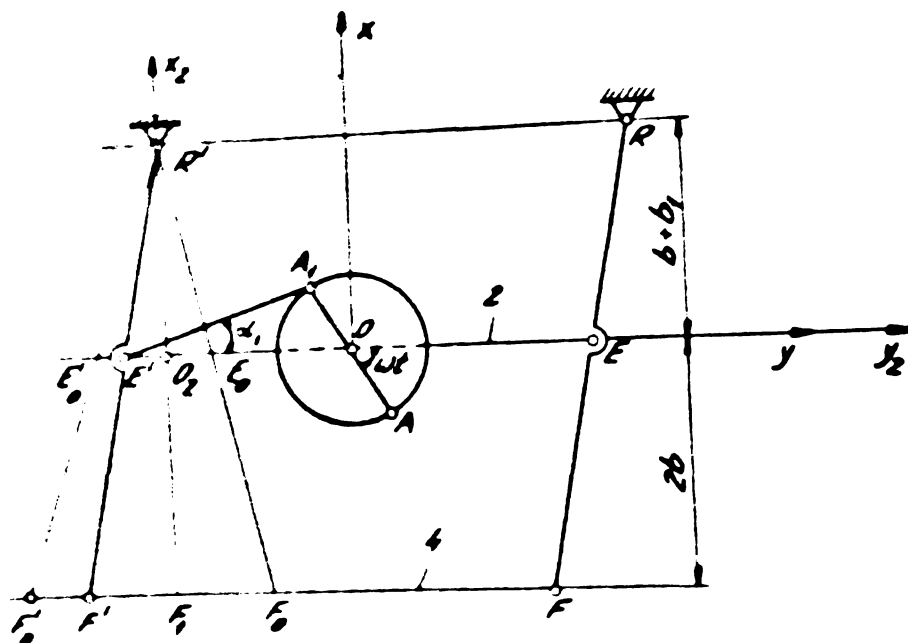


Fig. 11 Schema de funcționare

Translatindu-se sistemul de axe de coordonate în punctul  $O_2$  ( $x_2 = 0$ ;  $y_2 = -l_1$ ) și dezvoltând în serie primul termen al celui de-al doilea membru al ecuației (11) se obține expresia reală a mișcării punctelor  $E$  de pe bara 2:

$$y_{2E'} = \frac{1}{2} \frac{r^2}{l_1} \sin^2 \omega t + \frac{1}{8} \frac{r^4}{l_1^3} \sin^4 \omega t + \dots - r \cos \omega t, \quad (12)$$

unde:

$$l_1 = A_1 E' - \text{lunghimea bielei de acționare a barelor 2 și 4.}$$

Considerind, și în acest caz, că  $\frac{r}{l_1} \ll 1$ , punctul  $E'$  are o mișcare oscilatorie armonică, a cărei ecuație este:

$$y_{2E'} \approx -r \cos \omega t \quad (13)$$

Ecuația de mișcare a punctului  $F'$  de pe bara 4, în aceeași ipoteză  $\left(\frac{r}{l_1} \ll 1\right)$  va avea forma:

$$y_{2F} = - \frac{b_1 + 3b}{b_1 + b} r \cos \omega t \quad (14)$$

Ecuatiile de miscare a punctelor de pe barele 2 si 4 reprezinta deci oscilatii armonice in aceeasi perioada  $\left(\frac{2\pi}{\omega}\right)$ , dar avand amplitudini diferite.

Comparindu-se ecuatiile (5) si (12) se observa ca daca  $\ell = \ell_1$ , miscarile punctelor B si E' ar fi de amplitudini egale si opuse. In mod similar se vede ca oscilatiiile descrise de colții de pe barele 1 si 3 vor fi totdeauna in opozitie cu oscilatiiile descrise de colții de pe barele 2 si 4, amplitudinile depinzind de r,  $\ell$  si distantele pînă la punctul de articulare cu cadrul grapei.

Legea de miscare a colților, in conditia de lucru, deci cînd agregatul se deplaseaza cu viteza  $v_m = \text{const.}$ , rezulta prin compunerea celor două miscari: de translație, pe directia de lucru Ox si de oscilatie armonica, pe directia Oy. Astfel, ecuatiile parametrice ale punctului B sau E' sunt:

$$\left. \begin{array}{l} x = v_m t \\ y = r \cos \omega t \end{array} \right\} \quad (15)$$

sau, eliminind timpul t;

$$y = r \cos \frac{\omega}{v_m} x, \quad (16)$$

ceea ce reprezinta ecuatiunea unei cosinusoide in coordinate x si y. Ecuatiile curbelor descrise de colții grapei, deci, sunt:

$$y_1 = \frac{b_1}{b_1 + b} r \cos \frac{\omega}{v_m} x; \quad (17)$$

$$y_2 = - r \cos \frac{\omega}{v_m} x; \quad (18)$$

$$y_3 = \frac{b_1 + 2b}{b_1 + b} r \cos \frac{\omega}{v_m} x; \quad (19)$$

$$y_4 = \frac{b_1 + 3b}{b_1 + b} r \cos \frac{\omega}{v_m} x, \quad (20)$$

ecuații în care indicii 1, 2, 3 și 4 ai lui y se referă la barele pe care sunt montați colții și din care se vede că perioada mișcării este aceeași pentru toți colții, iar amplitudinile mișcării sunt crescătoare, fiind proporționale cu distanțele la care se găsesc barele cu colții față de punctele de articulare la cadrul. De asemenea, se vede că mișcările colților de pe barele 1 și 3 sunt opuse ca sens față de cele ale colților de pe barele 2 și 4.

Datorită decalării barelor cu colții, pe direcția Ox cu distanța b, traiectoriile descrise de colții sunt defazate una față de alta cu această distanță.

Funcție de modul în care se realizează suprapunerea traiectoriilor descrise de colții de pe diferitele bare, se poate asigura uniformitatea prelucrării solului, mai cu seamă gradul său de mărunțire.

In fig.12 este infășitată reprezentarea grafică a traiectoriilor colților, pentru:  $c = 200$  mm (distanța dintre colții pe bară),  $r = 50$  mm,  $\ell_1 = 200$  mm,  $b = 250$  mm și  $\frac{2\pi v_m}{\omega} = 160$  mm.

Elongația mișcării oscilatorii a colților se repetă ca mărime și sens.

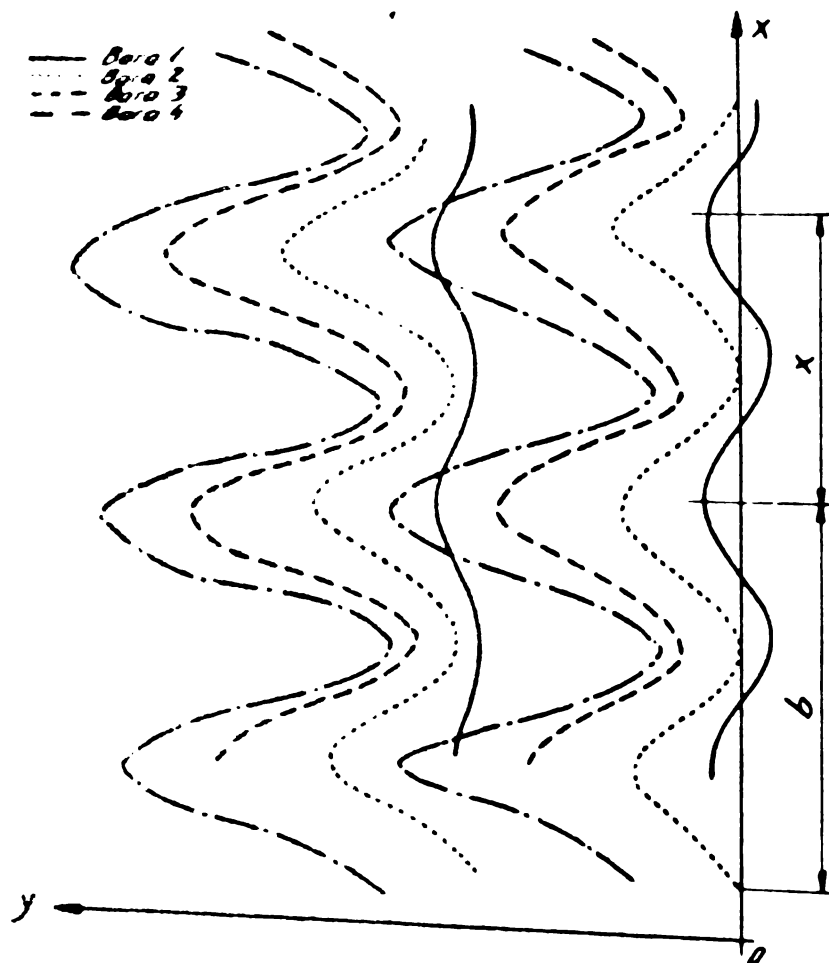


Fig.12 Spectrele traiectoriilor colților

Avansul maginii în timpul unei rotații a manivelei (perioada) este:

$$x = \frac{2\pi}{\omega} v_m . \quad (21)$$

Perioadele  $X$  fiind aceleasi pentru toate barele cu colții, există o strânsă legătură între poziția reciprocă a traectoriilor colților, viteza de lucru a agregatului  $v_m$ , viteză unghiulară a manivelei  $\omega$  și distanța  $b$  dintre bare.

Dacă distanța  $b$  este egală cu un număr întreg impar de semiperioade, adică dacă:

$$b = (2k + 1) \frac{X}{2} , \quad (22)$$

traectoriile descrise de colții de pe diferite bare vor avea tendința de suprapunere simetrică; adică vor descrie curbe care nu se intersectează.

Dacă  $b$  este un număr par de semiperioade, adică dacă:

$$b = 2k \frac{X}{2} , \quad (23)$$

traectoriile colților de pe diferitele bare se vor intersecta între ele, maximele curbelor găsindu-se tot pe aceeași linie, dar având sensuri, două cîte două, opuse. În fig.13 este diagrama traectoriilor descrise de colții pentru cazul  $b = 4 \frac{X}{2} = 250$  mm,  $X = 125$  mm, ceilalți parametri având aceleași valori ca în cazul din fig.12. Se observă că, în acest al doilea caz, traectoriile colților se intersectează reciproc între ele, maximele găsindu-se pe aceeași dreaptă (paralelă cu Oy), punctele de intersecție ale traectoriilor fiind simetrice față de această dreaptă. Acest caz ( $b = kX$ ) este cel mai favorabil, deoarece asigură o mărunțire mai intensă a solului.

Gradul de intensitate a acțiunii colților asupra solului se poate mări sau micșora prin modificarea distanței  $c$  dintre colții de pe aceeași bară, prin modificarea amplitudinii de oscilație a colților (alegerea razei  $r$  sau a vitezei unghiulare  $\omega$ ) și prin modificarea avansului  $X$  (variația vitezei de lucru  $v_m$ ).

In cazul cînd:

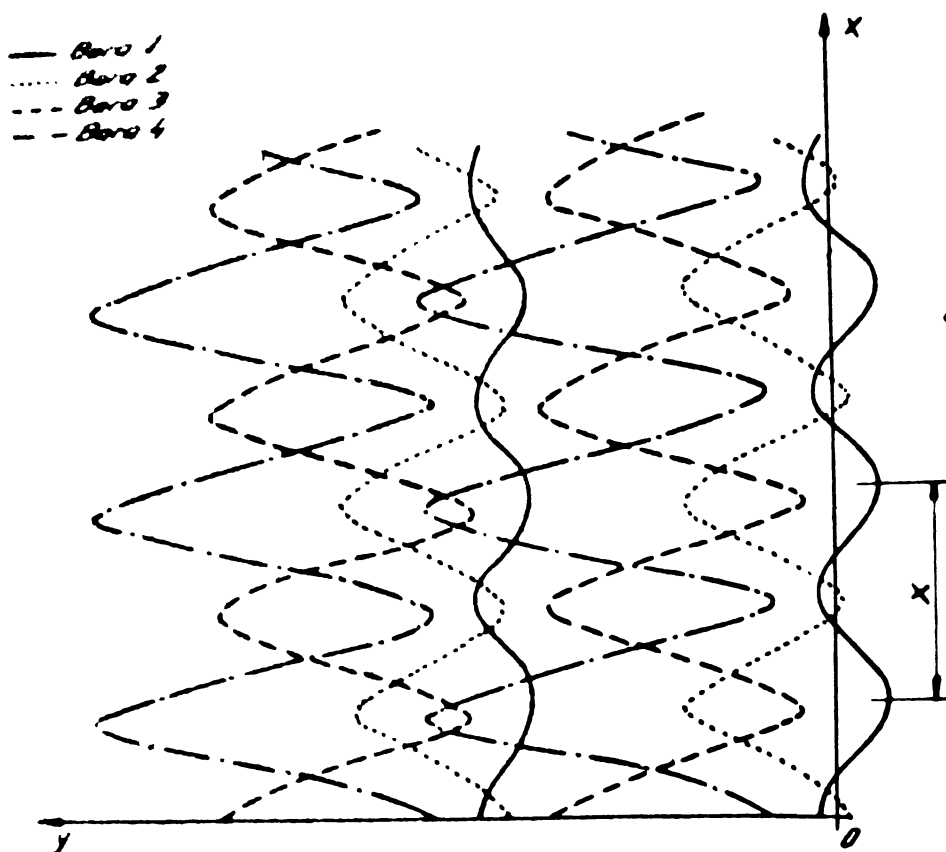


Fig.15 Spectrele traectoriilor colților

$$(2k + 1) \frac{\pi}{2} > b > k\pi , \quad (24)$$

traectoriile descrise de colți se vor intersecta, însă punctele de intersecție nu vor fi simetrice, uniformitatea prelucrării solului situindu-se între cele două cazuri extreme (fig.12 și 13 ).

Pe baza considerentelor de mai înainte, din relațiile (21) și (23) se poate stabili legătura care trebuie să existe între viteza de înaintare a agregatului, turăția mecanismului de acționare a barelor cu colți și distanța dintre bare. Astfel, din aceste relații rezultă:

$$b = 2k \frac{\pi}{\omega} \quad v_m = \frac{60}{n} k v_m \quad (25)$$

sau:

$$v_m = \frac{b \cdot n}{60 k} , \quad (26)$$

unde:

$n$  - turăția manivelei [rot/min] .

Grape cu colți dispuse pe bare oscilante are acțiune

energetică asupra solului, gradul de măruntire putind fi variat prin asigurarea unei corelații optime între parametrii săi constructivi și funcționali.

Dezavantajul acestor grape este însă acela că necesită viteze de lucru mici și lățimi de lucru reduse, de unde rezultă productivitatea lor scăzută. Pentru acest motiv, ele se folosesc numai acolo unde avantajele prelucrării energice primenăză asupra productivității.

La ora actuală există foarte multe mărci și tipuri de astfel de grape [9] : firma olandeză Vicon produce trei tipuri (A 72, A 73, A 74 cu lățimi de lucru de 3; 3 și respectiv 4,3 m și masele corespunzătoare de 580; 540 și 515 kg); firma Stille din R.F.G. produce tipurile RE-250 și RE-300 având lățimea de lucru de 2,5 și respectiv 3 m și masa de 585, respectiv 610 kg. Ele necesită tractoare de 26 și respectiv 33 kW (35 și 50 CP) și lucrează la o adâncime maximă de 25 cm cu o productivitate de 1 - 1,2 ha/h. De asemenea, astfel de grape, cu caracteristici asemănătoare, produc și firmele Diadem (Franța), Bastian (Franța), Dynascar (Franța), Weidner (RFG) etc.

2.2.7. Grapa rotativă cu colți, purtată, acționată de la priza de putere a tractorului (fig.14), construită și expe-

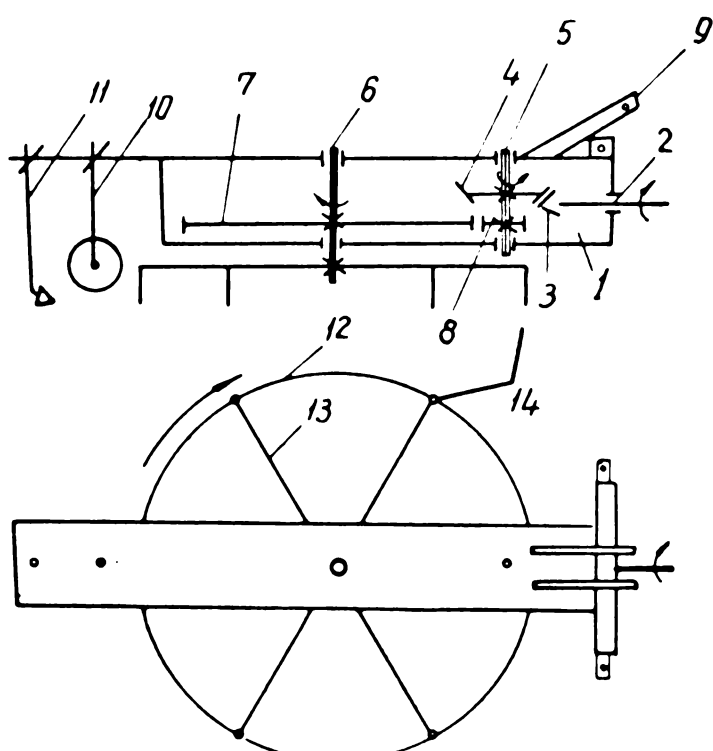


Fig.14 Schema cinematică a grapei rotative cu colți acționată de la priza de putere.

rimentată în 1967 [19] este alcătuită din cadrul transmisiei, 1, arborele conducător 2 care se cuplăză la priza de putere a tractorului, angrenajul de roți dințate conice 3 și 4 (raport de demultiplicare  $i_{34} = 4$ ), arborele vertical intermediar 5, arborele condus 6, angrenajul de roți dințate cilindrice 7 și 8 (raport de demultiplicare  $i_{78} = 7$ ), dispozitivul de suspendare 9, roata de limitare a adâncimii de lucru 10, scormonitorul 11, pentru prelucrarea urmei lăsată de roata de limitare a adâncimii de lucru, cadrul propriuzis al grapei 12, razele de rigidizare 13 și colții 14. Din încercările efectuate în anul 1967, în soluri mijlocii, a reieșit că, la o alegere potrivită a raportului dintre viteza de rotație a colților  $v_p$  și viteza de translație a maginii  $v_m$ , se obțin traectorii ale colților mai eficace, în ceea ce privește mobilizarea solului, decât în cazul grapeilor cu colții montanți pe bare oscilante.

Studiind mai îndeaproape, în partea II-a, principiul de funcționare al acestei grape care, schematic, este alcătuită (fig.15) din arborele 1, razele 2, cadrul 3 și colții 4 se vă vede că, datorită compunerii celor două mișcări, fiecare colț va descrie în sol o curbă diferită, în funcție de pozi-

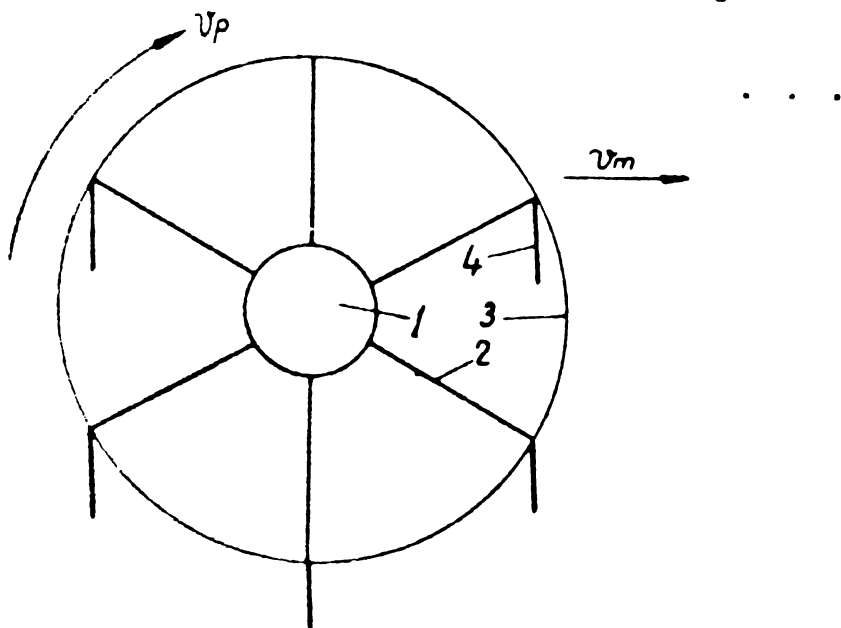


Fig.15 Schema simplificată a grapei rotative cu colții acționată

ția sa față de axul grapei și de raportul dintre cele două viteze  $v_p$  și  $v_m$ .

### 2.3. Combinatoare pentru mărunțirea solului.

Primele construcții de combinatoare realizate [9,67] sunt de tip tractat, având un cadru rigid pe care se montează, unele în spatele altora, două sau trei tipuri de organe de lucru, de construcția celor trecute anterior în revistă sau de construcții diferite.

Din categoria acestor prime tipuri fac parte:

- Combinatorul K-17 (fig.16), construit în R.D.G.

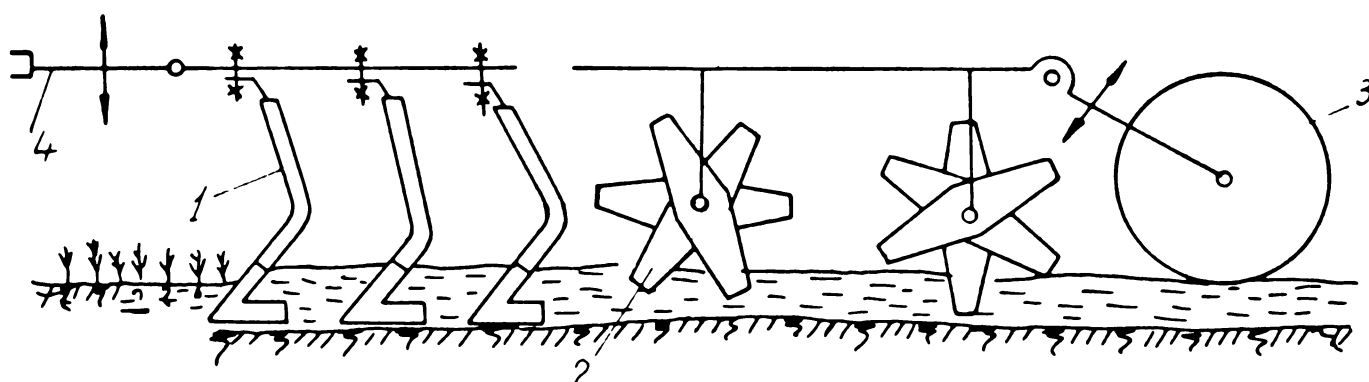


Fig.16 Schema combinatorului K-17 (K-25)

Acesta este alcătuit dintr-un cadru rigid, prevăzut la partea anterioară cu bara de tractiune 4, cadru pe care se montează, în ordinea intervenției în procesul de lucru, cuțitele săgeată cu suportii semirigizi 1 și două baterii de rozete 2, din cîte trei palete de tablă manganoasă. La partea posterioară a combinatorului se află două roți 3 pentru reglarea adâncimii de lucru.

Este un tip de combinator destinat pregătirii patului germinativ pe soluri ugoare și mijlocii. În timpul lucrului, cuțitele săgeată afinează solul și taie rădăcinile buruienilor, iar rozetele care urmează mărunțesc și, într-o oarecare măsură, nivează terenul. La o lățime de lucru de 1,7 m, combinatorul K-17 are o masă de 675 kg, poate lucra pînă la 15 cm adâncime și necesită un tractor cu motor de 22 kW (30 CP).

Se construiește și varianta mai mare K-25, cu lățimea de lucru de 2,5 m, masa de 900 kg și care necesită un tractor de 33 kW (45 CP).

- Combinatoarele Carlo Pesci (fig.17), de construcție italiană, sunt destinate pregătirii patului germinativ în soluri mijlocii și grele. Sunt alcătuite tot dintr-un cadru rigid, pe care sunt montate cuțitele săgeată cu suporti rigizi 1, bateriile de stele 2 și bara nivelatoare 3. Arborii celor trei

baterii și stele sunt angrenați prin roți dințate cilindrice montate în interiorul carcasei 4, ultimele două baterii fiind plasate mai jos, deoarece lucrează într-un sol măruntit deja, în mare măsură, de stelele primei baterii. Ultima baterie are o turărie de 1,25 ori mai mare decât primele două, pentru a intensifica procesul de măruntire. Colții stelelor au secțiuni

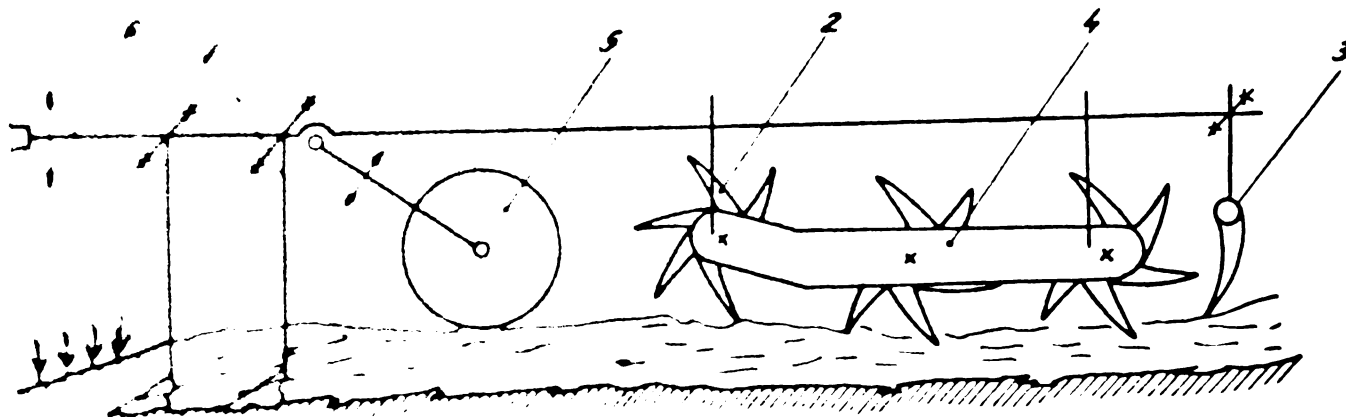


Fig.17 Schema combinatorului Carlo Pesci

nea transversală rombică, iar vîrfurile lor sunt ascuțite și curbată în sensul deplasării. Cadrul combinatorului este prevăzut cu două roți 5, servind pentru reglarea adâncimii de lucru și cu o bară de tracțiune 6. Acțiunea de măruntire și afinare este energetică datorită greutății maginii, formei agresive a colților stelelor cît și faptului că stelele se autoantreneează, ceea ce le intensifică acțiunea de sfărșitare a bulgărilor. Combinatoarele Carlo Pesci sunt construite în mai multe variante, ale căror caracteristici sunt date în tabelul 3.

Tabelul 3. Tipuri de combinatoare Carlo Pesci

Tipul combinatorului Caracteristicile	CFP-8	Imola Benatti	CFP -12	CFP-24	CFP-30
Lățimea de lucru [m]	1,4	1,6	1,7	2,1	2,6
Adâncimea max. [cm]	18	18	18	25	25
Masa [kg]	800	830	1100	2500	3000
Tractorul necesar [kW / CP]	15-18 20-25	18-22 25-30	22-30 30-40	38-66 55-90	66-110 90-150

- Combinatoarele CPGS-3 și CPGS-4, construite în țara noastră (fig.18), servesc la pregătirea patului germinativ pentru semănătura sfeclei. Ele sunt alcătuite din vibrocultorul 4, la partea din față, urmat de o grăpă rigidă cu colții 5, în

spatele căreia se poate ataga o grăpă rulantă elicoidală cu sîrme. La partea din față a vibrocultorului și a grăpei cu colți se găsește cîte un dispozitiv de prindere 1, prevăzut cu brațele 2 și cu bolturi la partea lor posterioară. Tija filetată 3, reglabilă ca lungime, are rolul de tirant central. Lățimea de lucru este de 3 și respectiv 4 m, adîncimea de lucru a vibrocultorului 10 cm, iar productivitatea combinatorului CPGS-3, echipat cu vibrocultor și grăpă rulantă, de 13,5 ha/schimb.

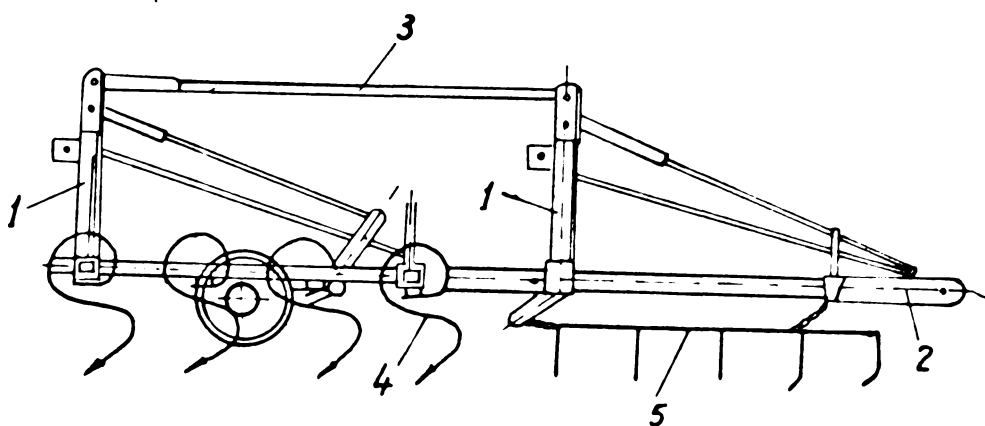


Fig.18 Schema combinatorului CPGS-3

- Combinatoarele Accord (R.F.G.) [67,80] au ca utilaje componente: vibrocultorul, cultivatorul pentru cultivație totală, grapa cu colți și grapa rulantă elicoidală, aceste utilaje putîndu-se combina în diferite variante, asigurînd lățimi de lucru cuprinse între 2,2 și 4 m. Cuplarea la tractor se face sigur și repede, cu ajutorul unui dispozitiv de cuplare rapidă tip Accord (fig.19) format din ferma de cuplare 1, triunghiulară, sudată pe cadrul maginii și o parte mobilă 2, tot triunghiulară, prevăzută la partea ei superioară cu rola de ghidare 3 și urechile 4, pentru cuplarea la tirantul central 6 al ridicătorului hidraulic al tractorului. La partea inferioară a părții mobile 2 se găsesc bolturile 5, pentru cuplarea la tiranții longitudinali ai ridicătorului hidraulic. Zăvorul 7 împiedică ieșirea rolei 3 din partea fixă solidară cu mașina, iar maneta 8 servește la decuplarea maginii.

Dispozitivul de cuplare rapidă descris a fost adoptat și de alte firme producătoare de combinatoare.

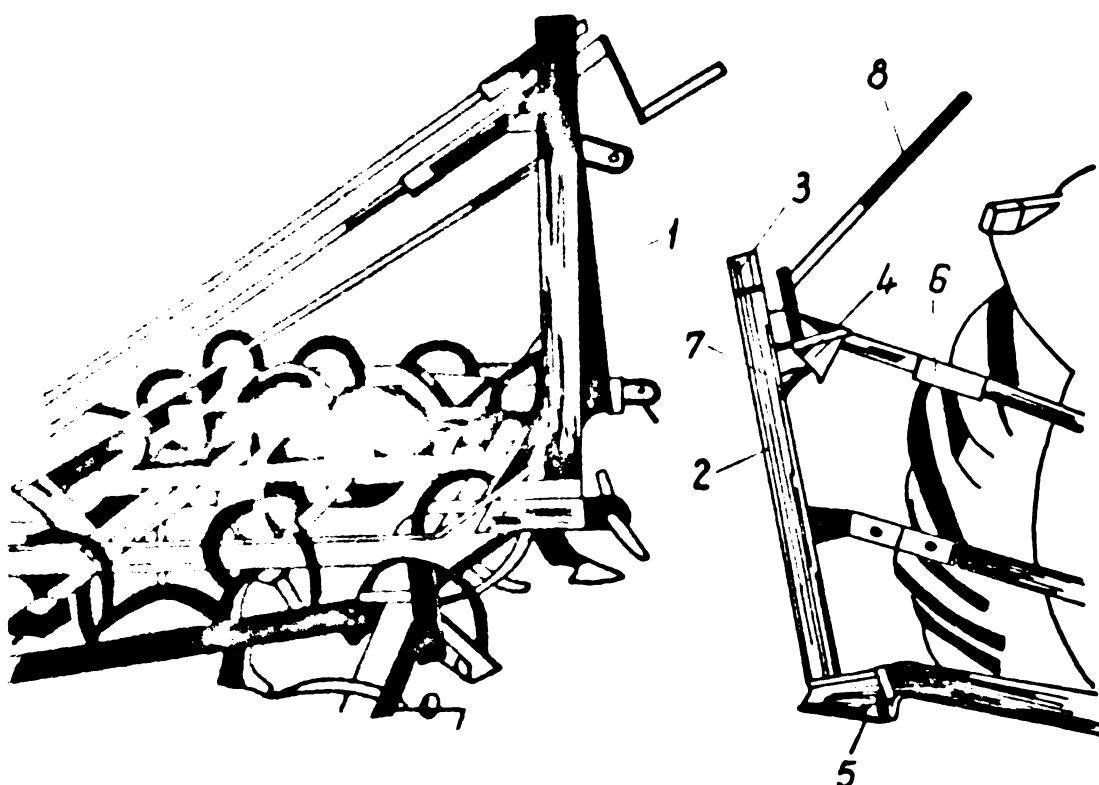


Fig.19 Dispozitivul de cuplare rapidă tip Accord

- Combinatoarele Rau-Kombi (R.F.G.) pot cuprinde în alcătuirea lor: vibrocultor, grapă cu colți curbați și vîrf aplatișat (linguriș), grapă rulantă elicoidală și grapă plasă (flexibilă). Ele au lățimi de lucru cuprinse între 1,85 și 4,4 m.
- Combinatoarele Crammer (R.F.G.), cu lățimi de lucru între 2 și 4 m, sunt alcătuite din vibrocultor, grapă cu linguriș și grapă rulantă elicoidală.
- Combinatoarele Kockerling (R.F.G.) sunt alcătuite din vibrocultor, cultivator pentru cultivare totală și grapă rulantă elicoidală. Ele au lățimi de lucru cuprinse între 1,65 și 3,45 m.
- Combinatoarele Stoll (R.F.G.) pot fi alcătuite, în diferite variante, din: vibrocultor, cultivator pentru cultivare totală, grapă cu linguriș, grapă rigidă cu colți și grapă rulantă elicoidală, pentru lățimi de lucru de la 2,2 pînă la 4,4 m.
- Combinatorul RVK-3 (URSS) [45] este alcătuit (fig. 20) din cadrul 4 pe care sunt dispuse, succesiv: cușitele flexibile de afinare 12, o baterie tăvălug inelar cu pinteni 11, un

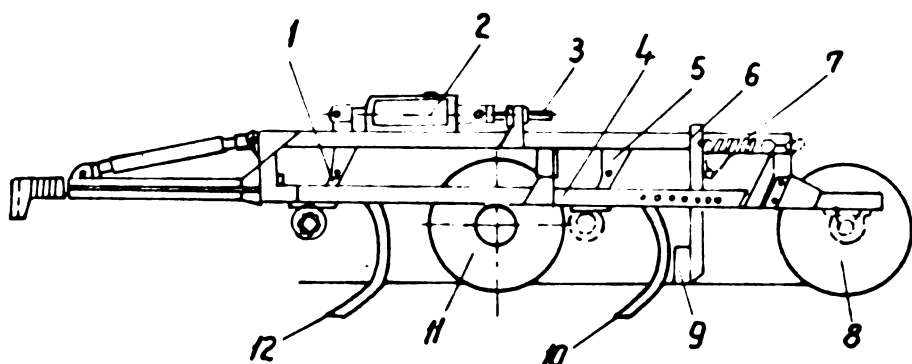


Fig.20 Schema combinatorului RVK-3

al doilea rînd de cușite 10, barele de nivelare 9 și o a doua baterie de tăvălug inelar cu pinteni 8. Mecanismul pentru ridicarea și coborârea cușitelor și pentru reglarea adîncimii de lucru este alcătuit din cilindrul hidraulic 2 cu surubul 3, bara longitudinală cu suporti 5 și pîrghiile rotative 1. Barele de nivelare 9 sunt fixate prin articulații la pîrghiile 6, legate la cadru cu arcurile de întindere 7, acestea permitînd reglarea apăsării pe care o exercită bara de nivelare 9 asupra solului.

In figura 21 este arătat procesul de lucru al combinatorului RVK-3. Primul rînd de cușite 1 afinează solul. Bulgării

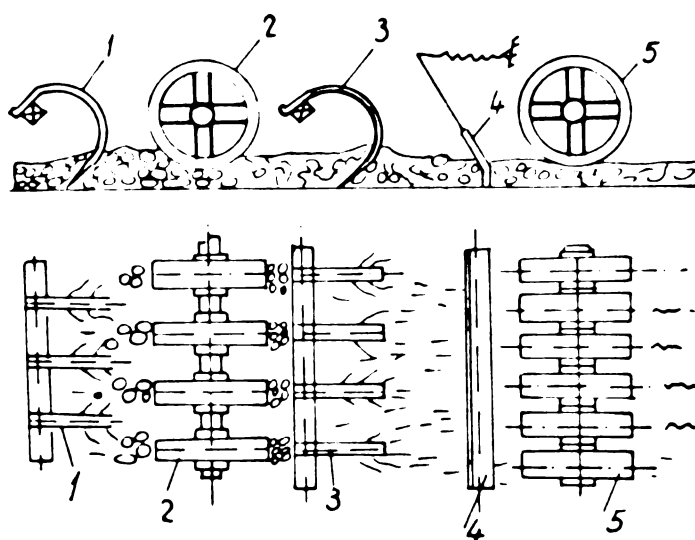


Fig.21 Schema procesului de lucru al combinatorului RVK-3

de pămînt care înconjură suportii cuțitelor sunt călați de  
inelele cu pinteni 2 și sfărîmați. Al doilea rînd de cuțite  
3 afinează zonele neprelucrate de primul rînd. Barele de ni-  
velare 4 niveleză și sparg suplimentar bulgării, iar inelele  
5 tasează și definitivează spargerea bulgărilor. Productivita-  
tea maximă a acestui agregat este de 2,35 ha/h, iar rezisten-  
ța la tracțiune este de 7000 - 9500 N. Producția la hectar pe  
terenul lucrat cu acest combinator a fost cu 300 - 500 kg su-  
perioră celei de pe terenul lucrat separat cu cultivatorul,  
grape cu colți și tăvălugul. Cheltuielile totale s-au redus  
de două ori. Semănătul pe terenul pregătit cu combinatorul  
HVK-3 s-a făcut la o viteză mai mare, iar pierderile de bo-  
abe la recoltare s-au micșorat de 2 - 3 ori, datorită coacerii  
uniforme.

- Combinatorul Schmetzer [67] (fig.22), avînd lățimea de  
lucru de 5,5 m, are un cadru 1, care se prinde de mecanismul  
de suspensie al tractorului. Sub cadru se poate atâsa fie un  
cultivator 2, fie o grăpă cu discuri, fie o grăpă cu colți.  
În partea posterioară a cadrului sunt fixate pivotant brațele  
cadrului auxiliar 3, la care se atârnă grăpele rulante 4 .

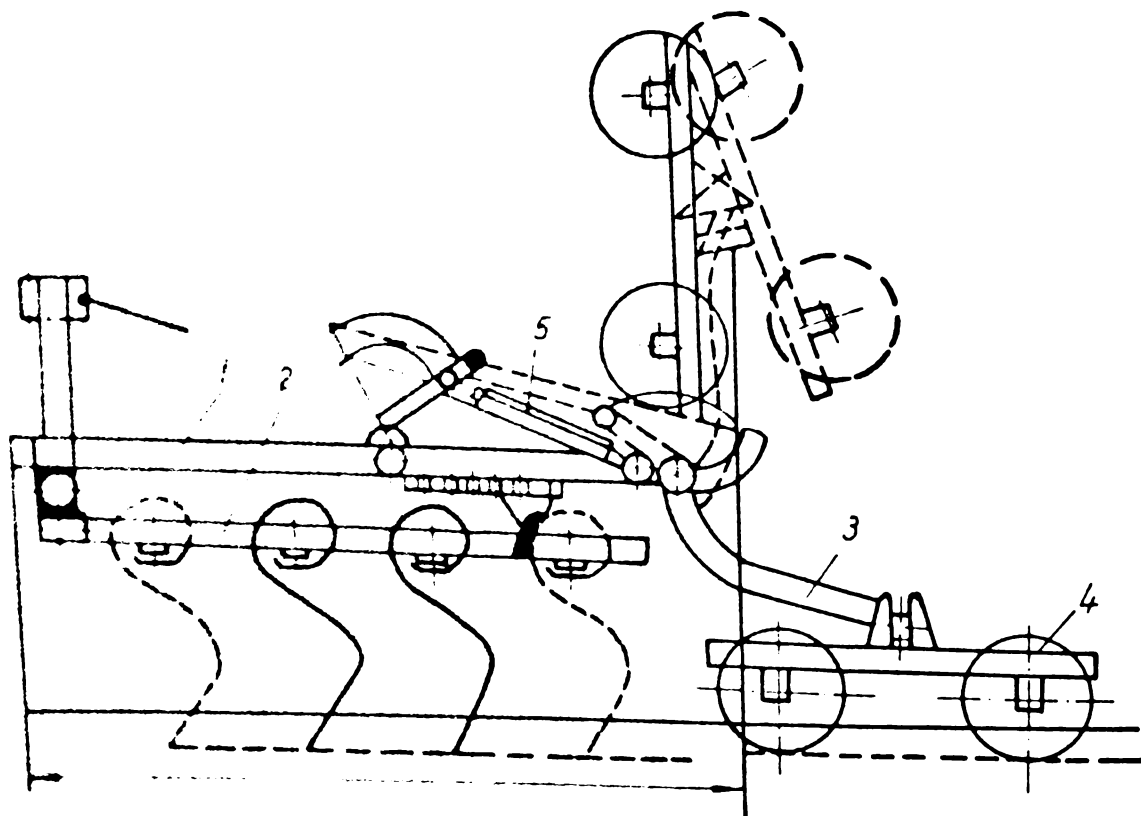


Fig.22 Schema combinatorului Schmetzer

Cadrul auxiliar este rabatabil, putind fi adus astfel deasupra cadrului principal prin actionarea unui cilindru hidraulic 5, aceasta pentru pozitia de transport.

- Agregatul combinat Accord-Weiste [67] servind la pregatirea terenului pentru culturile de primavara este alcătuit din cuțite de cultivator montate pe suporti elastici și grape rulante elicoidale. Cuplarea la tractor se face cu dispozitivul de cuplare rapidă tip Accord, cunoscut. Agregatul necesita un tractor de 37 kW (50 CP), viteza optimă de lucru fiind de 1,66 m/s (6 km/h). Productivitatea agregatului este de 2,3 - 2,6 ha/h.

#### 2.4. Privire critică asupra uneltelelor și mașinilor pentru mărunțirea solului. Oportunitatea construirii unui combinator pentru condițiile agriculturii din țara noastră.

Făcindu-se o trecere în revistă a uneltelelor, mașinilor și agregatelor combine existente, folosite în scopul mărunțirii solului și prezentate sintetic în această primă parte a lucrării, se poate constata că:

- majoritatea acestora asigură mărunțirea corespunzătoare în solurile ugoare și mijlocii. Așa este de pildă cazul combinatoarelor K-17 și K-25, CPGS-3 și CPGS-4, Accord, Rau-Kombi, Crammer, Kockerling, Stoll, Accord-Weiste. Cele mai multe dintre aceste combinatoare sunt alcătuite din aceleasi unelte și anume: grape rigide cu colți, vibrocultoare și grape rulante.

- Puținele combinatoare destinate mărunțirii solurilor grele, printre care Carlo Pesci - cu toate tipurile lui constructive - și RVK-3 sunt caracterizate prin organe de lucru de construcție diferită față de organele „clasice” și anume: stele cu colți ascuțiti și curbați, bare nivelatoare, cuțite de afinare flexibile și inele cu pinteni, ceea ce explică parțial eficacitatea mai bună, în ceea ce privește mărunțirea, a acestor combinatoare. Totodată, se poate afirma că combinatoarele citate realizează mărunțirea solurilor grele și datorită maselor mari pe care le au; de pildă (tabelul 3), tipul CPF-30 al combinatorului Carlo Pesci are masa de 3000 kg, la o lățime de lucru de numai 2,6 m, ceea ce constituie un dezavantaj general al combinatoarelor pentru soluri grele, dezavantaj

ce se concretizează prin necesitatea folosirii unor tractoare de putere mare, grele, cu consumuri ridicate de combustibil. De asemenea, manevrabilitatea acestor combinatoare este greoaie. În sfîrșit, agregatele realizate astfel exercită asupra solului o presiune destul de pronunțată, datorită maselor mari pe care le au.

În concluzie, se poate afirma că problema mărunțirii, afinării, nivelării și tasării superficiale a solurilor la o singură trecere nu este încă complet rezolvată, fapt care face ca tasarea - cu urmările ei - să nu poată fi în total înlăturată, menținerea structurii optime a solului să nu se poată încă realiza în toate situațiile, iar economiile de combustibil, timp și forță de muncă să rămână încă în fază dezideratului.

Această situație de fapt pune în fața specialistilor problema creșterii, printre alte unele, magini și instalații, și a unor combinatoare pentru mărunțirea solului cu un grad de universalitate cît mai înalt [33], care să contribuie la dotarea agriculturii, ramură de bază a economiei noastre naționale, cu mijloace tehnice avansate capabile să confere muncii din agricultură un caracter cît mai apropiat de munca industrială.

Un combinator capabil să mărunțească orice tip de sol [4, 9, 19, 67], la o singură trecere și cu un consum cît mai mic de combustibil și forță de muncă, trebuie să indeplinească următoarele condiții de bază:

- a) Să aibă o masă cît mai mică.
- b) Să cuprindă în echiparea sa și organe de lucru acționate, și căror agresivitate să poată fi modificată atât în funcție de tipul și starea solului în care lucrează cît și în funcție de cultura ce trebuie realizată.
- c) Să aibă un grad ridicat de manevrabilitate (să fie manevrabil).
- d) Să necesite forțe de tracțiune mult mai mici.
- e) Să fie ușor de întreținut și să prezinte o fiabilitate cît mai mare.
- f) Să aibă o productivitate cît mai bună.

## PARTEA A DOUA. CONTRIBUTII TEORETICE LA MECANIZAREA PROCESULUI DE MARUNTIRE A SOLULUI

### Capitolul 1. Alegerea tipului de mașină

In urma concluziilor reieșite din partea înții a tezei, și în vederea construirii unui combinator cu un grad de universalitate cît mai mare, care, pe lîngă solurile ugoare și mijlocii să poată asigura și măruntirea solurilor grele, bulgăroase, caracteristice și județului Argeș în care autorul își desfășoară activitatea, s-a efectuat în zonele Albota, Stefănești și Călinești, experimentarea unor unelte și mașini agricole echipate cu organe de lucru de diverse tipuri, și anume: grape cu colți, cu discuri și rulante (elicoidale), cultivatoare cu dălți, cu gheare și cu săgeți universale și tăvălugi inelari. În urma acestor experimentări s-a constatat că eficacitatea maximă, în ceea ce privește sfărîmarea bulgărilor duri de sol e au discurile sferice, la un unghi de atac de  $0,2093$  rad ( $12^{\circ}$ ), iar în ceea ce privește măruntirea solului, nivelarea terenului și tasarea superficială, grapele rulante elicoidale cu spiră din sîrmă înfășurată pe tamburi cilindrici.

Totodată, s-a constatat, cu prilejul acelorași experimentări, că și forța de rezistență la tractiune a discurilor și a grapelor rulante este mai redusă comparativ cu a organelor de lucru ale celorlalte unelte și mașini experimentate.

Concomitent cu aceste lucrări, mergîndu-se pe ideea utilizării unor organe de lucru cu mișcare proprie, s-a experimentat, în aceleasi zone (Albota, Stefănești, Călinești) și grapa rotativă cu colți, acționată de la priza de putere a tractorului [19], încercată încă din 1967 în zona Craiovei în soluri mijlocii, constatîndu-se că ea asigură o bună măruntire și în condițiile de sol greu, mai cu seamă după trecerea grapei cu discuri.

Un combinator [4] alcătuit din organe de lucru în formă de daltă - la partea dinainte, urmate de cîmpuri de grape rotative cu colți acționate, de tipul grapei amintite mai sus

[19] și de grape rulante elicoidale, experimentat și el în condițiile aceluiasi sol greu, nu a dat rezultatele scontate, întrucât, pe lîngă faptul că dățile nu asigură sfârșimarea sătiei și atoare a bulgărilor foarte duri, ele opun și o rezistență mare la înaintare, astfel încât, în condițiile date, combinatorul respectiv, în agregat cu tractorul U-650, nu poate lucra decât în treptele de viteză  $I_f$ ,  $I_r$ ,  $II_f$  și  $III_f$ , la viteze de deplasare mai mari forța de tracțiune fiind insuficientă. Chiar în treptele de viteză amintite, calitatea lucrării pe care o efectuează acest combinator este necorespunzătoare.

În urma tuturor acestor constatări, s-a construit (în atelierul S.E.A. Mărăcineni, județul Argeș) un combinator [53] alcătuit dintr-un cadru dreptunghiular din țeavă de oțel sudat, la partea anterioară a căruia s-au fixat rigid două baterii de discuri sferice de la grapa GD - 3,2, iar la partea posterioară au fost prinse articulat trei cîmpuri de grăpă rulantă elicoidală, cu spiră înfășurată pe tamburi cilindrici. Între bateriile de discuri și cîmpurile de grăpă, pe cadru, sunt păstrate găse rotoare, fiecare cu cîte patru colțî, de secțiune rombică, cu vîrful curbat. Rotoarele respective sunt acționate de la priza de putere a tractorului, prin transmisiile cardanice, angrenaje de roți dințate conice cu dinți drepti și transmisiile cu lanț (fig.23, 24, 25, 26, 27).

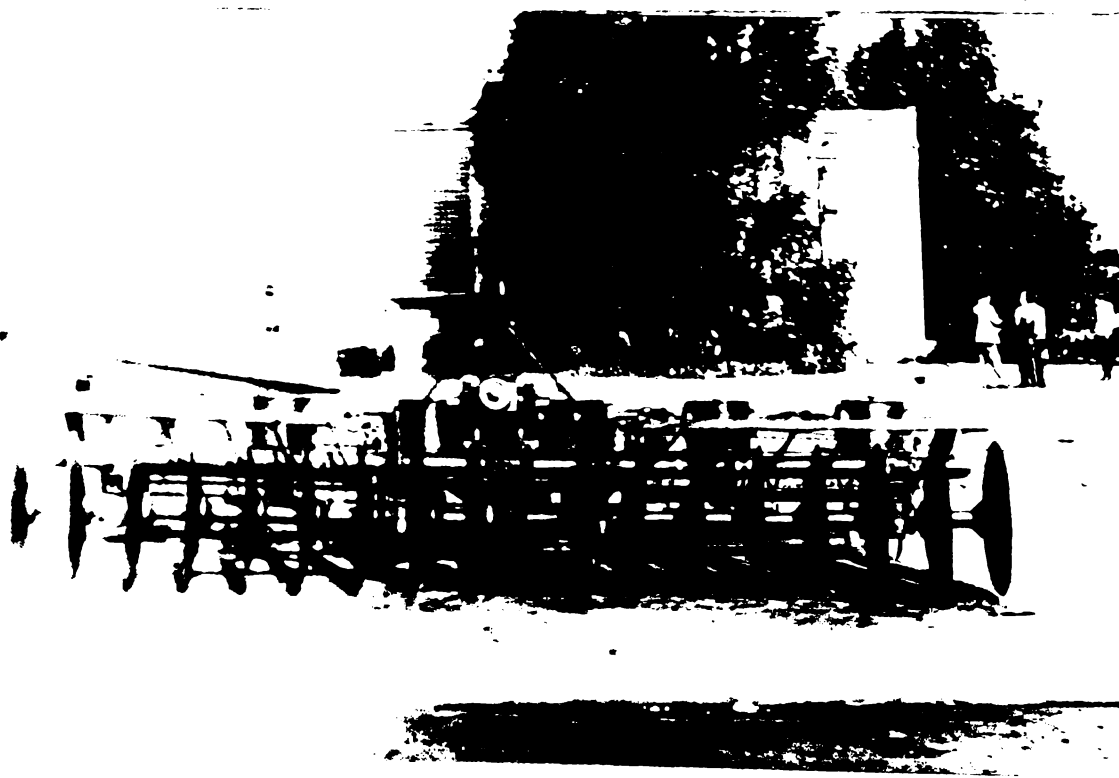


Fig. 23 Vedere din față a combinatorului

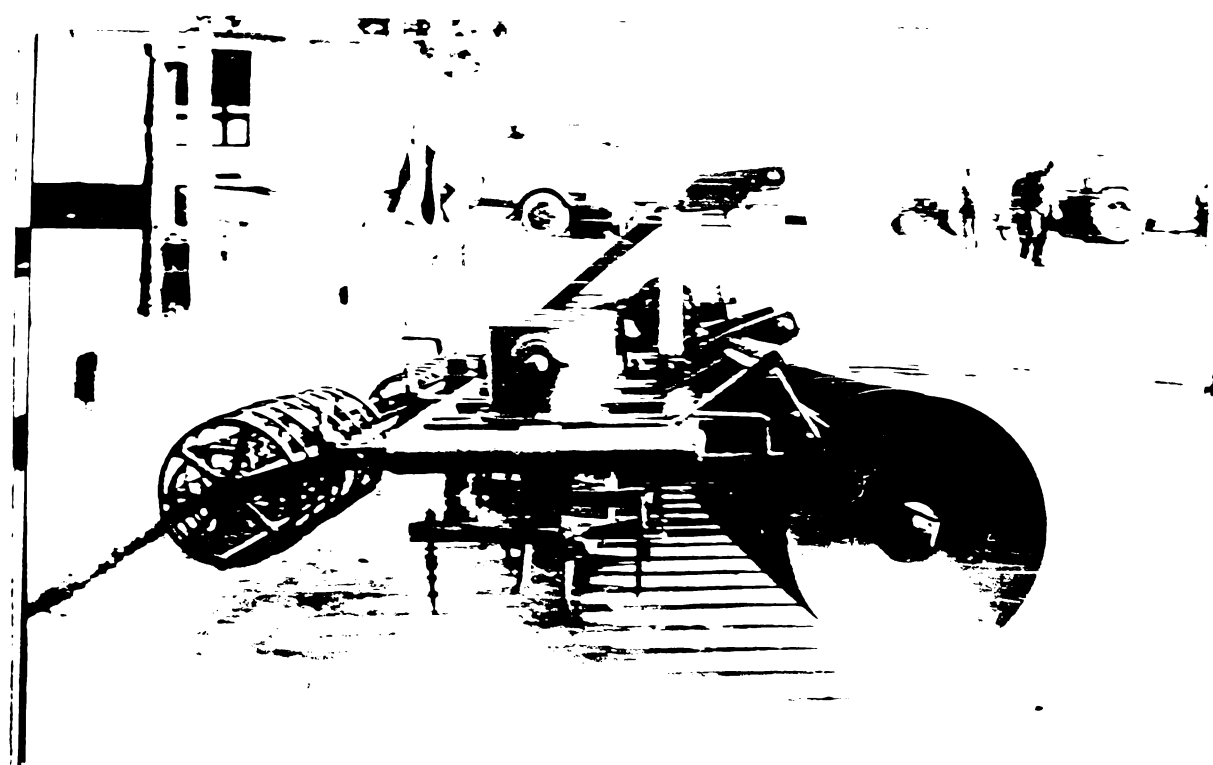


Fig.24 Vedere laterală din dreapta

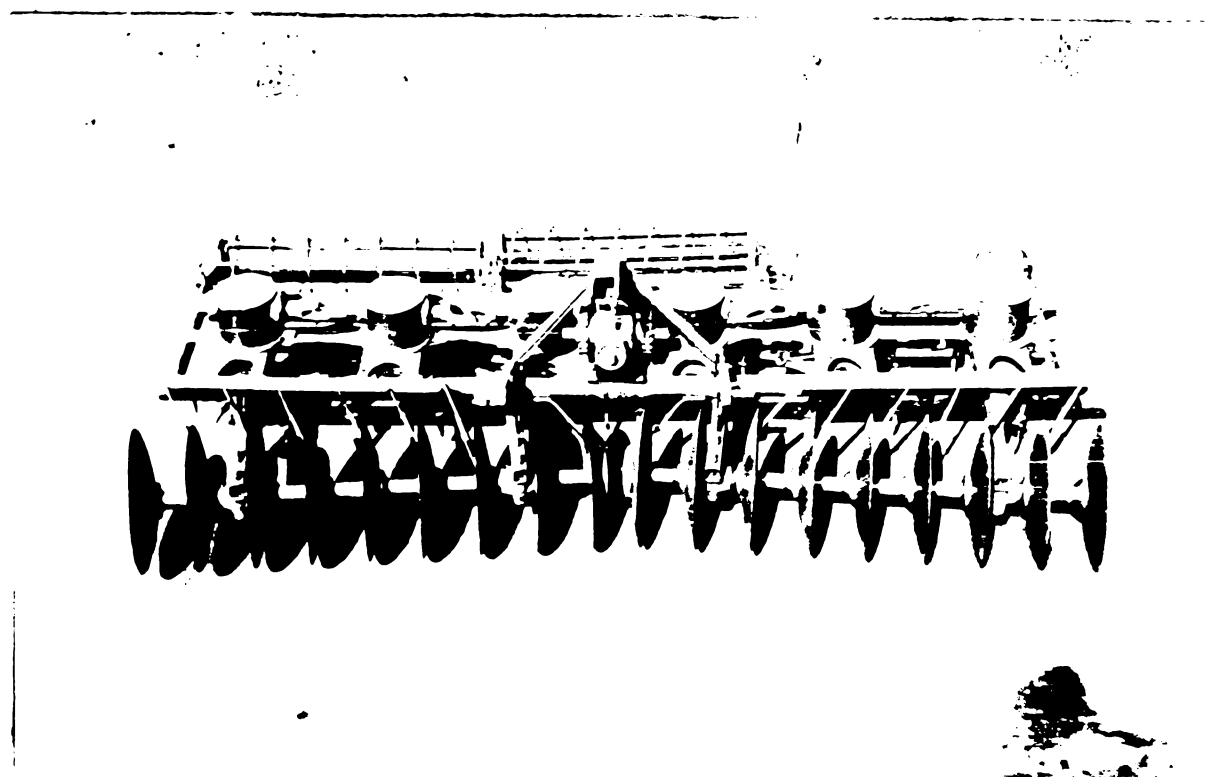


Fig.25 Vedere din față - sus

Descrierea amănunțită, modul de funcționare, caracteristicile tehnice și reglajele combinatorului astfel conceput sint prezentate în partea a treia a lucrării.

Amplasarea organelor de lucru ale combinatorului a fost stabilită în ordinea arătată, deoarece, aşa cum este logic și

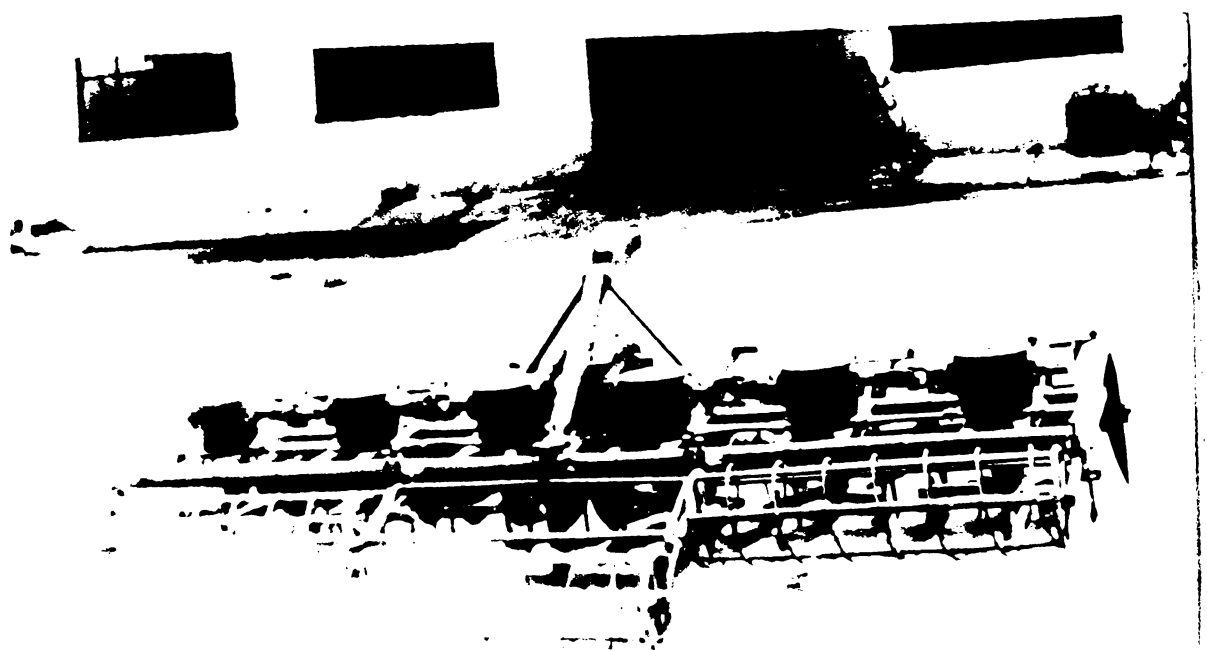


Fig.26 Vedere din spate - sus

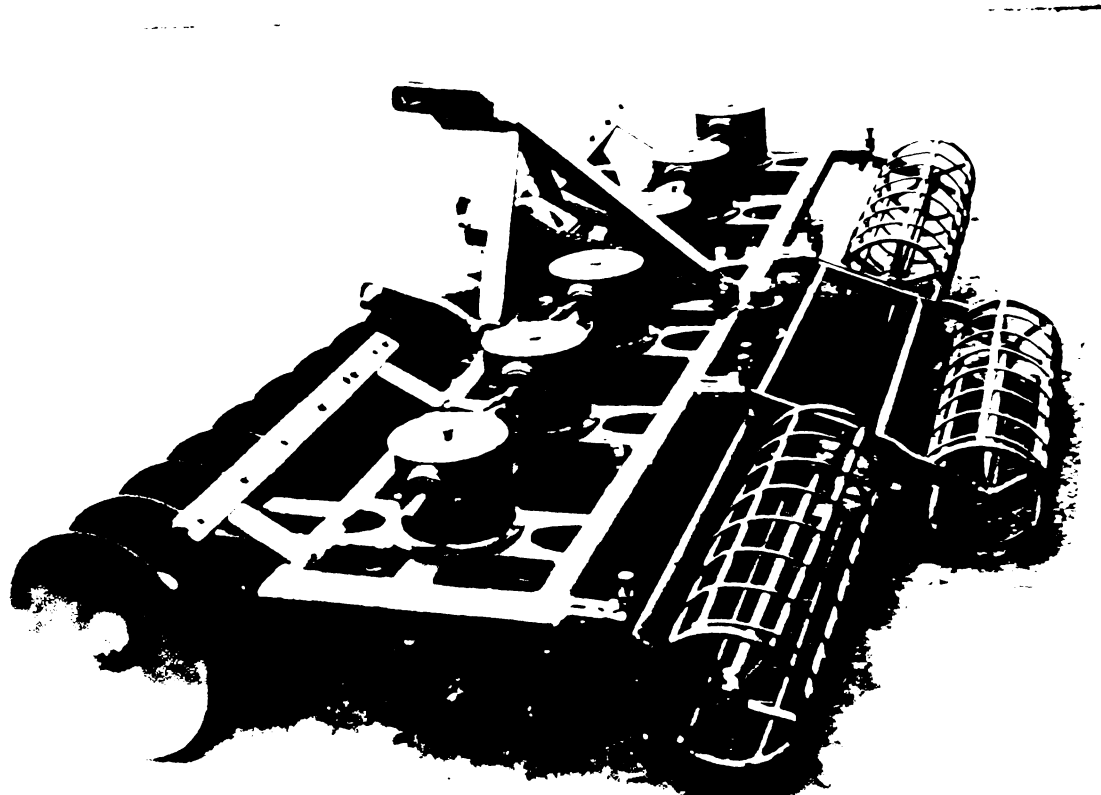


Fig.27 Vedere laterală din stînga-sus

cum au erătat și încercările amintite: discurile sferice încep sfârșirea bulgărilor, colții grapei rotative continuă sfârșirea lor și își mărunțesc, iar grapele elicoidale - rulante de săvîrșesc mărunțirea bulgărilor, nivelează terenul și asigură tăshrea superficială, necesară în special în cazul semințelor mici.

Elementele combinatorului construit fiind cele trei grăpe care intră în compoñență sa, în continuare vor fi tratate numai grapa rotativă cu colții acționată și grapa rulantă elipticoidală, deoarece grapele cu discuri sunt bine cunoscute, iar teoria lor se găsește în întreaga literatură de specialitate.

### 1.1. Grapa rotativă cu colții acționată de la priza de putere

Din schema cinematică a acesteia (fig. 28) se poate observa că cele găse rotoare au, trei cîte trei, sensuri de rotație diferite, astfel ca, prin echilibrarea momentelor lor

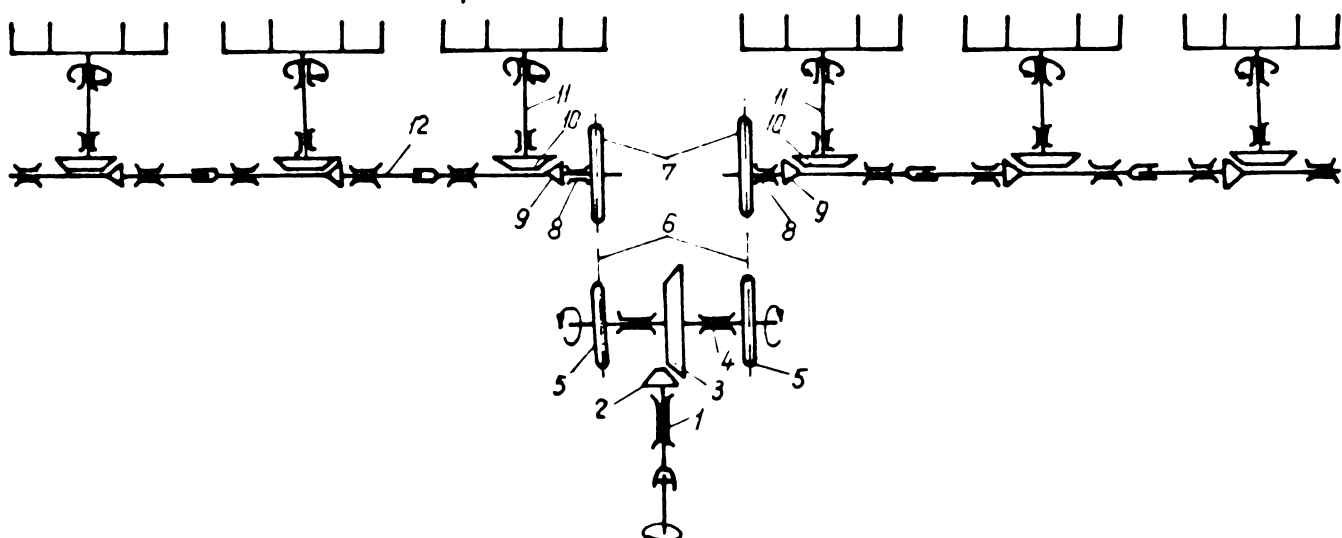


Fig. 28 Schema cinematică a grapei rotative cu colții acționată de la priza de putere

rotitoare, să fie asigurată stabilitatea laterală a combinatorului în timpul lucrului.

Tinind seama de numărul de dinți ai roților 2, 3, 5, 7, 9 și 10, raportul total de demultiplicare al lanțului cinematic, în varianta construită, este:

$$i = \frac{Z_3 \cdot Z_7 \cdot Z_{10}}{Z_2 \cdot Z_5 \cdot Z_9} = \frac{27 \cdot 18 \cdot 24}{11 \cdot 18 \cdot 13} \approx 4,5$$

Acțiunea colților, în general, va fi mai energetică sau mai puțin energetică, după cum ei vor fi fixați, pe brațele rotoarelor, cu curbura virfului în sensul de rotație sau invers (fig.29).



Fig.29 Fixarea colților pe rotoare

De asemenea, agresivitatea colțului, exprimată prin gradul de prelucrare a solului  $\Gamma$  (tabel 8), este proporțională cu lungimea traectoriei descrise de el la o deplasare constantă a agregatului.

#### 1.1.1. Cineratica colțului

##### - Deplasarea colțului grapei

In tip ce agregatul se deplacează pe direcția de lucru cu viteză  $v_m$  (fig.30), colții execută și o mișcare de rotație proprie cu o viteză  $v_p$ , viteză absolută a colților  $v_c$  fiind rezultanta celor două viteză  $v_m$  și  $v_p$ . Direcția vitezei absolute  $v_c$  este tangentă la curba pe care o descrie colțul în sol.

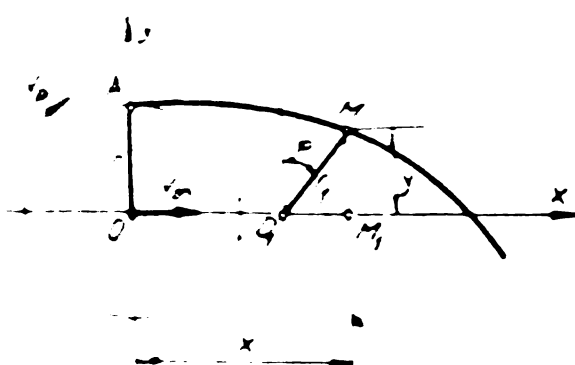


Fig.30 Schema deplasării colțului grapei rotative

Astfel, la momentul initial  $t_0$ , axa de rotație a rotorului de grăpe se află în originea O a axelor de coordonate, iar colțul considerat în A. La momentul t, cind axa rotorului s-a deplasat din O în  $O_1$ , colțul considerat, care s-a și rotit, a ajuns în punctul M, descriind curba AM. Față de poziția initială, brațul rotorului (raza r) s-a rotit cu unghiul  $\varphi = \omega t$ .

La momentul t deci, coordonatele punctului M sint:

$$\left. \begin{array}{l} x = OO_1 + O_1M_1 = v_m \cdot t + r \cdot \sin \omega t \\ y = MM_1 = r \cdot \cos \omega t \end{array} \right\} \quad (27)$$

Avind în vedere că rotorul grăpei are patru colții defazați cu  $\frac{\pi}{2}$  (fig.31), ecuațiile (27) vor putea determina po-

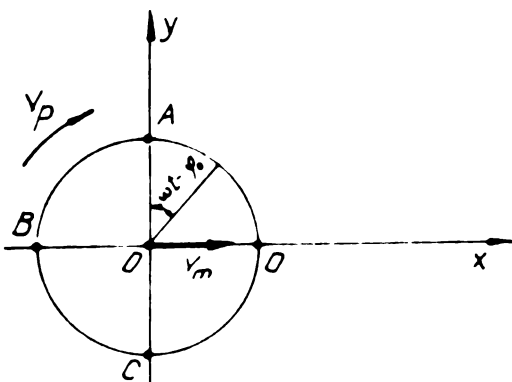


Fig.31 Defazarea colților  
unui rotor

ziția celor patru colții cu ajutorul unei constante  $\varphi_0$ , proprie fiecărui colț, astfel:

$$\left. \begin{array}{l} x = v_m t + r \cdot \sin (\omega t - \varphi_0) \\ y = r \cdot \cos (\omega t - \varphi_0) \end{array} \right\} \quad (27')$$

unde  $\varphi_0$  are valorile:

$$\varphi_{oA} = 0; \varphi_{oB} = \frac{\pi}{2}; \varphi_{oC} = \pi; \varphi_{oD} = \frac{3\pi}{2}.$$

Unghiul  $\beta$  (fig.32) făcut de tangenta la traectoria descrisă de colț, într-un punct M, cu direcția de deplasare a agregatului (Ox) poate lua orice valoare între 0 și  $2\pi$ , valoare dată de:

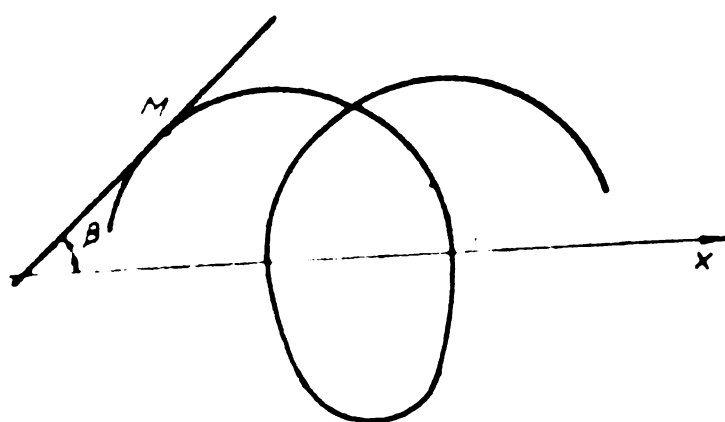


Fig. 32 Schema variației valorii unghiului  $\beta$

$$\operatorname{tg} \beta \equiv \frac{dy}{dx} = - \frac{r\omega \sin(\omega t - \varphi_0)}{[v_m + r\omega \cos(\omega t - \varphi_0)]} \frac{dt}{dt}. \quad (28)$$

Se ia în considerație, în continuare, numai colțul A, calculul pentru ceilalți colții făcindu-se identic, având în vedere defazajul existent între ei. În acest caz,  $\varphi_{oA} = 0$  și (28) devine:

$$\operatorname{tg} \beta = - \frac{r\omega \sin \omega t}{v_m + r\omega \cos \omega t}. \quad (28')$$

Raportul

$$\lambda = \frac{v_p}{v_m}$$

rezintă indicele cinematic al grapei rotative, indice a cărui valoare, după cum se va vedea, prezintă o importanță practică deosebită.

Parametrii  $t$  și  $\varphi$  fiind interdependenți, se poate scrie:

$$t = \frac{\varphi}{\omega} = \frac{\varphi r}{v_p}.$$

Că urmăre, ecuațiile (27) și (27') se poate scrie numai în funcție de  $\varphi$ :

$$\left. \begin{aligned} x &= v_m \frac{\varphi r}{v_p} + r \cdot \sin \varphi \\ y &= r \cdot \cos \varphi \end{aligned} \right\} \quad (27'')$$

sau, ținind seama de indicele cinematic  $\lambda$  :

$$\left. \begin{array}{l} x = \frac{\varphi r}{\lambda} + r \cdot \sin \varphi \\ y = r \cdot \cos \varphi \end{array} \right\} \quad (27'')$$

din care se observă că alura traectoriei descrise de colț, deci implicit și agresivitatea lui depind de valoarea acestui indice  $\lambda$  [19].

Aștept:

- dacă  $\lambda = \infty$  ( $v_p = 0$ ), primul termen al ecuației lui x din (27'') se anulează și traectoria colțului va fi un cerc;
- dacă  $\infty > \lambda > 1$ , traectoria va fi o trohoidă, cu buclă din ce în ce mai mică cu cît  $\lambda$  se apropie de valoarea 1 (fig. 33);

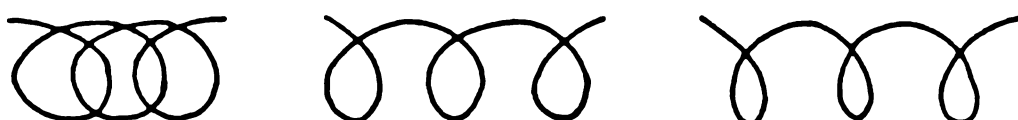


Fig. 33 Traectorii ale colțului, în cazul  $\infty > \lambda > 1$

- dacă  $\lambda = 1$  ( $v_p = v_m$ ), traectoria colțului este o cicloidă (fig. 34);



Fig. 34 Traectoria colțului, în cazul  $\lambda = 1$

- dacă  $1 > \lambda > 0$ , cicloidă se deformează devenind o trohoidă alungită, cu atât mai mult cu cît  $\lambda$  se apropie de valoarea 0 (fig. 35);



Fig. 35 Traectorii ale colțului, în cazul  $1 > \lambda > 0$

- dacă, în fine,  $\lambda = 0$  ( $v_p = 0$ ) traiectoria colțului va fi dreaptă, determinată numai de translația maginii.

Lucrindu-se, aşa cum s-a arătat mai înainte, în agregat cu tractorul U-650, în diferite trepte de viteză și acționându-se grapa rotativă atât de la priza de putere independentă cât și de la priza de putere sincronă, se pot obține diferite traiectorii ale colților și, implicit, o acțiune mai agresivă sau mai puțin agresivă a acestora asupra bulgărilor de sol.

Astfel, la folosirea prizei de putere independentă ( $n_p = \text{const} = 536 \text{ rot/min}$ ), timpul  $t_1$ , în care rotorul grapei efectuează o rotație completă, este constant și are valoarea:

$$t_1 = \frac{60 i}{n_p} = \frac{60 \cdot 4,5}{536} = 0,5 \text{ [s]}$$

Cu vitezele teoretice de deplasare  $v_m$  s-au calculat spațiile parcuse de agregat în timpul  $t_1$  (tabelul 4).

Tabelul 4. Spațiile parcuse de agregat în timpul  $t_1$

Treapta de viteză	$I_f$	$I_r$	$II_f$	$II_r$	$III_f$	$III_r$	$IV_f$	$IV_r$	$V_f$	$V_r$
Viteză $v_m$ [m/s]	0,717	1,063	1,154	1,714	1,606	2,375	2,135	3,16	5,0	7,5
Spațiu parcurs [m]	0,36	0,53	0,58	0,86	0,80	1,19	1,07	1,58	2,5	3,75

Tabelul 5. Valurile lui  $v_m, t_1, v_p$  și  $\lambda$  la diferite trepte de viteză

Treapta de viteză	$I_f$	$I_r$	$II_f$	$II_r$	$III_f$	$III_r$	$IV_f$	$IV_r$
Viteză - $v_m$	0,717	1,063	1,154	1,714	1,606	2,375	2,135	3,16
$t_1$	sincron	1,68	1,13	1,04	0,7	0,75	0,5	-
	indep.				constant	0,5		
$v_p$	sincron	0,94	1,38	1,51	2,24	2,10	3,10	-
	indep.				constant	3,11		
$\lambda$	sincron				constant	1,3		
	indep.	4,35	2,93	2,70	1,82	1,94	1,3	1,45
								0,98

La folosirea prizei de putere sincrone, timpul  $t_1$  este diferit pentru fiecare treaptă de viteză în parte, întrucât fiecărei viteze de deplasare  $v_m$  îi corespunde o anumită turăție  $n_p$  a arborelui prizei de putere și deci un anumit  $v_p$ . Valorile caracteristice ale lui  $t_1, v_p$  și  $\lambda$  sunt prezentate în tabelul 5, iar variația lui  $t_1$  cu  $v_m$ , în fig. 36. În fig. 37 este prezentată variația lui  $\lambda$  funcție de viteză, la folosirea ambelor prize de putere.

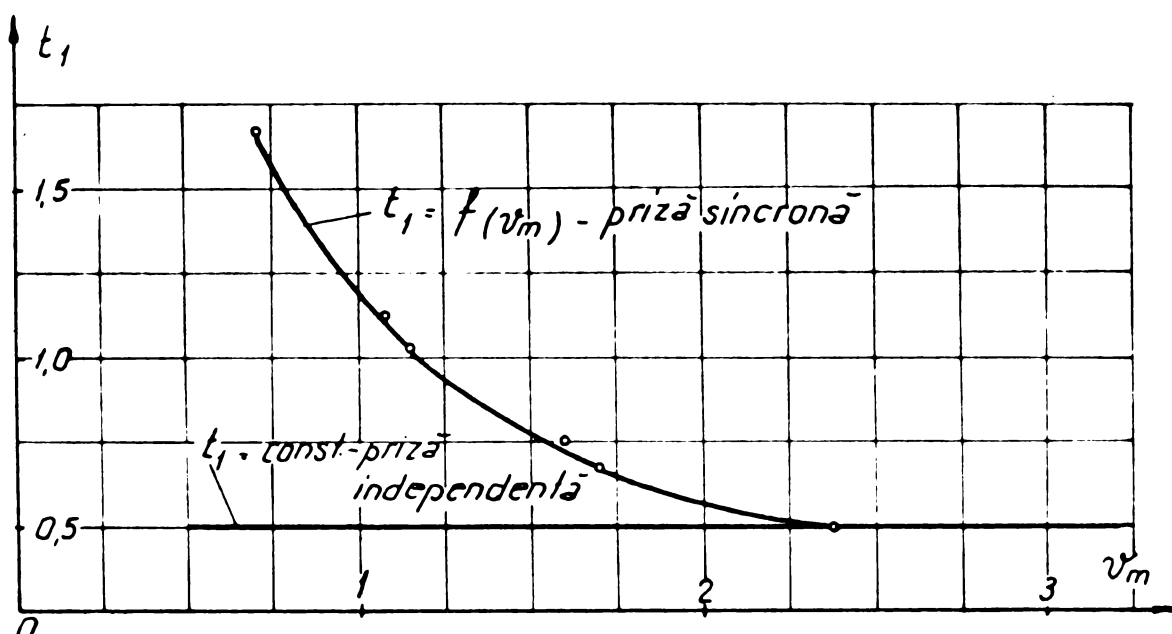


Fig. 36 Variația timpului  $t_1$  cu viteza de lucru

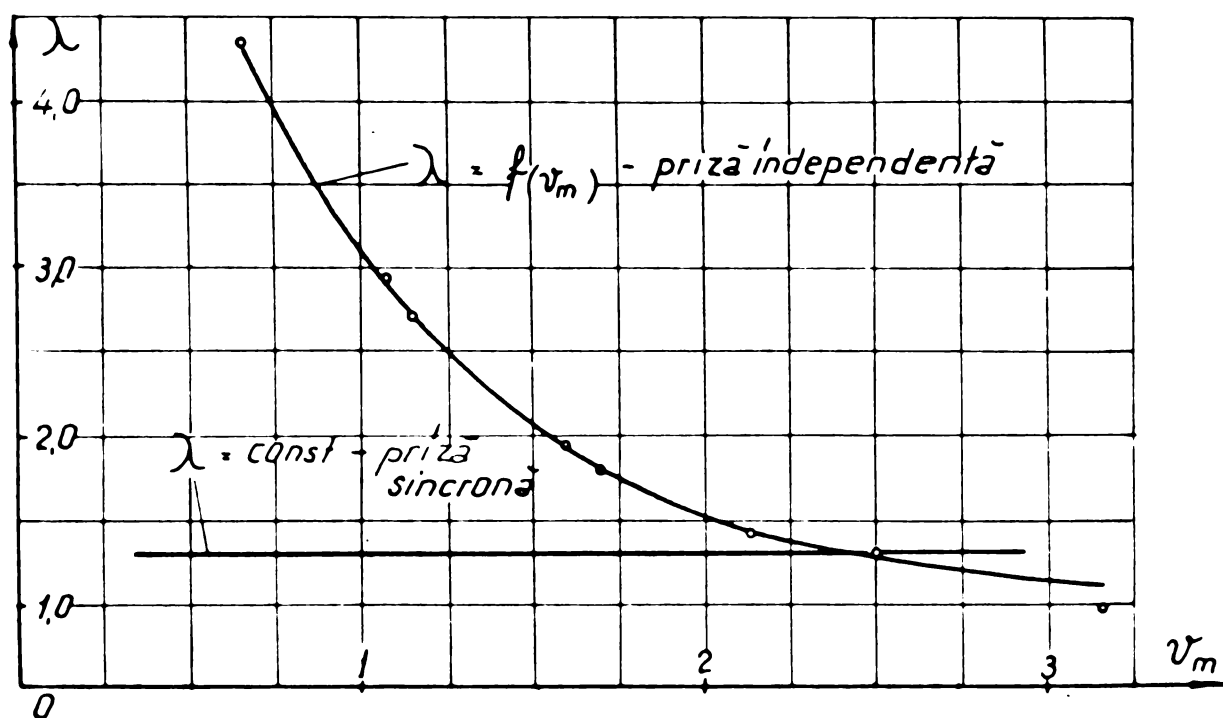


Fig. 37 Variația valorii indicelui cinematic  $\lambda$  cu viteza de lucru

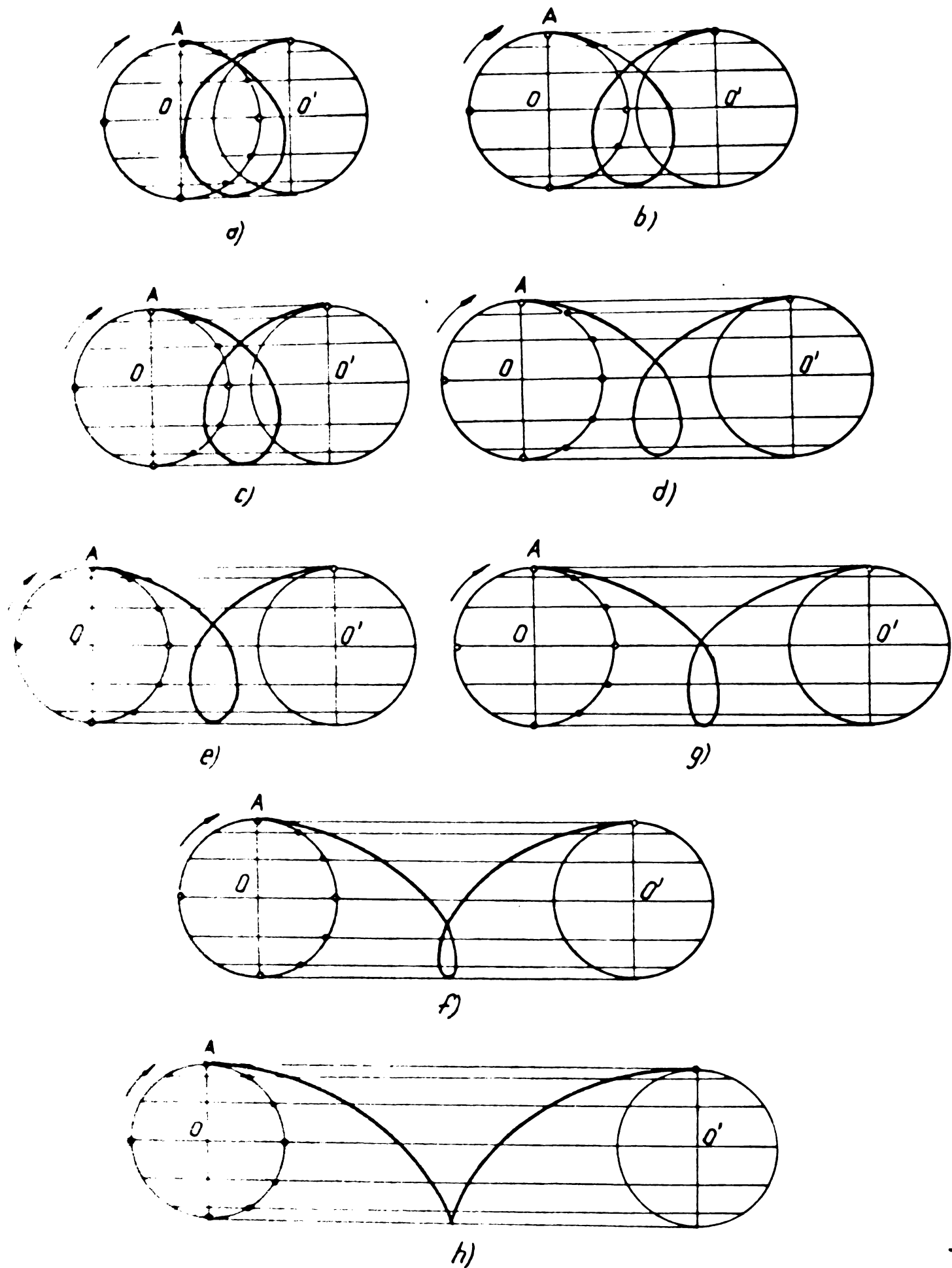


Fig. 38 Traectoriile descrise de colțul A la diferențe de viteze: a- I<sub>fi</sub>; b- I<sub>ri</sub>; c- II<sub>fi</sub>; d- II<sub>ri</sub>; e- III<sub>fi</sub>; f- III<sub>ri</sub> și priză sincronă toate treptele; g- IV<sub>fi</sub>; h- IV<sub>ri</sub>

Cu valorile din tabelul 4 și la o rază a rotorului grapei de  $0,25\text{ m}$ , s-au reprezentat, la scară, spectrele traectoriilor descrise de colțul A (fig.38).

In tabelul 6 sunt date valorile turățiilor rotorului grapei și ale vitezelor unghiulare, la folosirea prizei de putere sincrone, valori ce vor fi necesare în cele ce urmează.

**Tabelul 6. Turățiile rotorului grapei și vitezele unghiulare, la folosirea prizei de putere sincrone**

Treapta de viteză	$I_f$	$I_r$	$II_f$	$II_r$	$III_f$	$III_r$
$n_r = \frac{\pi p}{I} [\text{rot/min}]$	35	51,8	56,5	83,7	78	116
$\omega [\text{rad/s}]$	3,76	5,52	6,04	8,96	8,40	12,40

- Spatiul parcurs de combinator la o rotație completă a grapei rotative actionate:

La o rotație a grapei rotative, spațiul parcurs de combinator este:

$$X = v_m T, \quad [m] \quad (29)$$

unde:

$$T = \frac{2\pi}{\omega} - \text{perioada mișcării de rotație a rotorului, [s].}$$

Inlocuind în (29) pe T prin valoarea de mai sus se obține:

$$X = v_m \frac{2\pi}{\omega} = \frac{2\pi r}{\lambda}, \quad [m] \quad (29')$$

spațiu care ar coincide cu avansul pe colț (pasul), în cazul în care rotorul ar avea un singur colț. Cum însă rotorul are z colții ( $z = 4$ ), avansul pe colț (pasul) va fi spațiul parcurs de agregat din momentul inițial (fig.39) pînă cînd colțul următor (B) se va afla, ca ordonată, pe locul din care a pornit colțul A.

Se observă că timpul necesar trecerii colțului B, ca ordonată, în locul colțului A este:

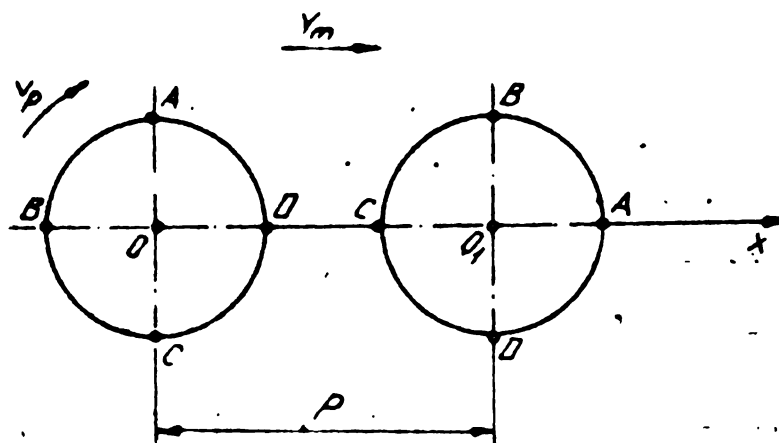


Fig. 39 Pasul (avansul pe colț)

$$t = \frac{T}{z} = \frac{2\pi}{\omega z}, \quad [s] \quad (30)$$

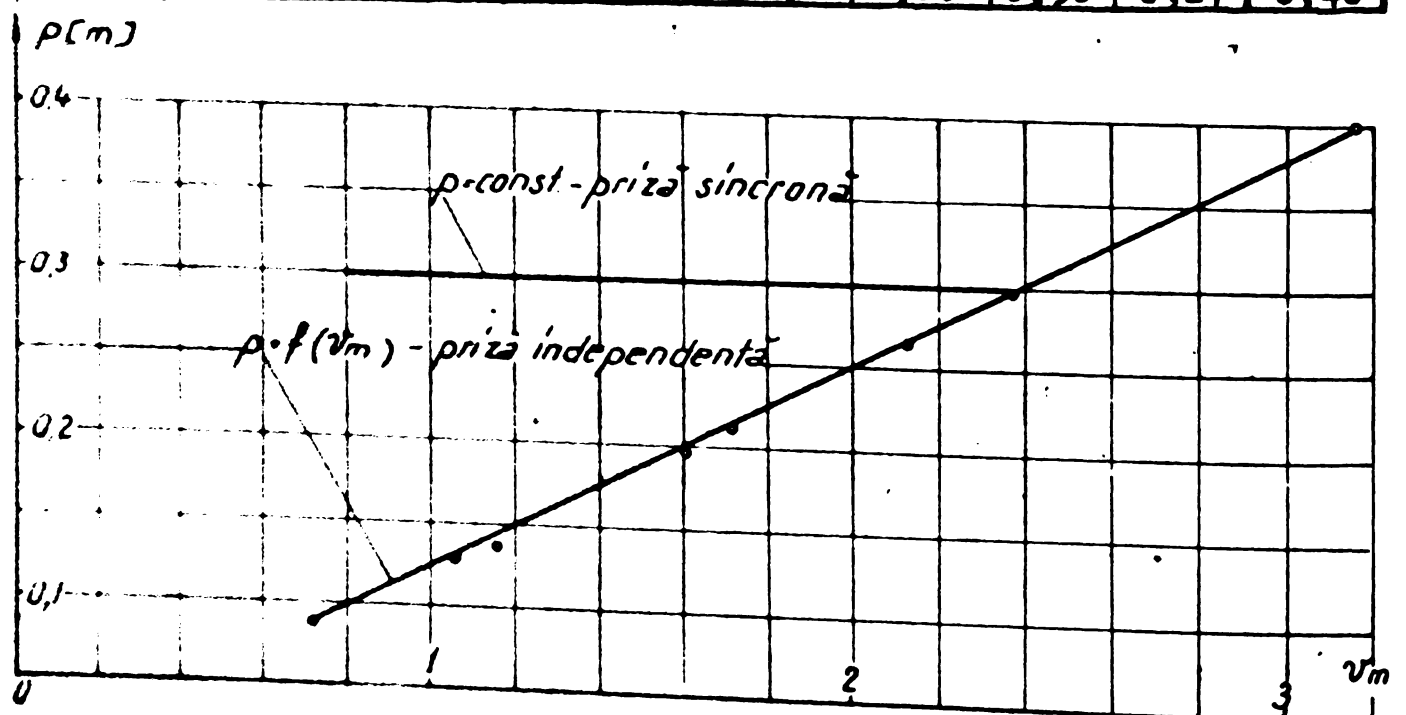
deci valoarea pasului este:

$$p = \frac{x}{z} = \frac{2\pi r}{\lambda z}. \quad [m/colt] \quad (31)$$

In tabelul 7 sunt date valoarele lui  $p$ , la diferitele trepte de viteza, pentru cazul concret  $z = 4$ , iar in fig. 40 se reprezinta grafic variația lui  $p$  cu  $v_m$ , pentru folosirea ambelor prize de putere.

Tabelul 7 Pasul  $p$ , in functie de treapta de viteza

Treapta		I <sub>f</sub>	I <sub>r</sub>	II <sub>f</sub>	II <sub>r</sub>	III <sub>f</sub>	III <sub>r</sub>	IV <sub>f</sub>	IV <sub>r</sub>
$p$ [m/ colț]	Priza sincronă	constant 0,3							
	Priza in- dependenta	0,09	0,13	0,14	0,21	0,20	0,30	0,27	0,40



- Viteza colțului grapei

Considerind că traectoria colțului are alura prezentată în fig. 41, viteza absolută a colțului (tangentă la traectorie în punctul respectiv) este:

$$v_c = \sqrt{v_{cx}^2 + v_{cy}^2}. \quad (32)$$

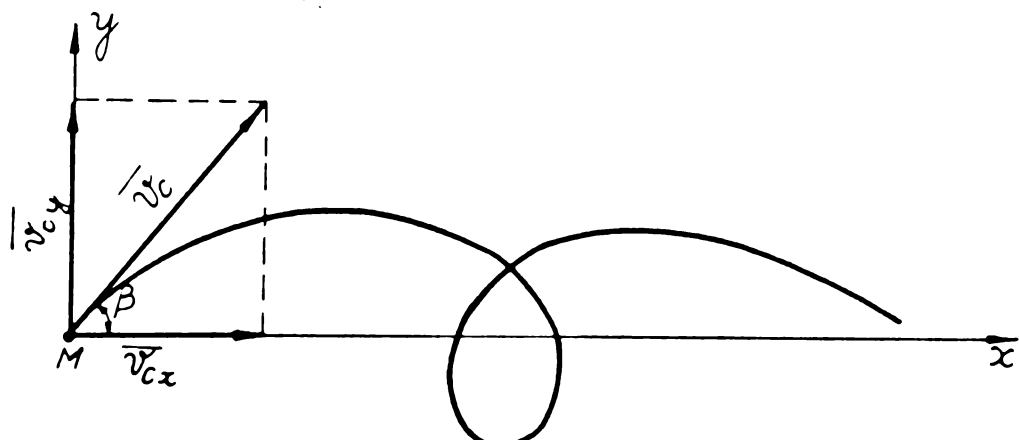


Fig.41 Componentele vitezei colțului

Pentru a studia variația componentelor  $v_{cx}$  și  $v_{cy}$  la o rotație completă a rotorului grapei, se consideră un triedru fix  $XOY$  de versori  $\vec{i}_1$  și  $\vec{j}_1$  și un triedru mobil, solidar legat cu discul  $xOy$ , de versori  $\vec{i}$  și  $\vec{j}$  (fig.42). În sistemul

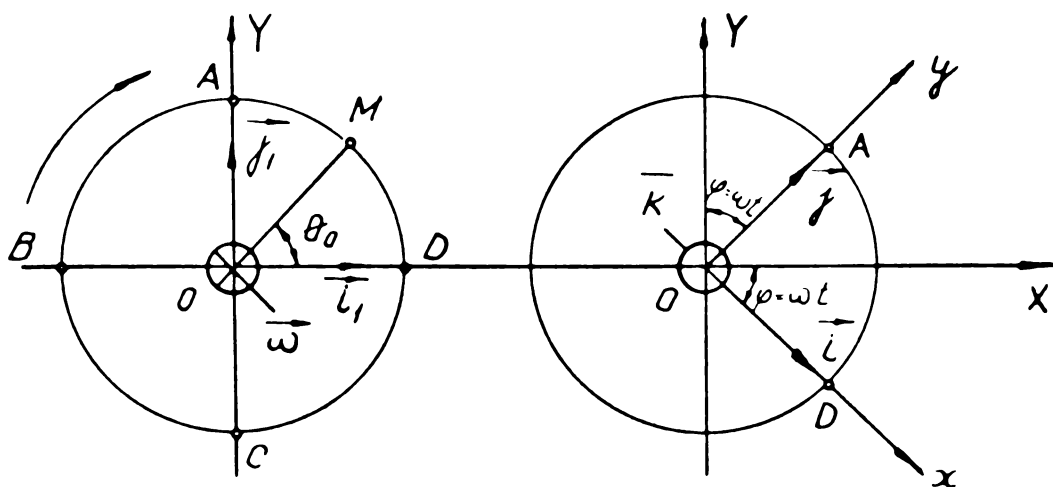


Fig.42 Schema explicativă a determinării variației componentelor  $v_{cx}$  și  $v_{cy}$

de coordonate  $XOY$ ,  $\varphi = \omega t$  reprezintă unghiul de rotație al rotorului grapei la momentul  $t$ , iar vectorul  $\vec{\omega}$  are direcția paralelă cu axa  $OZ$  și sensul opus versorului  $\vec{k}$ , adică  $\vec{\omega} = -\omega \vec{k}$ .

La momentul  $t = 0$ , cele două sisteme coincid. Legătura dintre cele două sisteme de referință (fig.43) este dată de

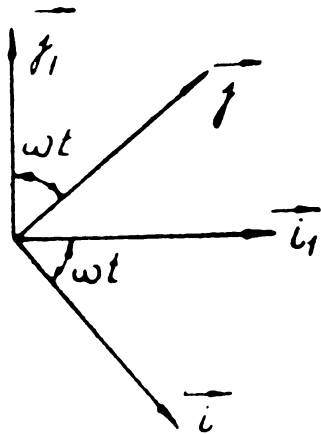


Fig.43 Legătura dintre cele două sisteme de referință

relațiile:

$$\left. \begin{aligned} \vec{i} &= \cos \omega t \cdot \vec{i}_1 - \sin \omega t \cdot \vec{j}_1 \\ \vec{j} &= \sin \omega t \cdot \vec{i}_1 + \cos \omega t \cdot \vec{j}_1 \end{aligned} \right\} \quad (33)$$

Fie un punct M (fig.42), determinat prin unghiul  $\theta_0 = \widehat{DOM}$ . Viteza absolută a acestui punct este:

$$\vec{v}_M = \vec{v}_m + \vec{\omega} \times \vec{OM}, \quad (34)$$

unde:

$$\begin{aligned} \vec{v}_m &= v_m \vec{i}_1 - \text{viteza de translație a discului (viteza maginii)}; \\ \vec{OM} &= r \cdot \cos \theta_0 \vec{i} + r \cdot \sin \theta_0 \vec{j}; \\ \vec{\omega} &= -\omega \vec{k}. \end{aligned}$$

Cele două sisteme având aceeași axă Oz,  $\vec{k} = \vec{k}_1$ .

Inlocuind în (34) pe  $\vec{v}_m$ ,  $\vec{OM}$  și  $\vec{\omega}$  cu valorile lor de mai sus, se obține:

$$\begin{aligned} \vec{v}_M &= v_m \vec{i}_1 + (-\omega \vec{k}) \times (r \cdot \cos \theta_0 \vec{i} + r \cdot \sin \theta_0 \vec{j}) = \\ &= v_m \vec{i}_1 - \omega r (\cos \theta_0 \vec{j} - \sin \theta_0 \vec{i}) = \\ &= v_m \vec{i} - \omega r \cdot \cos \theta_0 (\sin \omega t \cdot \vec{i}_1 + \cos \omega t \cdot \vec{j}_1) - \\ &\quad - \sin \theta_0 (\cos \omega t \cdot \vec{i}_1 - \sin \omega t \cdot \vec{j}_1) = \\ &= v_m \vec{i} - \omega r [(\sin \omega t \cdot \cos \theta_0 - \cos \omega t \cdot \sin \theta_0) \vec{i}_1 + \\ &\quad + (\cos \omega t \cdot \cos \theta_0 + \sin \omega t \cdot \sin \theta_0) \vec{j}_1] = \\ &= v_m \vec{i} - \omega r [\sin(\omega t - \theta_0) \vec{i}_1 + \cos(\omega t - \theta_0) \vec{j}_1] \end{aligned}$$

Deci:

$$\vec{v}_M = [v_m - \omega r \sin(\omega t - \theta_0)] \vec{i}_1 + \omega r \cos(\omega t - \theta_0) \vec{j}_1 \quad (35)$$

Viteza punctului M are, pe axe fixe, următoarele proiecții:

$$\left. \begin{array}{l} v_x = v_m - \omega r \sin(\omega t - \theta_0) \\ v_y = \omega r \cos(\omega t - \theta_0) \end{array} \right\} \quad (36)$$

Valoarea absolută a vitezei este deci:

$$v_M = \sqrt{v_m^2 + \omega^2 r^2 - 2v_m \cdot \omega r \cdot \sin(\omega t - \theta_0)}, \quad (37)$$

sau, înlocuind pe  $\omega t$  prin  $\varphi$ :

$$\left. \begin{array}{l} v_x = v_m - \omega r \sin(\varphi - \theta_0) \\ v_y = \omega r \cos(\varphi - \theta_0), \end{array} \right\} \quad (37')$$

$$v_M = \sqrt{v_m^2 + \omega^2 r^2 - 2v_m \cdot \omega r \cdot \sin(\varphi - \theta_0)}.$$

Particularizând pe M în colțul A, avem componentele vitezei  $v_c$  a colțului:

$$\begin{aligned} v_{cx} &= v_m - \omega r \sin\left(\varphi - \frac{\pi}{2}\right) = v_m + \omega r \sin\left(\frac{\pi}{2} - \varphi\right) = \\ &= v_m + \omega r \cos \varphi; \\ v_{cy} &= \omega r \cos\left(\varphi - \frac{\pi}{2}\right) = \omega r \cos\left(\frac{\pi}{2} - \varphi\right) = \\ &= \omega r \sin \varphi, \end{aligned}$$

de unde:

$$v_c = \sqrt{v_m^2 + \omega^2 r^2 + 2v_m \cdot \omega r \cos \varphi},$$

și cum

$$\frac{\omega r}{v_m} = \lambda,$$

$$\begin{aligned} v_c &= \sqrt{v_m^2 \left(1 + \frac{\omega^2 r^2}{v_m^2} + 2 \frac{\omega r}{v_m} \cos \varphi\right)} = \\ &= v_m \sqrt{1 + \lambda^2 + 2 \lambda \cos \varphi}. \end{aligned} \quad (38)$$

Intrucit mărimea  $v_c$  nu se exprimă rational, trebuie să fie făcute considerațiile necesare numai pe componentele ei:

$$\left. \begin{array}{l} v_{cx} = v_m + \omega r \cdot \cos \varphi \\ v_{cy} = \omega r \cdot \sin \varphi \end{array} \right\} \quad (39)$$

De altfel, intereseză numai componente  $v_{cx}$ , întrucit de valoarea ei depinde forță de rezistență la înaintare a agregatului.

Reprezentarea grafică a variației componentelor  $v_{cx}$  și  $v_{cy}$  este arătată în figurile 44 și 45. Este necesar să se sublinieze că mărimele  $v_m$  și  $\omega r$  trebuie comparate, întrucit:

- dacă  $v_m > \omega r$ , graficul arată ca în fig. 44;
- dacă  $v_m < \omega r$ , graficul tăie axa  $O\varphi$ .

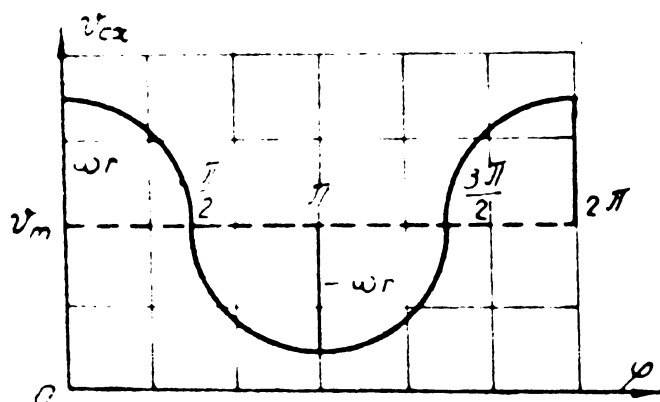


Fig.44 Variația lui  $v_{cx}$  la o rotație a rotorului grapei

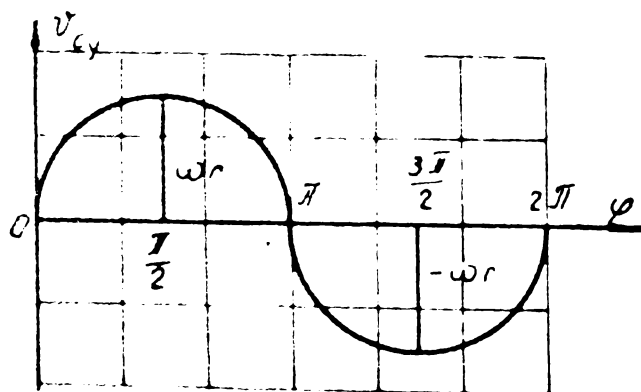
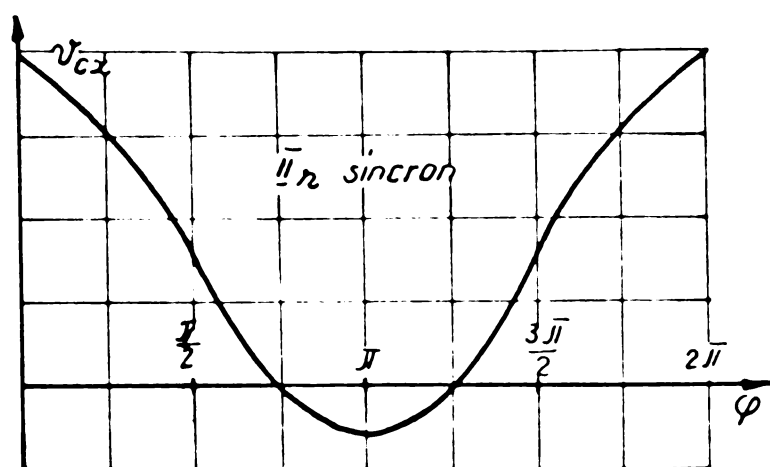
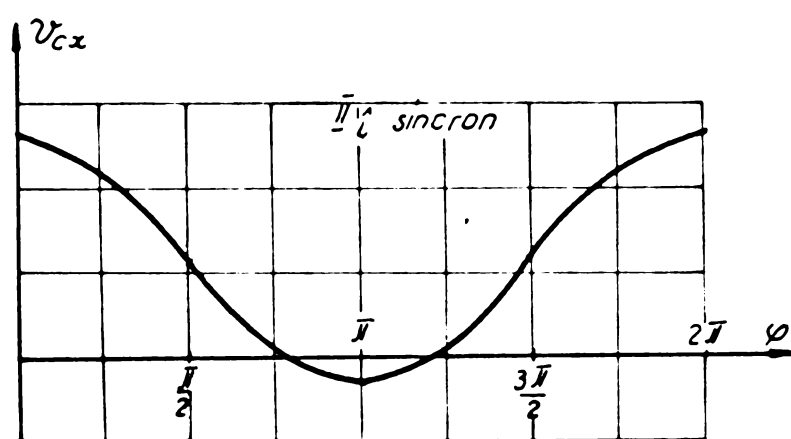
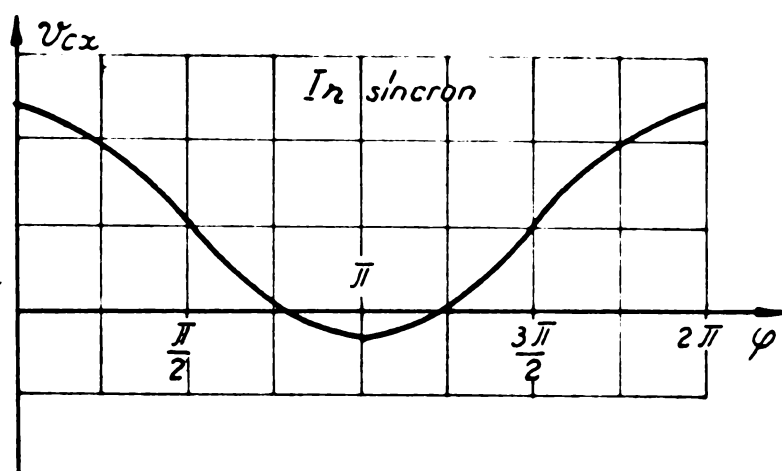
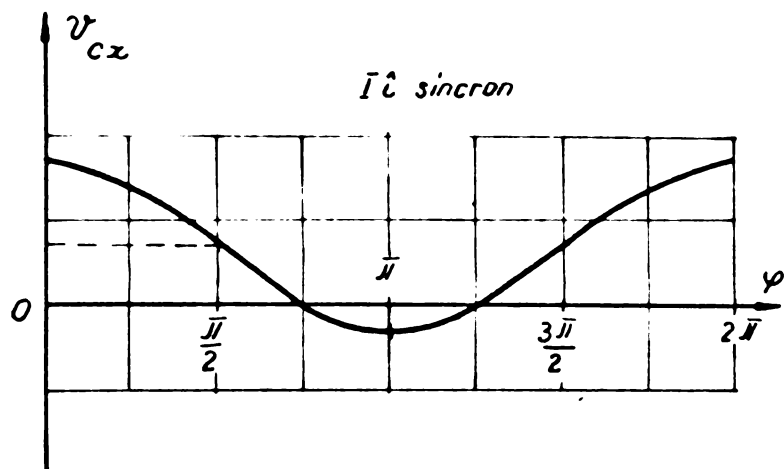
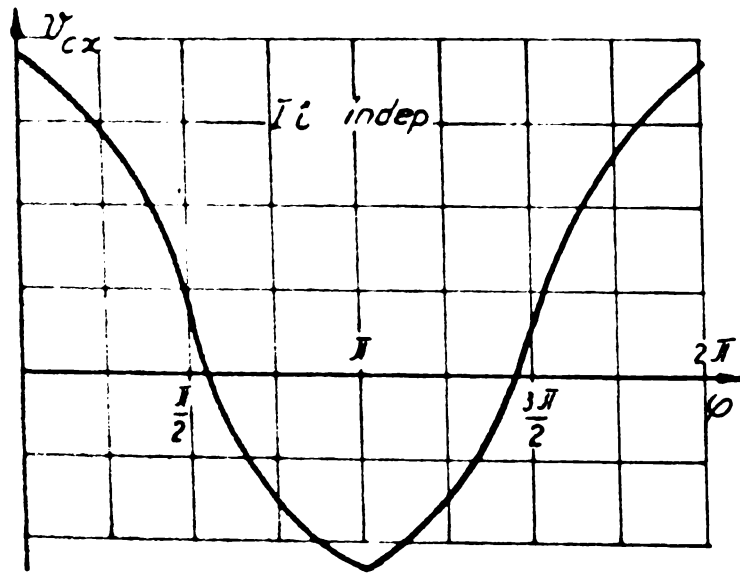
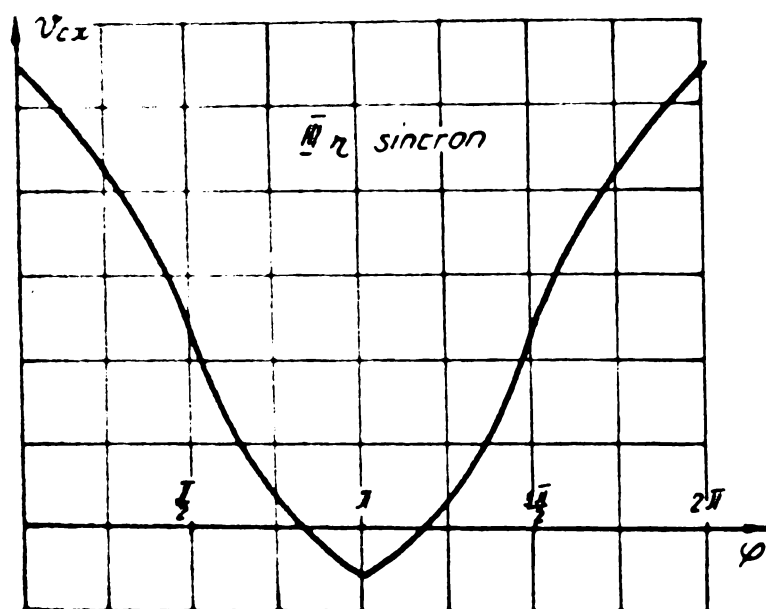
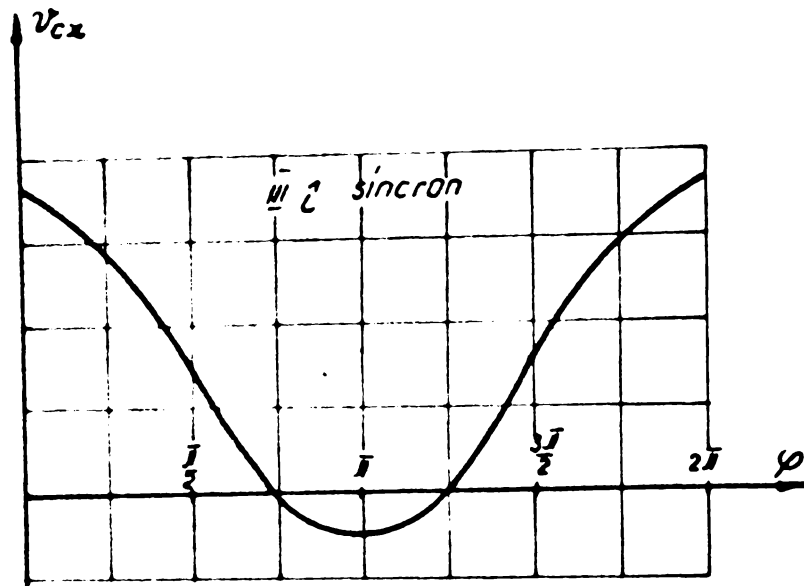
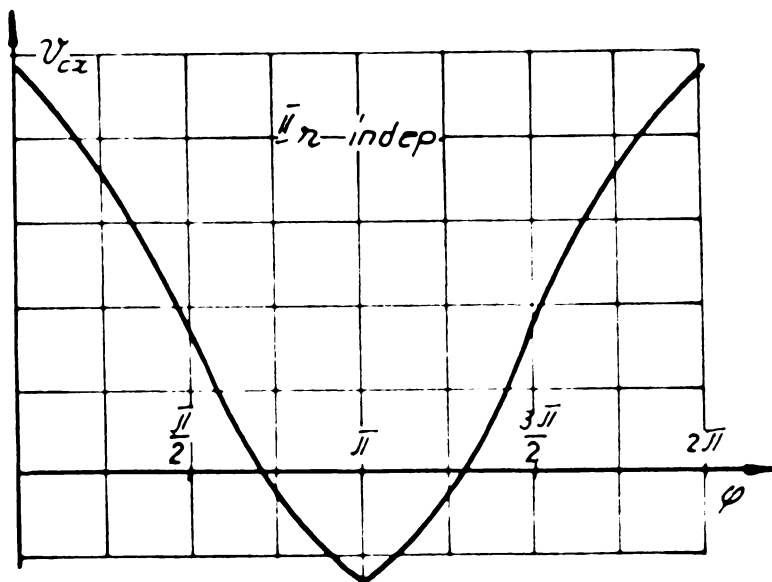
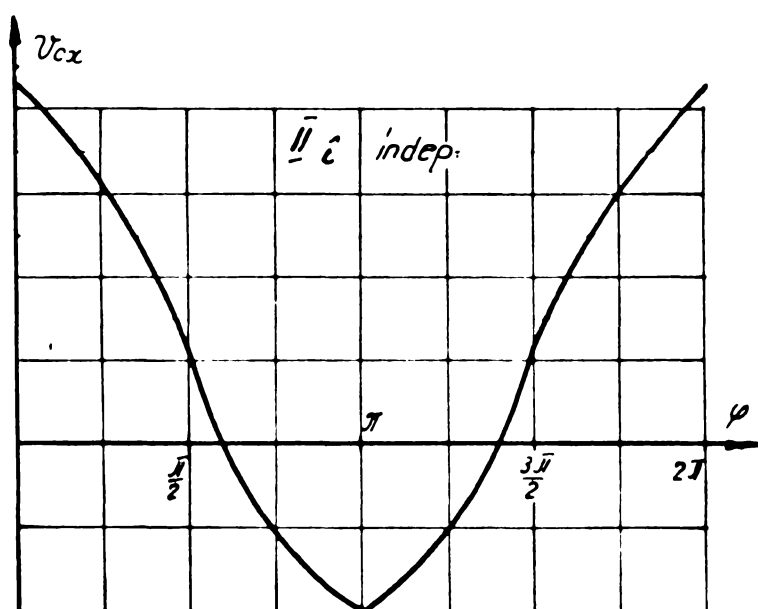
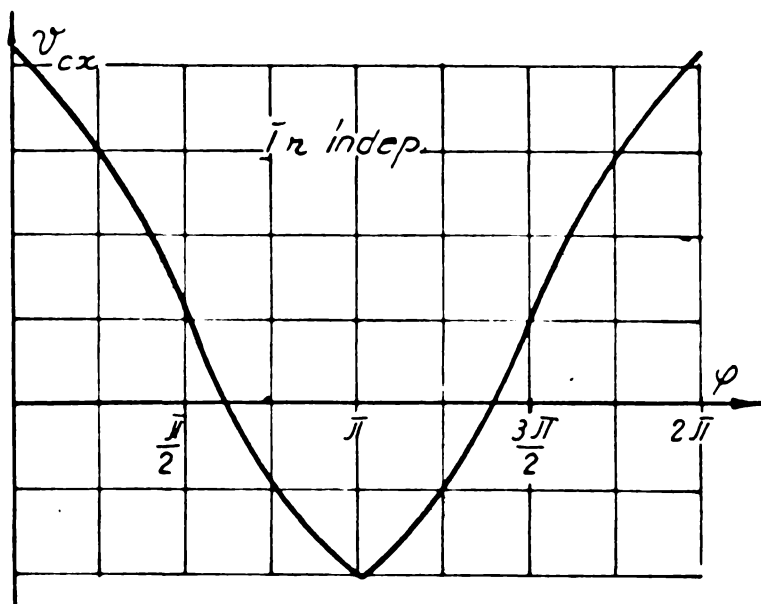


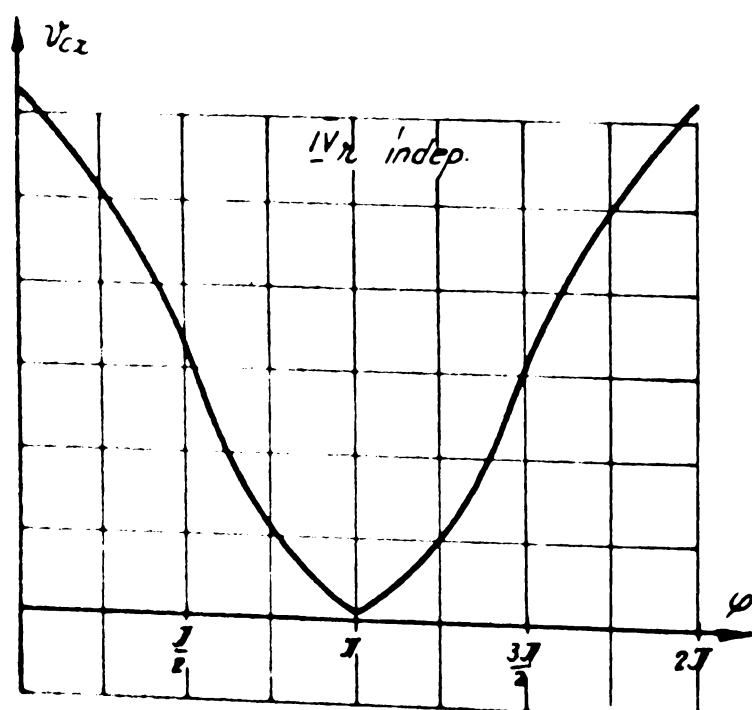
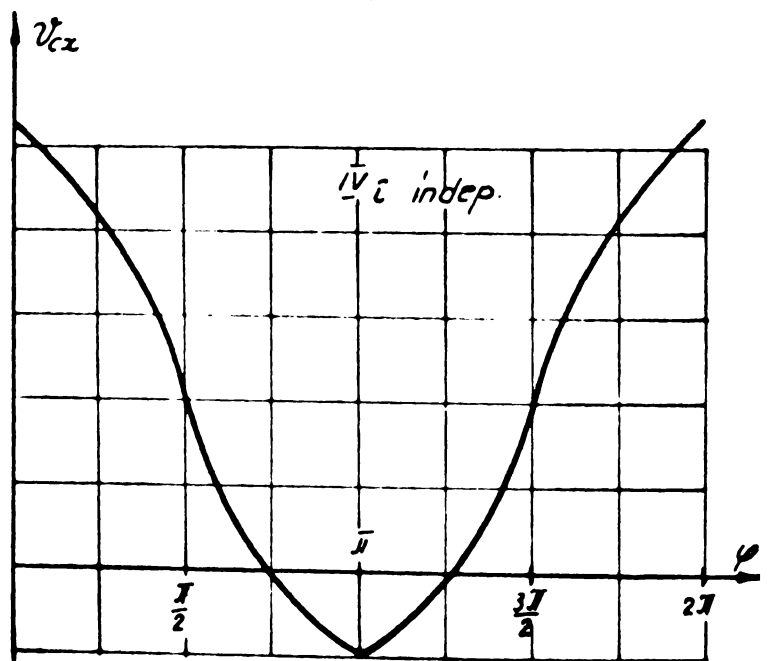
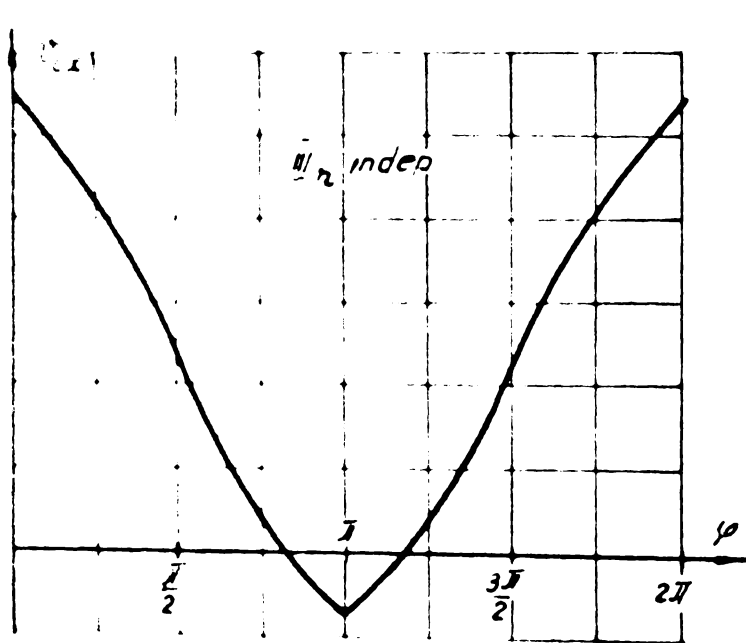
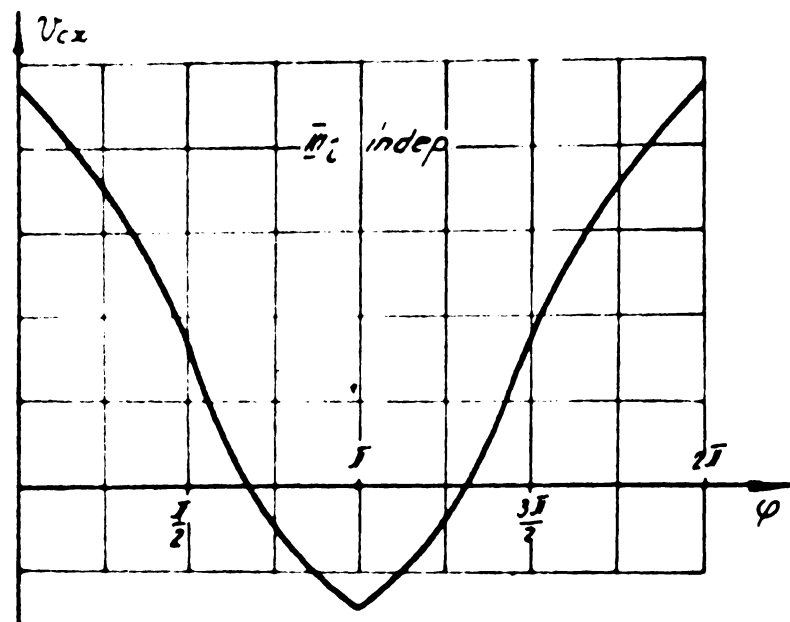
Fig.45 Variația lui  $v_{cy}$  la o rotație a rotorului grapei

În cazul concret al combinatorului prezentat,  $v_m < \omega r$  (tabelul 5), cu excepția vitezei a IV-a rapidă (priza de putere independentă), cind cele două mărimi sunt sensibil egale,









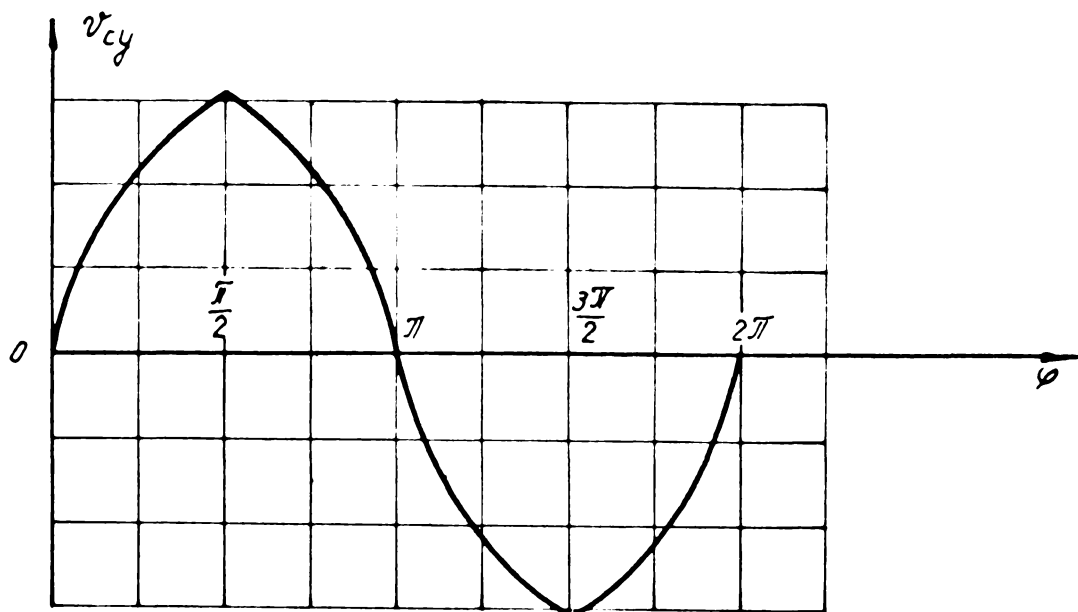


Fig. 46 Reprezentarea grafică a variației lui  $v_{cx}$ , în diferite trepte de viteză teoretice și a lui  $v_{cy}$  (pentru treapta a II-a rapidă - priza de putere independentă)

șă cum reiese din reprezentările date în fig. 46. Viteza absolută a colțului  $v_c$  poate fi determinată și prin metoda grafică, construindu-se hodograful vitezelor, care dă informații imediate atât în privința modulului vitezei cât și în privința direcției și sensului acesteia, la orice moment.

Hodograful (fig. 47) se construiește luându-se un cerc de rază egală cu raza rotorului grapei (la scară); se figurează sensurile de înaintare și de rotație și, pe semicercul îndreptat spre sensul de înaintare, se duce un număr de puncte echidistante  $k_0, \dots, k_6$ . Tinând seama de sensurile de înaintare și de rotație ale rotorului grapei, în punctele  $k_0$  și  $k_6$ , vom trasa vectorii  $\vec{v}_{k_0}$  și  $\vec{v}_{k_6}$  de mărime:

$$v_{k_0} = v_m + v_p = R \left( \frac{1}{\lambda} + 1 \right) \quad \text{și}$$

$$v_{k_6} = v_m - v_p = R \left( \frac{1}{\lambda} - 1 \right) ,$$

a căror direcție este paralelă cu direcția de lucru și al căror sens este dictat de semn.

Unind expresiile  $n_0$  și  $n_6$  ale acestor doi vectori se obține un segment de dreaptă care taie diametrul vertical al cercului de rază  $R$  în punctul  $O_1$ , iar diametrul orizontal

(sau prelungirea acestuia) în punctul  $O_2$ . Din punctul  $O_2$  se trasează cercul de rază

$$\rho = \frac{|\overline{n_0 n_6}|}{2}$$

Din centrul  $O_1$  (centrul instantaneu al vitezelor) se duc segmentele de dreaptă  $O_1 k_i$ , unde  $k_i$  este punctul în care ne intereseză să aflăm viteză, iar perpendicularele pe  $O_1 k_i$  vor tăia cercul cu centrul  $O_2$  în punctele  $n_i$ , rezultând astfel segmentele de dreaptă orientate  $k_i \overrightarrow{n_i}$ , care au lungimea egală cu modulul vitezei, iar direcția și sensul identice cu direcția și sensul colțului în punctul  $k_i$ . Fiecarei trepte de viteză, de sigur, îi corespunde un anumit hodograf.

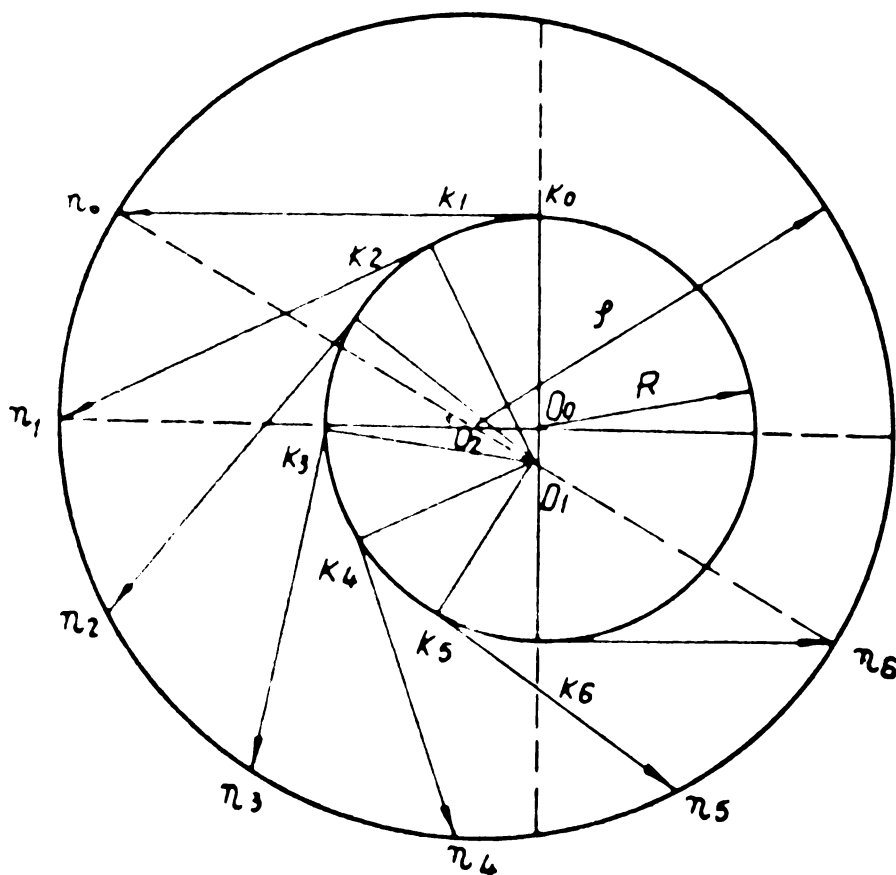


Fig.47. Construirea hodografului vitezei colțului de grădă -  $v_c$ .

#### - Accelerarea colțului de grădă -

Pornind de la (35) se poate scrie:

$$\begin{aligned}\vec{a}_M &= -\omega^2 r \cdot \cos(\omega t - \theta_0) \vec{i}_1 - \omega^2 r \cdot \sin(\omega t - \theta_0) \vec{j}_1 = \\ &= -\omega^2 r [\cos(\omega t - \theta_0) \vec{i}_1 - \sin(\omega t - \theta_0) \vec{j}_1]\end{aligned}\quad (40)$$

și care, ca și viteză, are două componente:

$$\vec{a}_M = \vec{a}_{i_1} + \vec{a}_{j_1}, \quad (41)$$

componente ale căror valori sunt:

$$\left. \begin{aligned}\vec{a}_{i_1} &= -\omega^2 r \cdot \cos(\omega t - \theta_0) \vec{i}_1 \\ \vec{a}_{j_1} &= -\omega^2 r \cdot \sin(\omega t - \theta_0) \vec{j}_1.\end{aligned}\right\} \quad (42)$$

Particularizând punctul M în colțul A, adică:

$$\theta_0 = \frac{\pi}{2} \text{ și } \varphi = \omega t,$$

se obțin:

$$\left. \begin{aligned}a_x &= -\omega^2 r \cdot \cos\left(\varphi - \frac{\pi}{2}\right) = -\omega^2 r \cdot \sin \varphi \\ a_y &= -\omega^2 r \cdot \sin\left(\varphi - \frac{\pi}{2}\right) = \omega^2 r \cdot \cos \varphi.\end{aligned}\right\} \quad (42')$$

In fig. 48 este înfăștată variația celor două componente ale accelerării colțului, în funcție de unghiul de rotație al rotorului  $\varphi$ . Perioada este aceeași la ambele componente și pentru toate treptele de viteză, deosebirea - de la o treaptă la alta - constă în amplitudine care este direct

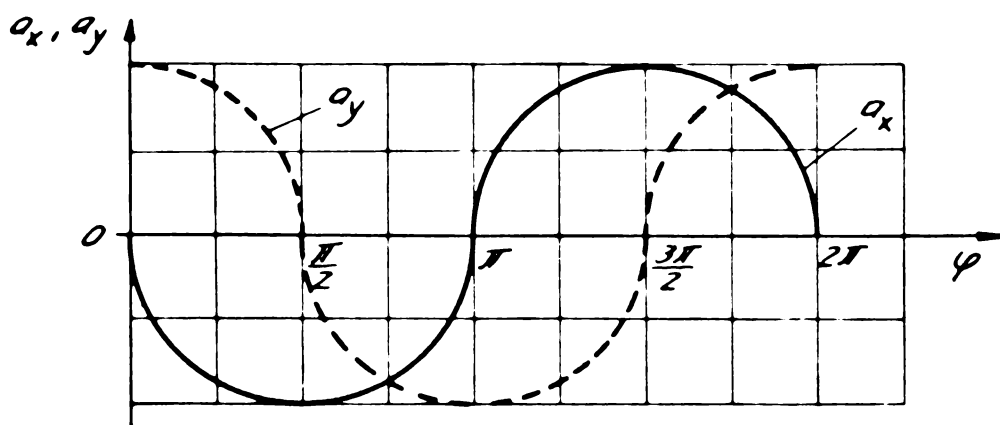


Fig.48 Variația componentelor accelerării colțului cu unghiul de rotație

proporțională cu pătratul vitezei unghiulare.

O reprezentare mai sugestivă este cea în funcție de timp. În acest caz, deosebirea apare atât în ceea ce privește amplitudinea cât și în ceea ce privește perioada. În fig. 49 se ilustrează cele arătate, prin reprezentarea variației componentelor accelerării pentru o treaptă - oricare - în cazul folosirii prizei de putere independentă și a variației respective

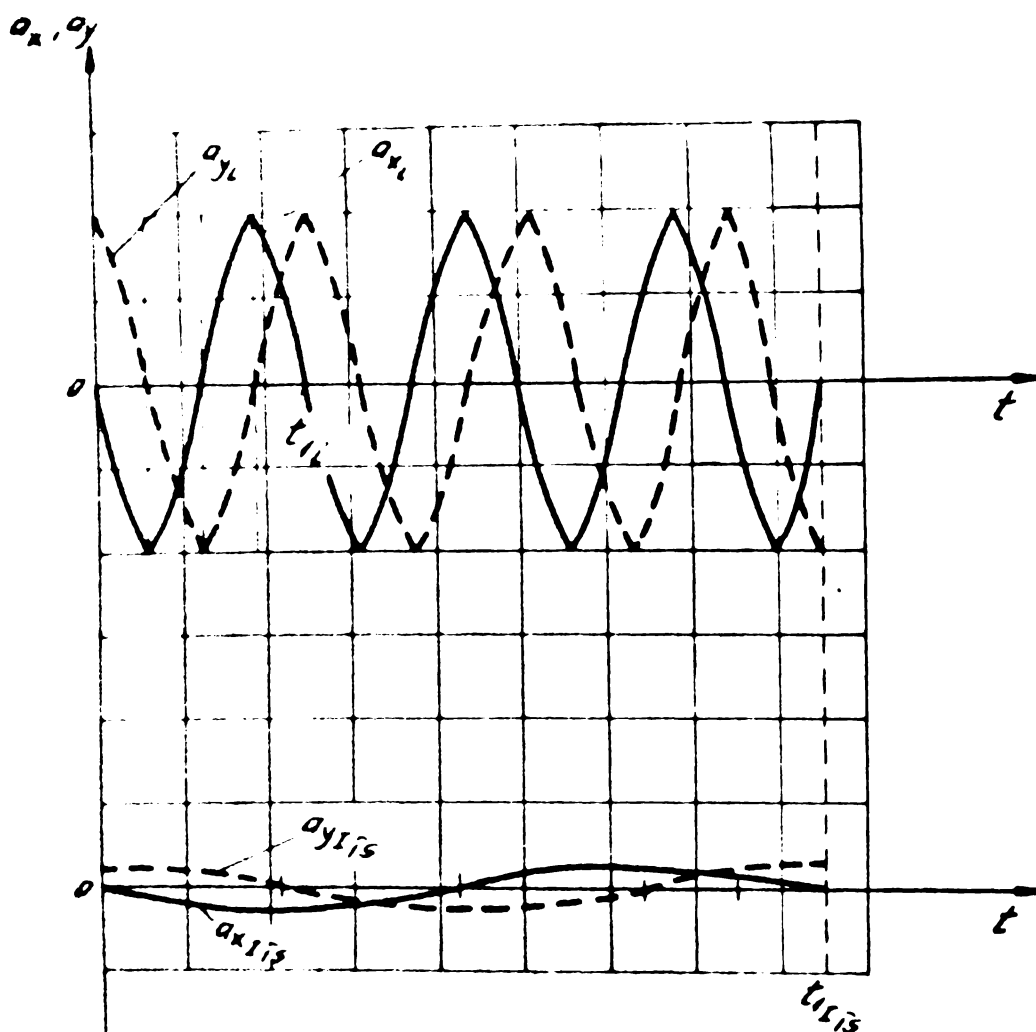


Fig.49 Variația componentelor accelerării colțului cu timpul

pentru treapta  $I_{1s}$ . Reprezentarea este făcută pentru timpul  $t_{1I_{1s}}$ , care, așa cum s-a arătat mai înainte (pag.50), este timpul necesar rotorului de grădini spre a efectua o tură completă. După cum se observă, în acest timp, componentele accelerării colțului, la folosirea oricărei trepte de viteză, cu priză independentă, variază de-a lungul a circa 3,5 perioade. Totodată, diferența de amplitudine este foarte ușor de sesizat.

Acceleratia unui punct carecare -P- de pe colțul A este dată de relația:

$$a_p = \sqrt{a_x^2 + a_y^2} = \sqrt{\omega^4 r^2 \cdot \sin^2 \varphi + \omega^4 r^2 \cdot \cos^2 \varphi} = \omega^2 r, \quad (43)$$

relație din care se poate observa că valoarea absolută a accelerării este de natură unei accelerări normale.

In concluzie, la funcționarea grapei rotative va exista contactul colț - particule de sol, cel puțin o perioadă, timp în care componenta tangențială a accelerării este nulă. Particulele nu vor fi deci aruncate de către colți în momentul contactului cu aceștia, ci vor fi sfărimate în spațiul dintre suprafața activă a colților și particulele de sol vecine.

- Spatiul parcurs de colț într-o perioadă de rotație

Deoarece mișcarea colților este periodică, de perioadă egală cu perioada de rotație a rotorului, interesează numai spațiul parcurs într-o perioadă de rotație a rotorului grapei  $T_j$ , specifică fiecărei trepte de viteză și care se poate calcula cu relația generală:

$$s_j = \int_0^{T_j} v_{cj} \cdot dt, \quad (44)$$

în care:

$T_j$  - perioada de rotație specifică treptei de viteză folosite;

$s_j$  - spațiul corespunzător lui  $T_j$ ;

$v_{cj} = v_m j \sqrt{1 + \lambda_j^2 + 2\lambda_j \cos \omega_j t}$  - viteza colțului corespunzător treptei de viteză în care se lucrează.

Să particularizează problema, făcind pe  $\omega_j t = \varphi_j$  și integrarea se va face în funcție de unghiul descris de colț, astfel că:

$$s_j = v_m j \int_0^{T_j} \sqrt{1 + \lambda_j^2 + 2\lambda_j \cos \omega_j t} \cdot dt \quad (45)$$

va trece în:

$$s_j = \frac{v_m j}{\omega_j} \int_0^{2\pi} \sqrt{1 + \lambda_j^2 + 2\lambda_j \cos \varphi_j} \cdot d\varphi, \quad (45')$$

sau:

$$s_j = \frac{r}{\lambda_j} \int_0^{2\pi} \sqrt{1 + \lambda_j^2 + 2\lambda_j \cos \varphi_j} d\varphi_j . \quad (46)$$

Deoarece funcția de integrat nu admite o primitivă exprimată printr-un număr finit de funcții elementare, se va folosi metoda Simpson de rezolvare aproximativă a integralei  $I_j$ .

Conform metodei respective:

$$\int_a^b f(x) dx \approx \frac{h}{3} (y_0 + 4y_1 + 2y_2 + 4y_3 + \dots + 2y_{n-2} + \\ + 4y_{n-1} + y_n) , \quad (47)$$

unde:

$$h = \frac{b-a}{n} ; n - \text{numărul de intervale în care se imparte } [a, b] ;$$

$$y_i = f(x_i); i = 0; 1; 2; \dots; n.$$

Cu acestea:

$$\int_0^{2\pi} \sqrt{1 + \lambda_j^2 + 2\lambda_j \cos \varphi_j} d\varphi_j = I_j,$$

iar  $s_j$  va fi:

$$s_j = \frac{r}{\lambda_j} I_j. \quad (48)$$

Pentru fiecare treaptă de viteză se va calcula valoarea integralei  $I_j$ , făcind:

$$n = 8; h = \frac{2\pi}{8} = \frac{\pi}{4} \text{ și } r_j(\varphi) = \sqrt{1 + \lambda_j^2 + 2\lambda_j \cos \varphi_j} ,$$

astfel încât:

$$I_j = \frac{\pi}{12} \left[ 2|\lambda_j + 1| + 2|\lambda_j - 1| + 4\sqrt{1 + \lambda_j^2} + \\ + 8\sqrt{1 + \lambda_j^2 + \lambda_j \sqrt{2}} + 8\sqrt{1 + \lambda_j^2 - \lambda_j \sqrt{2}} \right] \quad (49)$$

Eroarea rezultată, notată cu  $R_s(f)$  va fi, în valoare absolută:

$$|R_s(f)| \leq \frac{(b-a)^5}{2880 n^4} M_4, \quad (50)$$

unde:

$M_4$  - maximumul valorii absolute a derivării de ordinul IV al funcției  $f_j(\varphi)$ , adică

$$f_j^{IV}(\varphi) \leq M_4.$$

Tabelul 8 Valorile lui  $s_j$ , funcție de  $\lambda_j$  și  $I_j$  și ale lui  $r$ .

Treapta	Priză de putere	$I_f$	$I_r$	$II_f$	$II_r$	$III_f$	$III_r$	$IV_f$	$IV_r$
$\lambda_j$	s			constant	1,3				
	i	4,35	2,93	2,7	1,82	1,94	1,3	1,46	0,98
$\lambda_j + 1$	s			constant	2,3				
	i	5,35	3,93	3,7	2,82	2,94	2,3	2,46	1,98
$ \lambda_j - 1 $	s			constant	0,3				
	i	3,35	1,93	1,7	0,82	0,94	0,3	0,46	0,02
$\sqrt{1 + \lambda_j^2}$	s			constant	1,64				
	i	4,46	3,1	2,88	2,1	2,18	1,64	1,77	1,4
$\sqrt{1 + \lambda_j^2 + \lambda_j \sqrt{2}}$	s			constant	2,13				
	i	5,1	3,7	3,47	2,62	2,74	2,13	2,27	1,82
$\sqrt{1 + \lambda_j^2 - \lambda_j \sqrt{2}}$	s			constant	0,93				
	i	3,71	2,33	2,12	1,32	1,42	0,93	0,96	0,76
$A_j = I_j \frac{12}{\pi}$	s			constant	36,24				
	i	105,72	72,36	67,04	47,2	49,76	36,24	38,76	30,32
$I_j$	s			constant	9,42				
	i	27,48	18,81	17,43	12,27	12,94	9,42	10,1	7,88
$s_j = \frac{r}{\lambda_j} I_j$	s			constant	1,81				
	i	1,58	1,6	1,61	1,68	1,67	1,81	1,73	2
$s_j^1$	s			constant	1,2				
	i	0,36	0,53	0,58	0,86	0,8	1,19	1,07	1,58
$r = \frac{s_j}{s_j^1}$	s			constant	1,5				
	i	4,4	3	2,8	2	2,1	1,5	1,6	1,3

In tabelul 8 sunt date valorile spațiului  $s_j$ , parcurs de un colț la o rotație completă a rotorului grapei, în funcție de  $\lambda_j$  și de  $I_j$ , precum și valorile termenilor din relația lui  $I_j$  (49), pentru toate treptele de viteză la folosirea ambelor

prize de putere.

Pe ultima linie a tabelului 8 sunt prezentate valorile gradului de mărunțire a solului ( $\Gamma$ ), care reprezintă raportul dintre spațiile  $s_j$  și  $s_j^1$  parcursă de colț și respectiv de agregat într-o perioadă, iar în fig. 50 este reprezentată variația gradului de prelucrare cu treapta de viteză folosită, la utilizarea prizelor de putere independentă și sincronă.

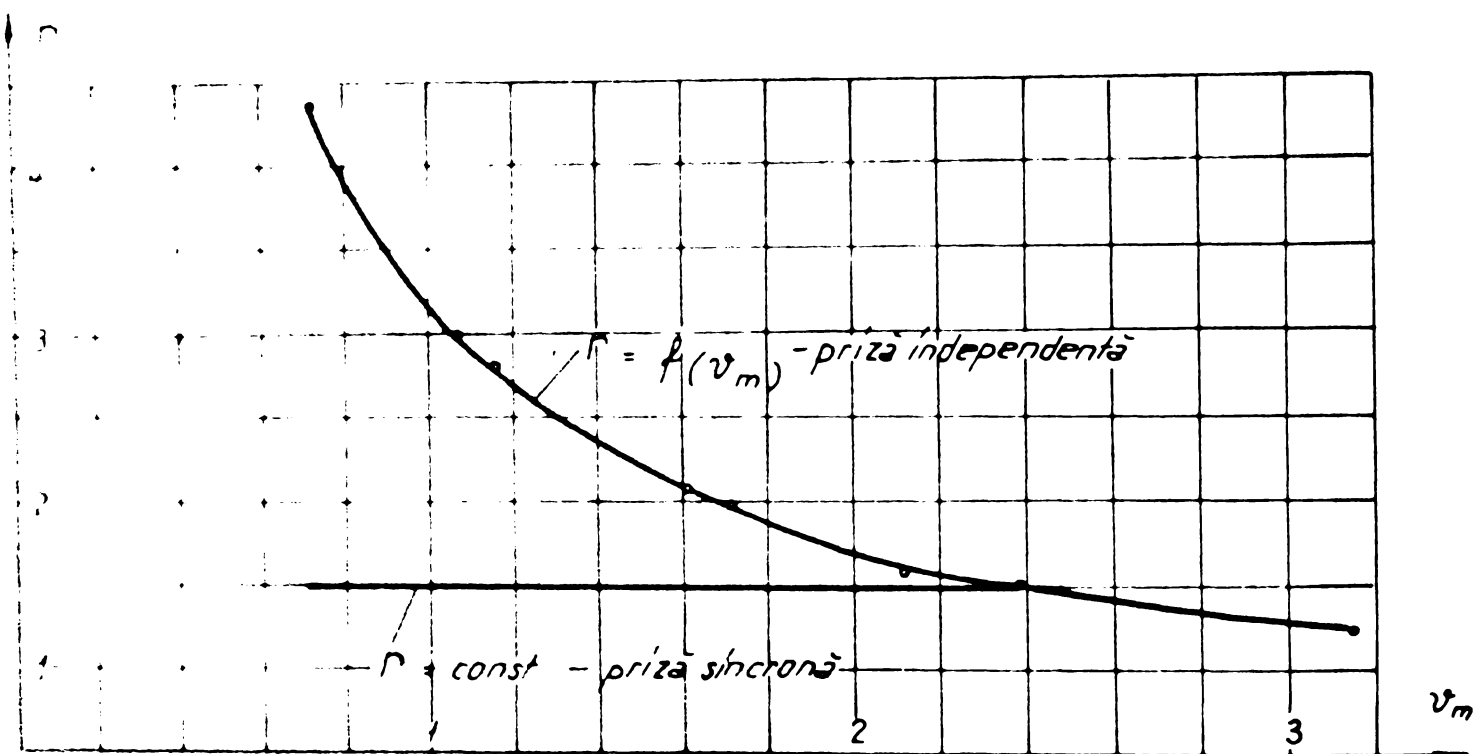


Fig.50 Variația gradului de mărunțire  $\Gamma$  cu viteza de lucru

### 1.1.2. Dinamica colțului; rezistența la înaintare a colțului grapei

Cind un punct material se deplasează într-un mediu rezistent, rezistența opusă la înaintare este de forma:

$$\vec{R} = -\varPhi(v) \cdot \frac{\vec{v}}{v} = -\varPhi(v) \text{ versor } \vec{v},$$

dici are sens opus vitezei și are mărimea dată de funcția  $\varPhi(v)$ . Aceasta este o funcție nenegativă (dacă ar fi negativă,  $R$  ar ajuta deplasarea, nu i se ar opune) și este crescătoare cu  $v$ .

In funcție de mediu, se dă în literatură diferite expresii pentru  $\varPhi(v)$ , ca:

$$\varPhi(v) = \alpha v, \quad \alpha > 0$$

$$\varPhi(v) = \alpha v^2,$$

$$\varPhi(v) = P(v), \quad P(v) \text{ fiind un polinom în } v \text{ etc}$$

Mergindu-se pe un  $\varphi(v)$  oarecare, aşa cum s-a văzut mai înainte:

$$\vec{R} = -\varphi(v) \text{ versor } \vec{v},$$

adică:

$$\vec{R} = \frac{\varphi(v)}{|v|} \left\{ [\omega r \cdot \sin(\omega t - \theta_0) - v_m] \vec{i}_1 - \omega r \cdot \cos(\omega t - \theta_0) \vec{j}_1 \right\}, \quad (51)$$

ale cărei componente sunt:

$$\begin{aligned} R_x &= \frac{\varphi(v)}{v} [\omega r \cdot \sin(\omega t - \theta_0) - v_m] \\ R_y &= -\frac{\varphi(v)}{v} \omega r \cdot \cos(\omega t - \theta_0). \end{aligned} \quad (52)$$

Dacă se ia cea mai simplă formă a rezistenței:

$$\vec{R} = -\alpha v \quad \text{cu} \quad \alpha > 0$$

(adică se ia  $\varphi(v) = \alpha v$ ) atunci:

$$\begin{aligned} R_x &= \alpha [\omega r \cdot \sin(\omega t - \theta_0) - v_m] \\ R_y &= -\alpha \omega r \cdot \cos(\omega t - \theta_0), \end{aligned} \quad (53)$$

și variațiile lor sunt evidente, adică, pentru colțul A:

$$\begin{aligned} R_x &= -\alpha (v_m + \omega r \cdot \cos \varphi) \\ R_y &= -\alpha \omega r \cdot \sin \varphi, \end{aligned} \quad (54)$$

semnul indicând aici sensul lor față de sensul vitezei.

Reprezentarea grafică a variației componentelor  $R_x$  și  $R_y$  este prezentată în figurile 51 și 52, făcindu-se observația că graficul lui  $R_x$  (ca și al lui  $v_{cx}$ ) taie sau nu axa  $O\varphi$  în funcție de raportul în care se găsesc cele două viteze  $v_m$  și  $\omega r$ . După cum se vede, alura celor două curbe este asemănătoare cu alura curbelor de variație a componentelor vitezelor colțului.

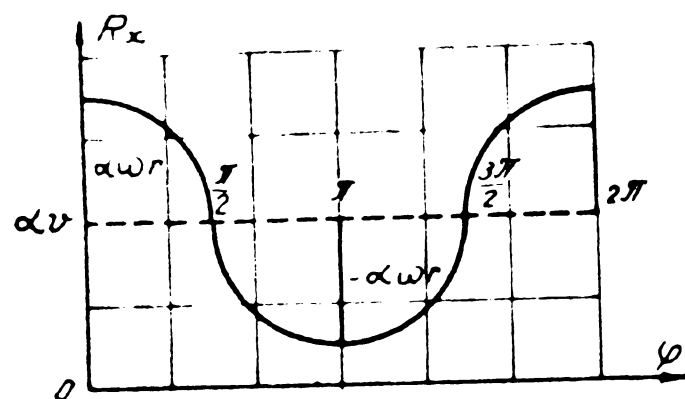


Fig.51 Variatia componentei  $R_x$  la o rotatie completa a grapei

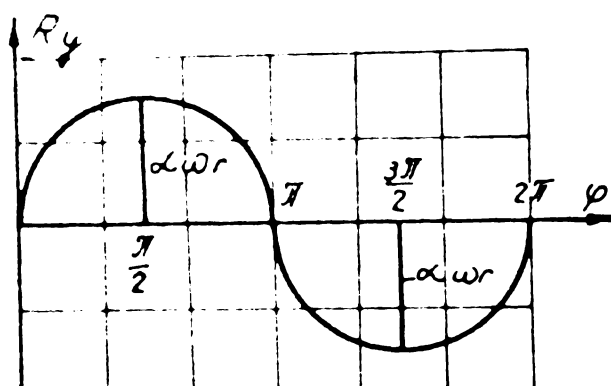


Fig.52 Variatia componentei  $R_y$  la o rotatie completa a grapei

Pentru un  $\Phi(v)$  oricare, expresiile componentelor colțului A [se face in (52)  $\theta_0 = \frac{\pi}{2}$ ] sint:

$$\left. \begin{aligned} R_x &= -\frac{\Phi(v)}{v} (\omega r \cos \varphi + v_m) \\ R_y &= -\frac{\Phi(v)}{v} \omega r \sin \varphi \end{aligned} \right\} \quad (55)$$

Intrucit nu se cunoaste forma functiei  $\Phi(v)$ , in continuare se stabileste o relatie accesibila pentru calcularea valorii practice a componentei  $R_x$ , care ne intereseaza. Astfel, dacă în cazul grapelor cu colți neacționați (grape tîrîte) se consideră:

- a - rezistența specifică a grapei [N/m] și
- b - lățimea de lucru a unui colț [m] (fig.53), atunci rezistența la înaintare a grapei este:

$$R = k \cdot b \quad [N] \quad (56)$$

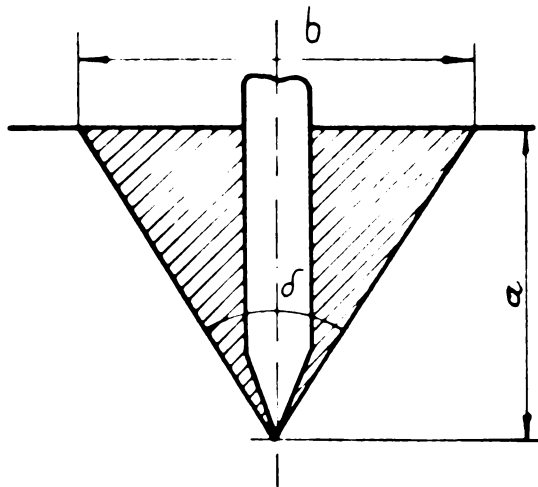


Fig.53 Secțiune transversală în „urma” lăsată de colț în sol

In cazul grapei cu colți acționați însă, apare, în plus, o rezistență datorată antrenării, de către colții în mișcare, a stratului de sol, care poate fi determinată cu relația:

$$R_x = \frac{dm}{dt} \cdot v_s , \quad [N] \quad (57)$$

în care:

$\frac{dm}{dt}$  - variația masei de sol antrenate, în unitatea de timp  $[kg/s]$  ;

$v_s$  - viteza stratului de sol antrenat.  $[m/s]$  .

Dar:

$$\frac{dm}{dt} = \frac{1}{2} \rho ab v_s , \quad [kg/s] \quad (58)$$

unde:

$\rho$  - masa volumetrică a solului,  $[kg/m^3]$

și atunci:

$$R_x = \frac{1}{2} \rho ab v_s^2 . \quad [N] \quad (59)$$

Dacă se consideră că într-un interval de timp infinit mic  $- dt$  - viteza stratului de sol -  $v_s$  - este egală cu viteza colțului -  $v_c$  - a cărei valoare este cunoscută;

$$v_c = v_m \sqrt{1 + \lambda^2 + 2 \lambda \cos \varphi}$$

și a cărei componentă pe direcția de înaintare este:

$$v_{cx} = v_m (1 + \lambda \cos \varphi),$$

atunci, făcindu-se înlocuirile respective, se obține:

$$R_x = \frac{1}{2} \rho a b v_m^2 (1 + \lambda \cos \varphi)^2. \quad (60)$$

Rezistența medie a colțului de grăpa la o tură completă a rotorului este:

$$\begin{aligned} R_{xm} &= \frac{1}{2} \rho a b v_m^2 \frac{1}{2\pi} \int_0^{2\pi} (1 + \lambda \cos \varphi)^2 d\varphi = \\ &= \frac{1}{2} \rho a b v_m^2 \frac{1}{2\pi} \left[ \int_0^{2\pi} d\varphi + 2\lambda \int_0^{2\pi} \cos \varphi d\varphi + \lambda^2 \int_0^{2\pi} \cos^2 \varphi d\varphi \right] = \\ &= \frac{1}{2} \rho a b v_m^2 \frac{1}{2\pi} \left( \varphi \Big|_0^{2\pi} + 2\lambda \sin \varphi \Big|_0^{2\pi} + \lambda^2 \frac{1}{2} \varphi \Big|_0^{2\pi} + \frac{\lambda^2}{4} \sin 2\varphi \Big|_0^{2\pi} \right) = \\ &= \frac{1}{2} \rho a b v_m^2 \frac{1}{2\pi} (2\pi + \lambda^2 \pi) = \frac{1}{2} \rho a b v_m^2 \frac{1}{2\pi} \pi (\lambda^2 + 2) = \\ &= \frac{1}{4} \rho a b v_m^2 (\lambda^2 + 2). \end{aligned} \quad (61)$$

Rezistența totală medie a colțului grapei acționate va fi deci suma celor două rezistențe, adică;

$$\begin{aligned} R_{xc} &= R + R_{xm} = k_b + \frac{1}{4} \rho a b v_m^2 (\lambda^2 + 2) = \\ &= b \left[ k + \frac{1}{4} \rho a v_m^2 (\lambda^2 + 2) \right] = k_2 b, \end{aligned} \quad (62)$$

din care se vede că valoarea lui  $k_2$  este funcție și de indicații cinematice  $\lambda$  al grapei rotative.

### 1.2. Rezistență la înaintare a grapei rotative acționate

Aceasta se obține din relația:

$$R_{xt} = S \cdot z \cdot k_2 \cdot b, \quad [N] \quad (63)$$

în care:

$S$  - numărul rotoarelor grapei;

$z$  - numărul colților de pe rotor.

Pentru verificarea valabilității relațiilor teoretice obținute mai înainte, s-a recurs la ajutorul calculatorului elec-

tronice FELIX C-256 de la Centrul teritorial de calcul electronic din Craiova, realizindu-se tabelarea valorilor unei relații de forma:

$$R_2 = k_2 B = S \cdot z \cdot k + \frac{1}{4} \rho a B v_m^2 (\lambda^2 + 2) = 24 k + \frac{3}{4} \rho a v_m^2 (\lambda^2 + 2),$$

[■] (63')

relație, în care, așa cum se arăta:

$$S = \text{const.} = 6 \text{ [rotoare]};$$

$$z = \text{const.} = 4 \text{ [colțe/rotor]};$$

$$B = \text{const.} = 3 \text{ [m]};$$

$$k = 20; 21; \dots; 25 \text{ [N/colț]};$$

$$\rho = 800; 900; \dots; 1600 \text{ [kg/m}^3\text{]};$$

$$a = 0,07; 0,08; \dots; 0,11 \text{ [m]};$$

$$(v_m; \lambda) = (0,717; 4,35), (0,717; 1,3) - \text{viteza } I_f \text{ (i și s);}$$
$$(1,063; 2,93), (1,063; 1,3) - \text{viteza } I_r \text{ (i și s);}$$
$$(1,154; 2,7), (1,154; 1,3) - \text{viteza } II_f \text{ (i și s);}$$
$$(1,606; 1,94), (1,606; 1,3) - \text{viteza } III_f \text{ (i și s);}$$
$$(1,714; 1,82), (1,714; 1,3) - \text{viteza } II_r \text{ (i și s);}$$
$$(2,135; 1,46); - \text{viteza } IV_f \text{ (i);}$$
$$(2,375; 1,3) - \text{viteza } III_r \text{ (\lambda=1,3 pt. i și s);}$$
$$(3,16; 0,98); - \text{viteza } IV_r \text{ (i).}$$

Că urmare,  $k_2 B = R_2$  (sau  $R_{xt}$ ) reprezintă rezistența la înaintarea grupelor rotative acționate de la priza de putere, în N.

Se subliniază că s-a calculat această rezistență totală și nu rezistență specifică -  $k_2$  - deoarece astfel, comparația valorilor obținute pe calculator cu valorile experimentale se poate face direct.

Programul realizat, ca și schema logică de principiu a sa (fig. 54) sunt prezentate în continuare.

Din listing, pentru ceea ce interesează în continuare, s-au extras valorile necesare ale lui  $R_2$ , în vederea aprecierii variației valorilor în atenție. Astfel, după cum se

- FORTRAN 00.00

SCALA 28/11/77 10.32.13

- 76 -

```
1      DIMENSION VM (13),XL(13)
2      READ 4 , B
3      FORMAT (F2.0)
4      READ 2 ,(VM(I),I=1,13)*(XL(I),I=1,13)
5      FORMAT (13F5,3/13F4.2)
6      DO 1 I=20,25
7      DO 1 I1=8,16
8      DO 1 I2=7,11
9      DO 1 I3 =1,13
10     IRO=I1*100
11     A=0,01*I2
12     R2=24.*I+(I2*B*I1*VM(13)*VM(13)*(XL(13)*XL(13)+2))/4.
13     1      PRINT 3,I,IRO,VM(13),XL(13),R2
14     3      FORMAT(10X,'K=',12,5X,'R0=',I4,5X,'A=',F4.2,5X,'VM=',F8.3,5X,'LAM
15     DA=',F8.3,10X,'R2=',F8.3)
16     STOP
17     END
FORTRAN 00.00
SCALA 28/11/77 10.32.13
```

MODULE FAMILIA TYPE P LONGUEUR O<sup>2</sup>A0 (00928)

\*\*\*\*\* FIN DE COMPIRATION (PLUS HAUT NIVEAU D'ERREUR RENCONTRE = 0 10.32.22

00\*( SCOALA AN = GGGG PH = 0001 DATE = 28/11/77  
H : DEB = 1OH 32 M 01S H.FIN = 1OH 32M 26S TIME = 00000414  
LGP = 00043 MEM = 00011 LO= 000032 IN = 00019 OUT = 00000  
PR = 01 CR = 01

LINK

LINK STARTED LL LL LLL L L L L L L L L L L L L L L L L  
LINK 1 06 28/1 777 1OH 3M15

SEGMENT	FMDATA	NO	1	IMPLANTATION	0
MODULE	FMDATA			IMPLANTATION	60
MODULE	TDFSYSUT			IMPLANTATION	400
MODULE	TDFSYSIN			IMPLANTATION	470
MODULE	I% INIT			IMPLANTATION	4E8
MODULE	I% READ			IMPLANTATION	998
MODULE	I% IOI			IMPLANTATION	888
MODULE	I%ENDIUL			IMPLANTATION	088
MODULE	I%ITOR			IMPLANTATION	CBO
MODULE	I%PRINT			IMPLANTATION	CBO
MODULE	I%STOP			IMPLANTATION	F30
MODULE	I%ERR1			IMPLANTATION	1048
MODULE	STOPRUN			IMPLANTATION	1170
MODULE	I%ECARI			IMPLANTATION	11E0
MODULE	I%ORNA			IMPLANTATION	14DU
MODULE	5 *** 8			IMPLANTATION	2B20
MODULE	I%DONNEE			IMPLANTATION	2E88

LONGUEUR DU SEGMENT 2FOO

LINK 15.06.04 28/11777 10H33M6S

IMPLANT. APRES TRAITEMENT OPTION FMS

SEGMENT FMDATA NO 1 IMPLANTATION 0  
LONGUEUR DU SEGMENT 3BB8

LINK 15.06.04 28/11777 10H33M6S

ERREUR EN EDITION DE LIENS

ADRESSE DE LANCEMENT 240

LONGUEUR PLUS GRANDE BRANCHE 3BB8

LONGUEUR DU PROGRAMME EDITÉ 3BB8

PLUS HAUT NIVEAU D'ERREUR RENCONTRE N=0 (PAS D'ERREUR)

0026 SC02LA AN = GGGG PH = 0002 DATE = 28/11/77

H:DEB = 10H 32M 26S H.FIN = 10H 33M 21S TIME = 00000804

LAP = 00043 MEM = 00011 LO = 0000048 IN = 00000 OUT = 00000

PR = 01 CR = 01

RUN TIME : 90, NL: 524000

STARTED

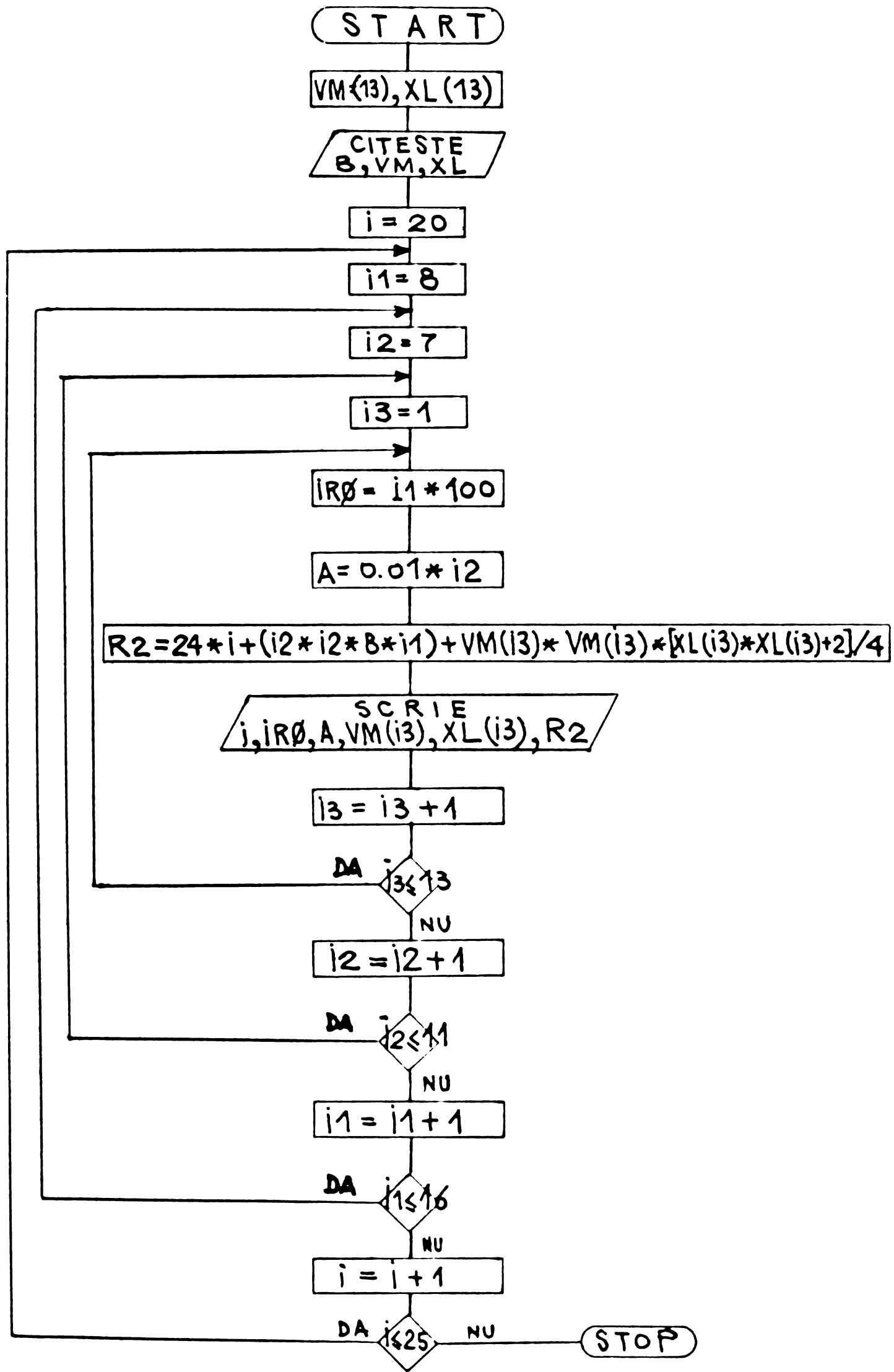


Fig.54 Schema logică de principiu a programului

poate vedea din tabelul 9, valorile lui  $R_2$  sunt crescătoare cu viteza de lucru. Se face observația că s-au extras din program valorile numai pentru adâncimea maximă de lucru a colților ( $0,11 \text{ m}$ ), pentru a se obține valorile maxime acoperitoare ale lui  $R_2$ .

Tabelul 9. Valorile lui  $R_2$ , funcție de viteză, priză și  $k$ .

Treapta	Viteza [m/s]	$\lambda$	$k$	$R_2$
$I_{1s}$	0,717	1,31	20	653
			21	677
			22	701
			23	725
			24	749
			25	773
$I_{11}$	0,717	4,35	20	1456
			21	1480
			22	1504
			23	1528
			24	1552
			25	1576
$I_{rs}$	1,063	1,31	20	861
			21	885
			22	909
			23	933
			24	957
			25	981
$I_{ri}$	1,063	2,93	20	1565
			21	1589
			22	1613
			23	1637
			24	1661
			25	1685
$II_{1s}$	1,154	1,31	20	929
			21	953
			22	977
			23	1001
			24	1025
			25	1049

Treapta	Viteza [m/s]	$\lambda$	k	$R_2$
II <sub>fi</sub>	1,154	2,7	20 21 22 23 24 25	1602 1626 1650 1674 1698 1722
II <sub>re</sub>	1,714	1,31	20 21 22 23 24 25	1470 1494 1518 1542 1566 1590
II <sub>ri</sub>	1,714	1,82	20 21 22 23 24 25	1896 1920 1944 1968 1992 2016
III <sub>fs</sub>	1,606	1,31	20 21 22 23 24 25	1349 1373 1397 1421 1445 1469
III <sub>fi</sub>	1,606	1,94	20 21 22 23 24 25	1829 1853 1877 1901 1925 1949
III <sub>r</sub> (s si i)	2,375	1,31	20 21 22 23 25	2382 2406 2430 2454 2502

Treapta	Viteza [m/s]	$\lambda$	k	$R_2$
IV <sub>1</sub>	2,135	1,46	20	2189
			21	2213
			22	2237
			23	2261
			24	2285
			25	2309
IV <sub>r</sub>	3,16	0,98	20	3162
			21	3186
			22	3210
			23	3234
			24	3258
			25	3282

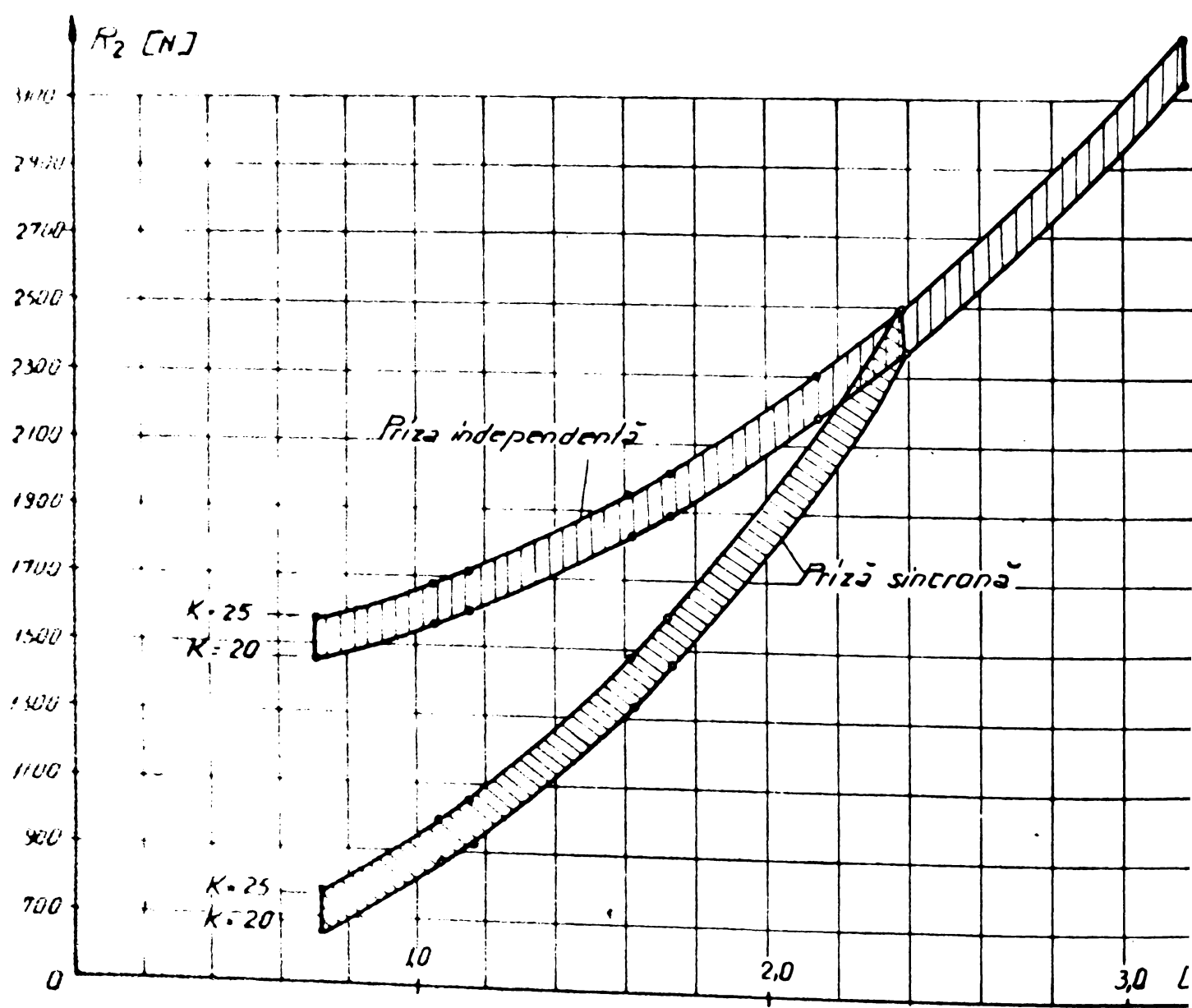


Fig. 53 Variatia forței de rezistență  $R_2$  a grapei rotată cu viteza de lucru teoretică

Cu valorile din tabelul 9 s-au reprezentat, la scară, variațiile lui  $R_2$  în funcție de viteza de lucru a agregatului (fig. 55), atât la folosirea prizei de putere sincrone cât și a celei independente.

## Capitolul 2. Grapa rulantă elicoidală

Așa cum se arăta la începutul părții a două, grapa rulantă elicoidală constituie, în ordinea intervenției în procesul de lucru al combinatorului realizat, ultimul component, care trebuie să realizeze mărunțirea optimă a bulgărilor de sol, nivelarea terenului și tasarea superficială a patului germinativ, toate acestea prin rularea pe suprafața terenului a unei firme din oțel înfășurată după o elice pe suprafața laterală a unui tambur cilindric realizat din discuri și vergele, de asemenea din oțel.

Cele trei grape rulante, având fiecare o lățime de lucru de 1 metru, sunt prinse articulat la cadrul grapei rotative cu colții, putîndu-se fixa în diferite poziții pe verticală.

Dacă grapa respectivă rulează pe sol fără patinare [65], un punct A de pe ea (fig. 56) se va găsi, la un moment t, în punctul B determinat astfel încit lungimea arcului CA să fie

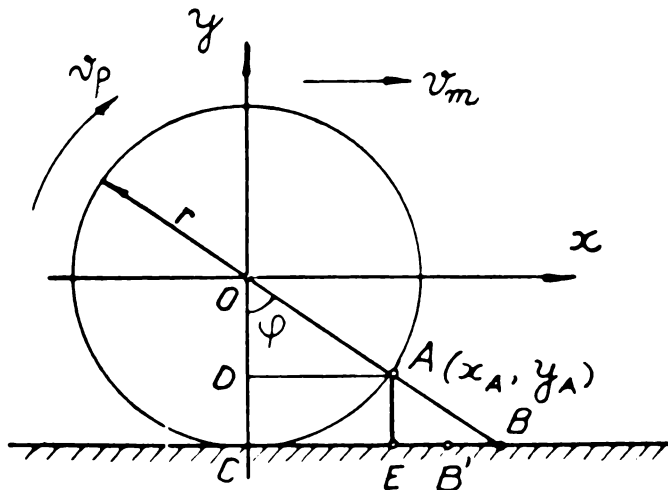


Fig.56 Deplasarea unui punct de pe grapa rulantă elicoidală

egală cu lungimea segmentului CB.

Spațiul parcurs de punctul A pe direcția de lucru este:

$$S = CB - AD = CB - CE = r(\varphi - \sin \varphi). \quad (64)$$

In același timp însă, punctul A se deplasează și pe verticală, cu o distanță:

$$S' = \Delta E = r(1 - \cos \varphi) \quad (65)$$

Intr-un sistem de coordonate mobil, atașat punctului A, aceste ecuații reprezintă coordonatele punctului A și definesc ecuațiile sale de mișcare. Se poate scrie deci:

$$\left. \begin{array}{l} x_A = r\varphi - r \cdot \sin \varphi \\ y_A = r - r \cdot \cos \varphi \end{array} \right\} \quad (66)$$

In realitate însă, mișcarea de rostogolire are loc, de regulă, cu o patinare mai mare sau mai mică, ceea ce face ca punctul A să ajungă de fapt într-un punct B; mai apropiat de C decât punctul B.

Patinarea grapelor rulante a fost pusă în evidență de cercetători din R.F.G. [65], care au folosit în acest scop un cadrul de măsurat, pe care grapele au fost montate în tandem (fig.57). Cadrul de măsurat permite, cu ajutorul tachometrelor electrice 5, 6 și 7, determinarea valorii patinării,

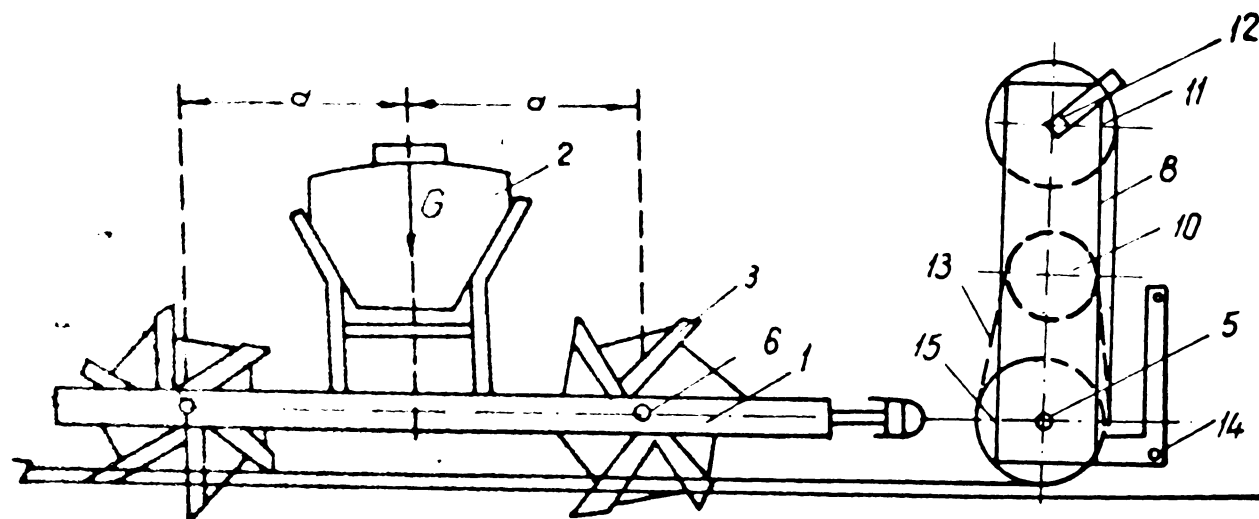


Fig.57 Cadrul de măsurat patinarea grapei rulante pentru diferite încărcări G și la diferite viteză de lucru. La fiecare rotație a grapei rulante, deci la fiecare rotație a rolei de cablu 15, se emite și se numără patru impulsuri. Unghiul de înăscurare a cablului este mărit de rolă intermedieră 10, pentru ca distanța să poată fi măsurată cu precizie pe

cablul care se desfășoară. Traductorul hidraulic l3 determină forța de tracțiune necesară, valoarea acesteia înregistrându-se.

Patinarea - $\delta$ - se definește ca fiind raportul dintre diferența deplasării punctului pe orizontală fără patinare și cu patinare și deplasarea sa fără patinare, adică:

$$\delta = \frac{CB - CB'}{CB} \quad (67)$$

de unde:

$$CB - \delta CB = CB' = r\varphi$$

și deci:

$$CB = \frac{r\varphi}{1 - \delta} \quad . \quad (68)$$

Din relația (68) se poate vedea că, în cazul patinării, va trebui să înlocuim în (66) pe  $r\varphi$  prin  $\frac{r\varphi}{1 - \delta}$ , astfel că se ajunge la:

$$\left. \begin{aligned} x_A &= \frac{r\varphi}{1 - \delta} - r \cdot \sin \varphi \\ y_A &= r (1 - \cos \varphi) \end{aligned} \right\} \quad (69)$$

Se observă că relațiile (66) pot fi obținute din (69), în cazul în care nu există patinare ( $\delta = 0$ ).

Pentru determinarea vitezei punctului A, se înlocuiește în (69)  $\varphi$  prin  $\omega t$ , și atunci:

$$\left. \begin{aligned} x_A &= r \left( \frac{\omega t}{1 - \delta} - \sin \omega t \right) \\ y_A &= r (1 - \cos \omega t), \end{aligned} \right\} \quad (70)$$

relații care, derivate, vor da componentele vitezei:

$$\left. \begin{aligned} x'_A &= v_x = r \omega \left( \frac{1}{1 - \delta} - \cos \omega t \right) \\ y'_A &= v_y = r \omega \sin \omega t. \end{aligned} \right\} \quad (71)$$

Făcind derivata a doua a relațiilor (70) se obțin componentele accelerării:

$$\left. \begin{array}{l} x_A'' = a_x = r\omega^2 \sin \omega t \\ y_A'' = a_y = r\omega^2 \cos \omega t \end{array} \right\} \quad (72)$$

Cu ajutorul relațiilor (71) se poate determina ecuația hodografului vitezelor punctului A, astfel:

$$\left. \begin{array}{l} v_x = \frac{r\omega}{1-\delta} = -r\omega \cos \omega t \\ v_y = r\omega \sin \omega t \end{array} \right\} \quad (71)$$

Ridicind la patrat se obține:

$$\left. \begin{array}{l} (v_x - \frac{r\omega}{1-\delta})^2 = r^2 \omega^2 \cos^2 \omega t \\ v_y^2 = r^2 \omega^2 \sin^2 \omega t, \end{array} \right\} \quad (73)$$

iar prin însumarea lor, ecuația hodografului vitezelor:

$$\left( v_x - \frac{r\omega}{1-\delta} \right)^2 + v_y^2 = r^2 \omega^2, \quad (74)$$

care este ecuația unui cerc de rază  $r\omega$ , cu centru de coordinate:

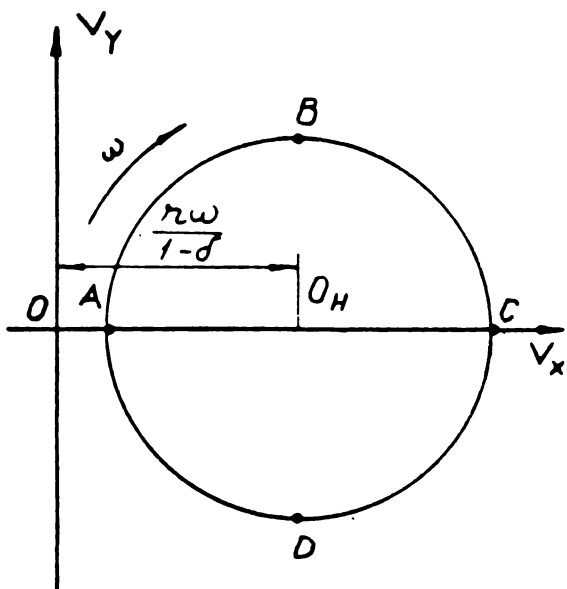
$$O_H = O_H \left( \frac{r\omega}{1-\delta}; 0 \right).$$

Pentru fiecare treaptă de viteză a tractorului va exista un anumit hodograf, vectorul viteză având punctul de aplicare în originea axelor (fig. 58) și vîrful pe cerc.

Acțiunea grapei rulante elicoidale asupra solului se poate aprecia cu ajutorul relațiilor (72), cu care se poate calcula și acceleratia punctului A (în modul):

$$a_A = \sqrt{a_x^2 + a_y^2} = r\omega^2. \quad (75)$$

Din expresia modulului accelerării totale a punctului A se deduce că este vorba de o accelerare cu o componentă normală de valoare  $r\omega^2$  și una tangențială nulă. Se poate deci afirma că forța de acțiune asupra solului este dirijată radial, acționând deci în sensul sfărâmării solului și efectuind simultan și tasarea lui la suprafață:



**Fig.58** Modul de construcția a hodo-grafului vitezei unui punct de pe grapa rulantă

$$F = m a_A = m r \omega^2. \quad (76)$$

Deoarece masa nu variază (dacă grapa nu se încarcă suplimentar), forța va crește cu viteza de rotație a grapei, deci implicit cu viteza de lucru a agregatului.

### Capitolul 3. Rezistența la înaintare a combinatorului și puterea de tracțiune necesară

Rezistența la înaintare a combinatorului reprezintă suma rezistențelor la înaintare ale componentelor sale, adică:

$$R_{\text{comb}} = R_1 + R_2 + R_3 \quad [\text{N}] \quad (77)$$

în care:

$R_1 = k_1 B_1$  - rezistența grapei cu discuri;

$R_2 = S.z.k_2.b$  - rezistența grapei rotative acționate;

$R_3 = k_3 B_3$  - rezistența grapei rulante elicoidale,

unde:

$k_i$  - rezistențele specifice la înaintare  $[\text{N}/\text{m}]$ ,

$B_i$  - lățimile efective de lucru  $[\text{m}]$ .

Făcindu-se înlocuirile respective în (77) se obține:

$$R_{\text{comb}} = k_1 B_1 + Szk_2 b + k_3 B_3 \quad [\text{N}] \quad (77')$$

Aproximând, suficient de exact, că lajimile de lucru  $B_i$  sunt egale între ele, se poate considera:

$$B_1 = Szb = B_3 = B,$$

în care caz, rezistența combinatorului la înaintare ia forma simplificată:

$$R_{\text{comb}} = k_e \cdot B \quad (78)$$

în care:

$$k_e = k_1 + \left[ k + \frac{1}{4} \rho \cdot v_m^2 (\lambda^2 + 2) \right] + k_3 = k_1 + k_2 + k_3 \quad [\text{N/m}] \quad (79)$$

- rezistență echivalentă.

Pornind de la relația generală a puterii:

$$P = Fv \quad [\text{W}]$$

având pe  $F$  în  $[\text{N}]$  și pe  $v$  în  $[\text{m/s}]$ , puterea necesară acțiunării combinatorului este:

$$P_{\text{comb}} = R_{\text{comb}} \cdot v_m \cdot 10^{-3}, \quad [\text{kW}] \quad (80)$$

respectiv:

$$P_{\text{comb}} = 1,36 R_{\text{comb}} \cdot v_m \cdot 10^{-3} \cdot [\text{CP}] \quad (80')$$

**PARTEA A TREIA. EXPERIMENTAREA COMBINATORULUI  
REALIZAT**

**Capitolul 1. Descrierea combinatorului; construcția și caracteristicile tehnice principale; reglajele mașinii**

Combinatorul realizat, în condițiile arătate, este o mașină purtată, cu posibilitatea de fixare în trei puncte la ridicătorul hidraulic al tractorului, servind pentru măruntirea solului arat, printr-o singură trecere. El este alcătuit (fig. 59) dintr-un cadru dreptunghiular 1, realizat din țeavă de

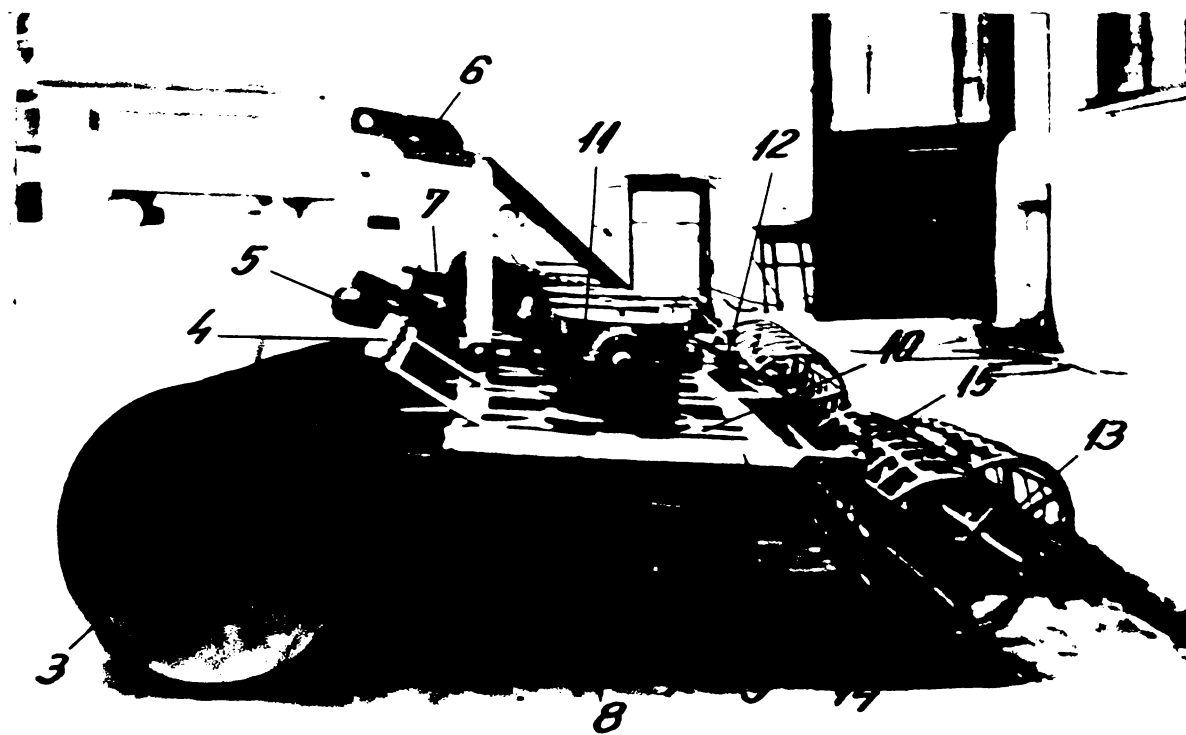


Fig.59 Părțile componente ale combinatorului

oțel sudată, cu diametrul exterior de 70 mm, pe care, ținând cont de sensul deplasării în timpul lucrului, la partea anterioară sunt sudați patru suporti 2 pentru cele două baterii de discuri sfierice 3, de la grapa GD-3,2 și suportii 4 ai răzuitoarelor discurilor. Cele două baterii de discuri sunt fixate rigid, pentru un unghi de atac al discurilor de 0,2093 rad ( $12^{\circ}$ ), acesta fiind unghiul optim pentru sfârșirea bulgărilor de sol, așa cum s-a stabilit în decursul încercărilor grapelor cu discuri, descrise în capitolul I al părții a doua a tezei. De asemenea, tot la partea anterioară a cadrului, în poziția centrală a acestuia, sunt sudate două brațe 5, cu cepuri, pe

care se prin brațele laterale ale ridicătorului hidraulic al tractorului. În urechile suportului demontabil 6 se montează capătul tirantului central al ridicătorului hidraulic. Tot la partea din față a cadrului și tot la mijlocul acestuia este montată transmisia centrală 7, care, printr-un arbore cardanic, primește mișcarea de la priza de putere a tractorului, necesară acțiunii grupelor rotative cu colții.

Sub cadru se găsesc cele două rotoare 8, fiecare rotor fiind alcătuit dintr-o placă cu patru brațe, la capetele cărora sunt fixați, cu bride, colții de grăpă 9, de secțiune romanică, cu vîrfuri curbată.

Pe cadru sunt suptați suportii 10, pe care sunt montate grupurile conice 11 de acționare a rotoarelor 8 și suportul 12, pentru piciorul de sprijin al mașinii în poziția de stocare.

La partea din spate a cadrului se găsesc trei cîmpuri de grăpă rulantă 13, realizate prin înfășurarea după o elice, pe cîte un tambur cilindric realizat din cîte două discuri și cîte șase bare, a unei spire din sîrmă de oțel cu diametrul de 8 mm, pasul eliciei fiind de 130 mm, iar diametrul cîmpurilor astfel realizate, de 260 mm. Cele trei cîmpuri de grăpe rulante sunt prinse articulat la cadrul combinatorului, cu ajutorul brațelor 14, din oțel lat, iar reglarea poziției lor pe verticală se realizează de la șuruburile 15.

Transmiterea mișcării de rotație de la transmisia centrală 7 la grupurile conice 11 ale rotoarelor de grăpă se realizează prin două transmisii de lanț 6 (fig.28), la rotoarele centrale, iar de la acestea spre rotoarele laterale, prin transmisii cardanice 12 (fig.28), raportul total de demultiplicare fiind, cum s-a arătat în partea a doua a tezei, de 4,5.

#### Caracteristicile tehnice principale ale mașinii

Tipul: purtată pe ridicătorul hidraulic.

Organele de lucru:

- două baterii a cîte nouă discuri sferice - GD-3,2;
- șase rotoare grăpe cu cîte patru colții, acționate;
- trei cîmpuri de grăpe rulante elicoidale.

Masa mașinii:

- bateriile de discuri cu suporti . . . . . 270 kg
- rotoarele de grăpe cu cadrul și transmisia 380 kg;

## Reglajele masinii

Reglarea adîncimii de lucru se asigură prin poziționarea corespunzătoare a manetei de comandă a distributatorului hidraulic, mașina lucrând la adîncimea maximă în poziția „flotant”, poziție care asigură și urmărirea fidelă a denivelărilor terenului; de asemenea, prin poziționarea corespunzătoare, pe verticală, a grapelor rulante.

Reglajul orizontalității mașinii se efectuează prin stabilirea corespunzătoare a lungimii întinzătoarelor brațelor ridicătorului hidraulic și a lungimii tirantului central.

Turăția rotoarelor grapei cu colți se schimbă automat prin modificarea treptei de viteză folosită și prin utilizarea fie a prizei de putere sincrone, fie a celei independente, obținându-se astfel cel mai potrivit indice cinematic  $\lambda$  și, în consecință, gradul de măruntire  $\Gamma$  optim. Pentru a se putea obține și alte valori ale acestor parametri, se pot schimba roțile de lanț cu roți având alt număr de dinți, fie în sensul măririi, fie în sensul micșorării raportului total de demultiplicare, schimbarea respectivă putindu-se face ușor și rapid.

## Capitolul 2. Metodica experimentala

## 2.1. Parcela de experimentare

Combinatorul a fost experimentat, în vederea determinării indicilor energetici, a indicilor calitativi de lucru și a indicilor de exploatare în cadrul Stațiunii de cercetări viticole Stefănești-Arges, într-un sol greu, recomandat de unitatea

amintită.

Caracteristicile parcelei de experimentare, determinate, după luarea probelor, în laboratoarele Oficiului de studii pedologice și agrochimice Pitești, sunt prezentate mai jos.

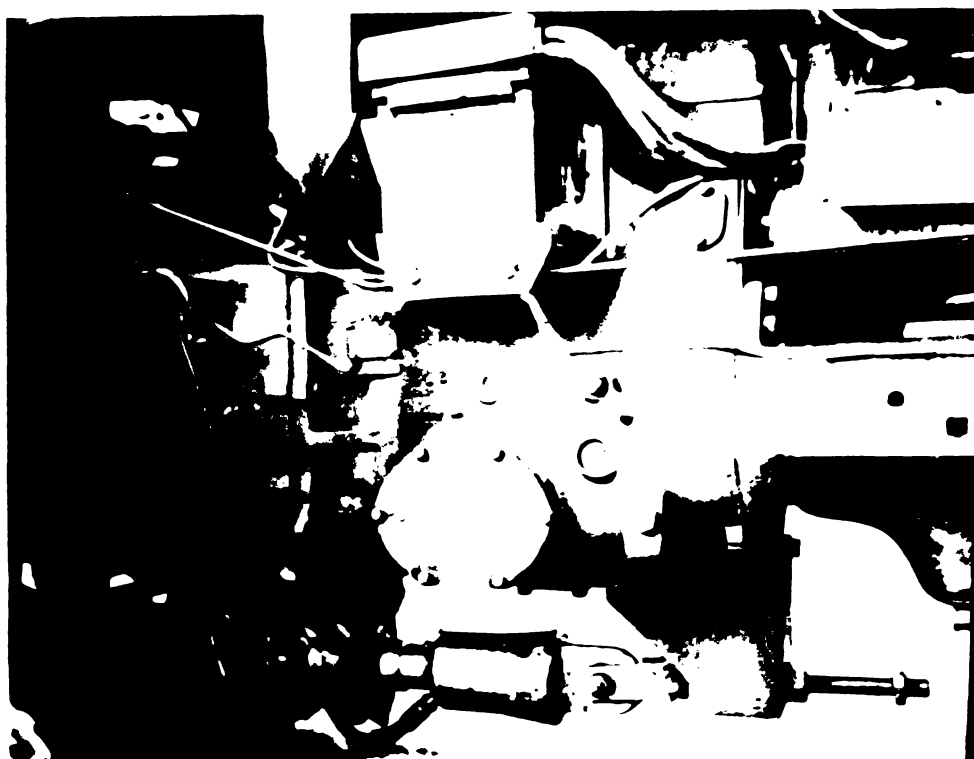


Fig. 60 Dinamometrul ramă

Parcela este situată la 300 m est de calea ferată Golești-Cîmpulung, lîngă pepiniera Goleasca.

Condiții generale de formare a solului: luncă plană, slab drenată extern.

Relief: plan, foarte slab înclinat.

Tip: sol greu de luncă.

Roca mamă: aluviuni fine, foarte slab carbonatice.

Descrierea morfologică:

0...22 cm (22 cm) cenușiu cu nuanță ruginie, textură moderat grosieră, luto-nisipos (LN), compact și reavăn;

22...35 cm(13 cm) cenușiu închis, textură lutoasă (L), compact, reavăn;

35...62 cm(27 cm) brun-cenușiu, structură alunară, textură lutoasă (L), poros, compact, reavăn;

62...80 cm(18 cm) cenușiu, structură alunară mică, textură lutoasă (L), poros, compact, reavăn;

80..150 cm(70 cm) brun-cenușiu cu nuanțe vineții, structură nuciformă, textură luto-argiloasă (LA) foarte fină, compact, reavăn.

Parcela a fost arată în luna iunie, la 20 cm adîncime, fără grăpare, apoi inundată, experimentarea avînd loc în luna august (1975).

Greutatea probei în asezare normală . . . . .	62,20
Greutatea probei uscate . . . . .	54,40
Masa volumetrică (densitate). . . . .	1,09 g/cm <sup>3</sup>
Umiditatea (la 0...10 cm) . . . . .	12,8%
După valoarea masei volumetrice, sol cu asezare normală.	



Fig.61 Dinamograf hidraulic

Încercările s-au efectuat în această situație, subliniindu-se faptul că, atât la suprafață cît și în adîncime, solul prezintăndu-se exclusiv sub formă unor bulgări foarte mari compacți, de ordinul 50 ... 80 cm, gradul de măruntire și afnare fiind deci nule.

## 2.2. Aparatura de experimentare

Combinatorul a lucrat în agregat cu un tractor U-650 echipat cu: dinamometru-ramă (fig.60), dinamograf hidraulic (fig.61), aparat pentru determinarea consumului de combustibil și contoare de ture (fig.62), la ambele roți motoare. S-au folosit în plus: cronometru, jaloane și o ramă din scârzi duri, de 1 x 1 m.



Fig.62 Contor de ture

2.3. Determinarea maselor părților componente ale combinatorului, a distribuției masei combinatorului pe reazeme și a centrului de greutate al mașinii.

ACESTE DETERMINĂRI AU FOST NECESSARE PENTRU A SE PUTEA OBȚINE VALORILE TUTUROR PARAMETRILOR CARE INTERESEAZĂ, ATIT PENTRU ÎNCĂRCAREA ELEMENTULUI ÎN PARTE CIT SI PENTRU ÎNTREAGA MAȘINĂ.

Stabilindu-se, prin cîntărire, înainte de asamblarea generală, că o baterie de discuri (inclusiv suportii de montare la mădrău) are o greutate de 1325 N și că un cîmp de grăpă rulantă elicoidală (inclusiv barele de prindere) are o greutate de 422 N, înseamnă că partea centrală a combinatorului (rotoarele grăpelor acționate, cadrul și elementele de transmitere a mișcării) are greutatea de 3750 N.

In fig.63 se vede atit distribuția forțelor pe lungimea combinatorului cit și poziția centrului său de greutate, stabilită atit prin metoda analitică cit și prin metoda grafică.

Pentru determinarea poziției centrului de greutate, pe cale analitică, s-a făcut apel la teorema lui Varignon aplicată la forțe paralele în plan (fig. 63 a).

Conform acestei teoreme:

$$R = F_1 + F_2 + F_3 = 1270 + 3750 + 2650 = 7670, \quad [N]$$

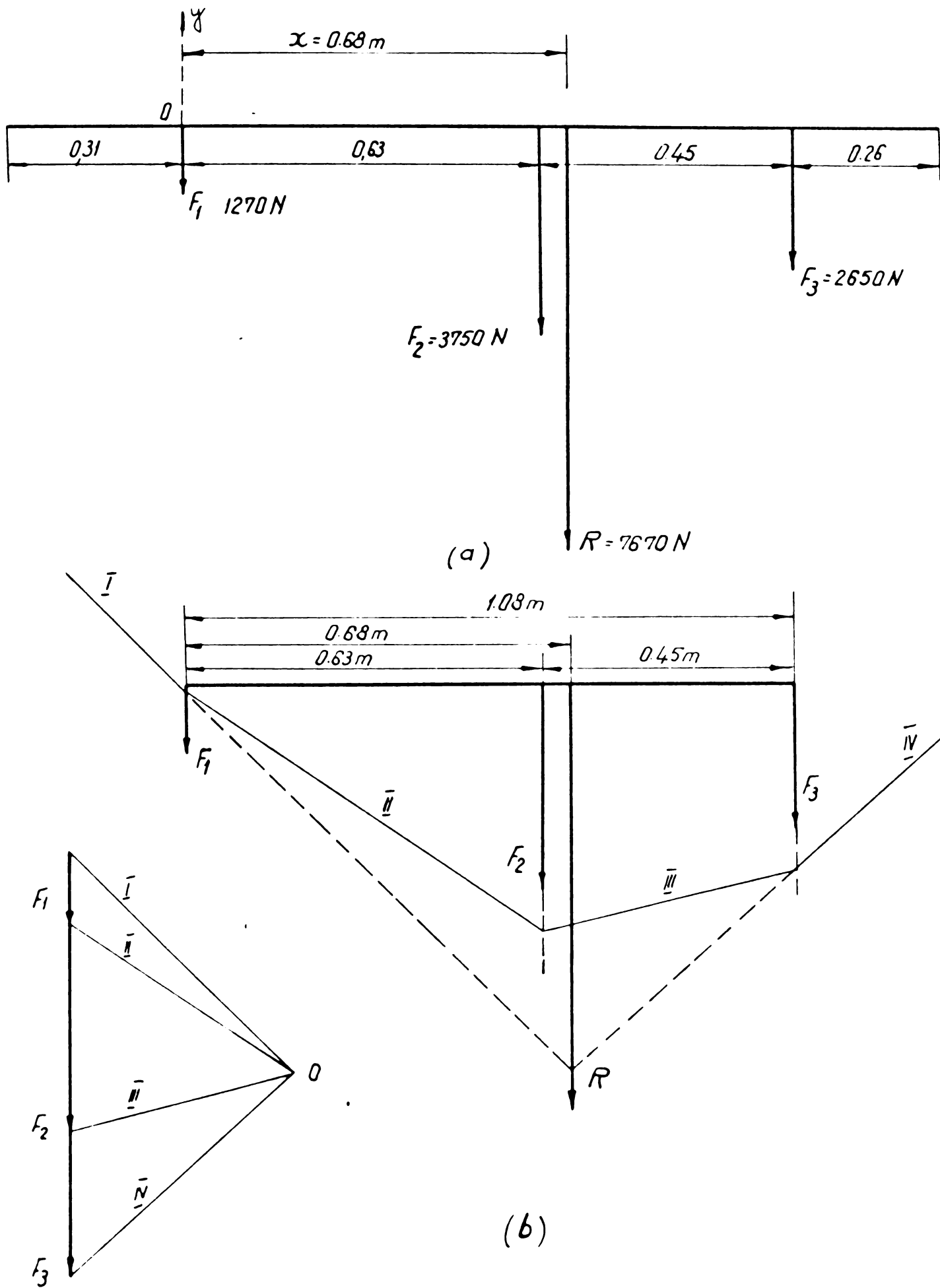


Fig. 63 Distribuția forțelor pe lungimea combinatorului și poziție centrul său de greutate

$$M_o(R) = \sum_{i=1}^n M_o(F_i) = 0,63 \cdot 3750 + 1,08 \cdot 2650 = 5210. [Nm]$$

De aici se scoate poziția punctului de aplicare:

$$x = \frac{M_o(R)}{R} = \frac{5210}{7670} = 0,68, [m]$$

al rezultantei R.

Ca metodă grafică s-a folosit metoda poligonului funicular (fig.63 b).

Deoarece în partea centrală a combinatorului sprijinul acestuia poate fi neglijat, întreaga greutate se consideră a fi repartizată pe bateriile de discuri și pe grapele rulante elicoidale. Din fig. 64 se vede că, pe discuri apasă o forță de

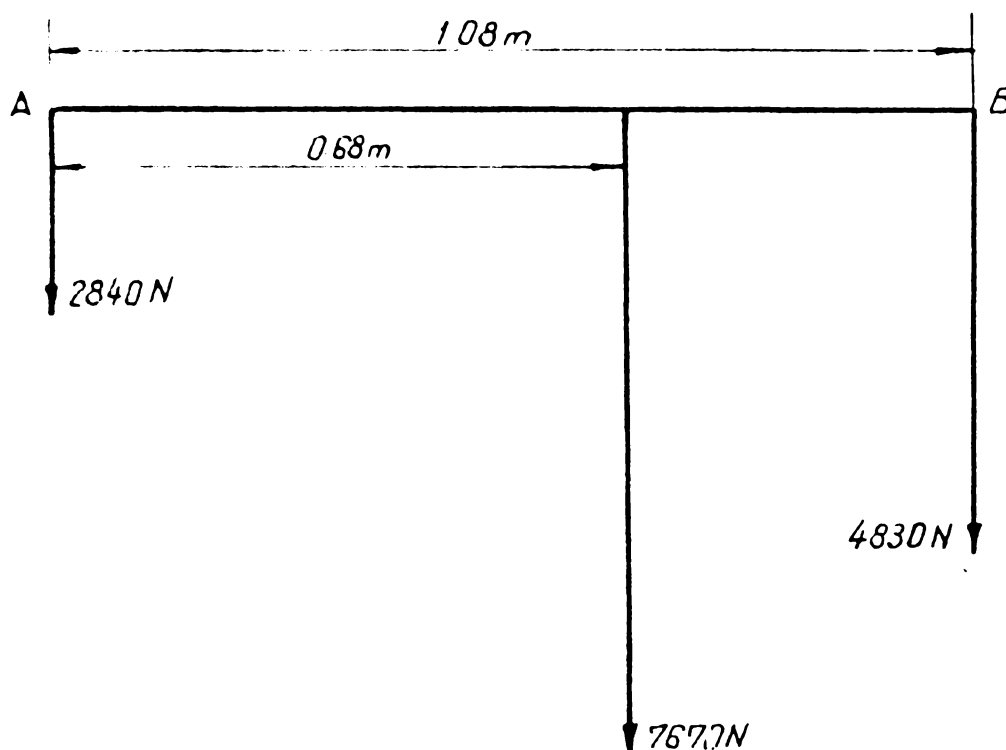


Fig.64 Distribuția greutăților pe discuri și pe grapele rulante

4830 N, corespunzătoare masei de 492 kg, iar pe grapele rulante o forță de 2840 N, corespunzătoare masei de 288 kg, așa cum s-a stabilit prin metoda cîntăririi.

### Capitolul 3. Indicii energetici de lucru ai combinatorului

Pe parcela experimentală stabilită, în vederea determinării atât a indicilor energetici cât și a indicilor calitativi

de lucru ai maginii, s-au măsurat și jalonat parcursuri de cîte 100 metri lungime, fiecare determinare în parte efectuindu-se în patru repetiții și aplicîndu-se, pentru calcularea valorii fiecărui indice, relațiile recomandate de metodica CAER.

### 3.1. Forța medie de rezistență la tracțiune

Valorile tuturor forțelor medii care interesează au fost determinate prin planimetrarea dinamogramelor obținute și folosirea riglei gradate în  $\text{k}\text{gf} \times 10^2$  a dinamografului hidraulic utilizat.

Prin urmărirea cît mai fidelă a conturului  $ABy_1y_nA$  s-au obținut diferențele suprafete  $S$  (fig. 65 a). Impărțindu-se apoi valorile suprafetelor  $S$  care reprezintă de fapt un lucru mecanic exprimat în  $\text{k}\text{gf}\text{m}$  la lungimea  $\ell = AB$  a dinamogramei (metri din parcurs) se obține valoarea medie a ordonatei,  $y_{\text{med}}$ :

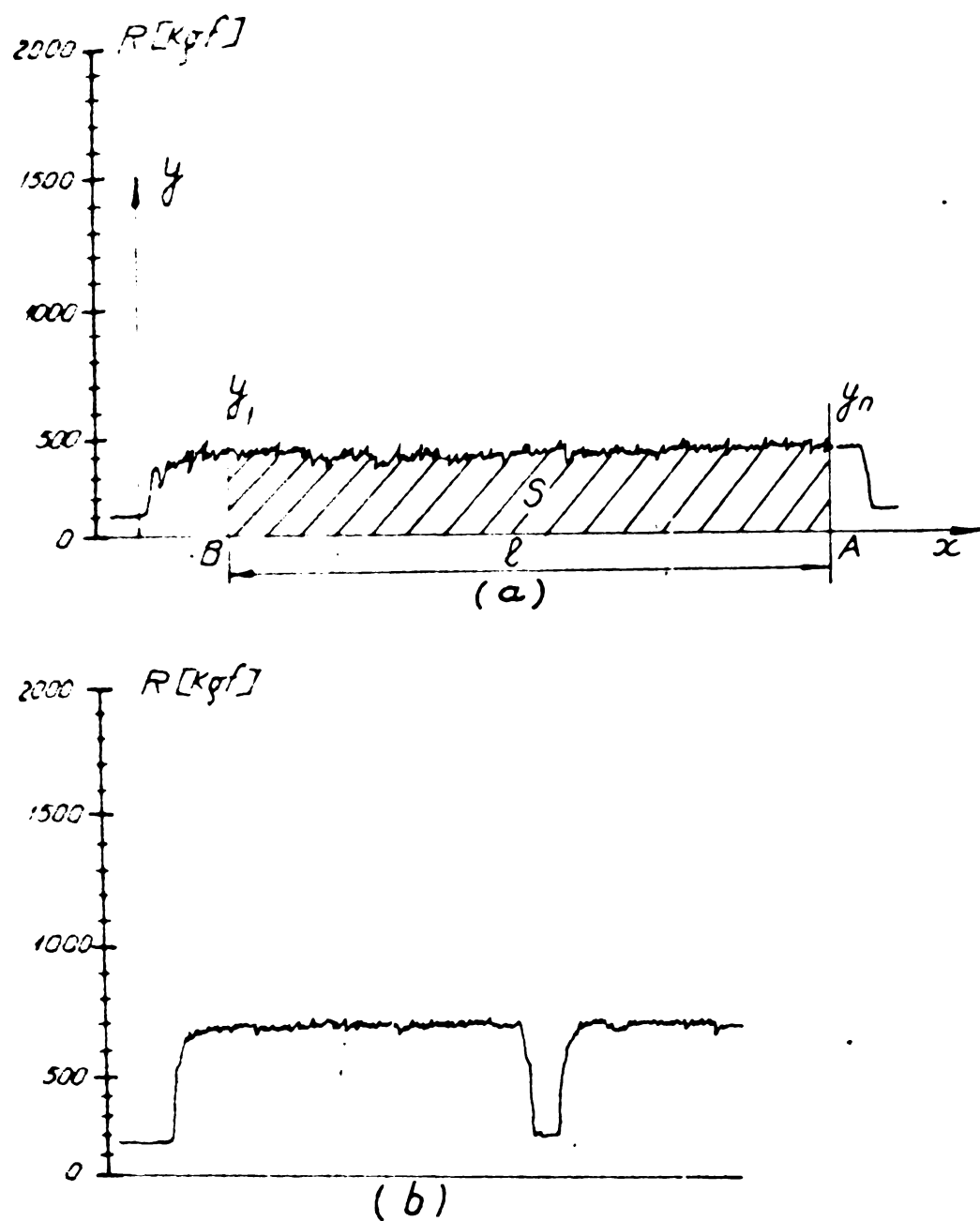
$$y_{\text{med}} = \frac{S}{\ell}, [\text{k}\text{gf}]$$

a cărei lungime se suprapune pe rigla gradată a dinamografului hidraulic (scala gradată  $R$  [ $\text{k}\text{gf} \times 10^2$ ] din fig. 65), aflindu-se astfel forța medie de rezistență la tracțiune  $R$ .

In fig. 65 a și b se prezintă, drept exemplu, variația forței de rezistență la tracțiune a bateriilor de discuri, în viteza a III-a rapidă și, respectiv, variația forței de rezistență la tracțiune a întregului combinator, în viteza III-a înceată cu folosirea prizei de putere independentă, la una din cele patru determinări.

- Forța medie de rezistență la tracțiune a bateriilor de discuri:

La tractorul U-650 echipat cu aparatura amintită, s-au atașat două baterii de discuri sferice de grădă GD-3,2, rigidizate la un cadru de suspendare improvizat, bateriile fiind lestate astfel încît să aibă masa de 492 kg. Cu agregatul astfel realizat, s-a lucrat în parcelă dată, stabilindu-se forțele medii de rezistență la tracțiune a discurilor, la cele patru repetiții și, întrucât scala dinamografului folosit este gradată, așa cum s-a arătat, în  $\text{k}\text{gf} \cdot 10^2$ , s-a aplicat relația:



**Fig.65** Planimetrarea și variația lui  $R$  (discuri în viteza a III-a rapidă și combinator în viteza a III-a înceată)

$$R_d = 9,81 \frac{\sum_{i=1}^n R_{di}}{n}, \quad [N] \quad (81)$$

valorile medii obținute, pentru toate treptele de viteză (exclusiv treapta a V-a), fiind tabelate.

- Forța medie de rezistență la tracțiune a combinatorului

Cu același tractor, în agregat cu combinatorul, s-au efectuat patru parcursuri, în altă porțiune a aceleiași parcele experimentale, obținindu-se, prin aplicarea relației asemănătoare cu precedenta:

$$R_m = 9,81 \frac{\sum_{i=1}^n R_{mi}}{n}, \quad [N] \quad (81')$$

valorile  $R_m$  fiind și ele tabelate.

- Forța medie de rezistență la tracțiune a combinatorului, cu colții grapelor neacționati

S-au efectuat, în acest scop, patru parcursuri, fără a se acționa grapele rotative de la priza de putere și, cu același tip de relație (81, 81'), s-au determinat valorile  $R'_m$ , și s-au tabelat.

- Forța medie de rezistență la tracțiune a combinatorului, fără grapele rulante elicoidale

Cîmpurile de grape elicoidale au fost suspendate, iar la partea din spate a combinatorului s-au montat două roți de aprijin. Cu acest montaj s-au efectuat cele patru parcursuri, valorile medii obținute  $-R''_m$  - fiind prezentate, împreună cu valorile  $R_d$ ,  $R_m$  și  $R'_m$ , în tabelul 10.

Avînd determinate, în acest fel, valorile  $R_d$ ,  $R_m$ ,  $R'_m$  și  $R''_m$  s-au calculat valorile indicilor energetici care interesează:

- Forța medie de rezistență la tracțiune a grapelor rulante

Aceasta se obține din diferență:

$$R_{gr} = R_m - R''_m ; \quad [N] \quad (82)$$

Tabelul 10. Valorile  $R_d$ ,  $R_m$ ,  $R'_m$  și  $R''_m$

Treapta de viteză	Viteza de lucru		$R_d$ [N]	$R_m$ [N]	$R'_m$ [N]	$R''_m$ [N]
	[m/s]	[km/h]				
I <sub>fs</sub>	0,61	2,2	2900	$\frac{4800}{5400}$	4500	$\frac{3700}{4300}$
I <sub>fi</sub>						
I <sub>rs</sub>	0,92	3,3	3200	$\frac{5300}{6000}$	4900	$\frac{4100}{4800}$
I <sub>ri</sub>						
II <sub>fs</sub>	1,05	3,8	3300	$\frac{5500}{6100}$	5000	$\frac{4300}{4900}$
II <sub>fi</sub>						
II <sub>rs</sub>	1,55	5,6	3600	$\frac{6500}{7000}$	5500	$\frac{5100}{5600}$
II <sub>ri</sub>						
III <sub>fs</sub>	1,44	5,2	3600	$\frac{6400}{6900}$	5500	$\frac{5000}{5500}$
III <sub>fi</sub>						
III <sub>rs</sub>	2,08	7,5	4000	$\frac{7900}{7900}$	6200	$\frac{6300}{6300}$
III <sub>ri</sub>						
IV <sub>fi</sub>	1,94	7,0	4000	7700	6200	6100
IV <sub>ri</sub>	2,64	9,5	4000	8100	6200	6500

- Forța medie de rezistență la tractiune a grupelor rotative cu colți actionați,

din diferență:

$$R_{ca} = R_m - (R_d + R_{gr}) ; \quad [N] \quad (83)$$

- Forța medie de rezistență la tractiune a colților neactionați (tiritori)

se obține din:

$$R_{ct} = R_m - (R_d + R_{gr} + R_{cr}) . [N] \quad (84)$$

Valorile medii de rezistență la tractiune sunt prezente în tabelul 11, iar variația lor cu viteza de lucru, în

Tabelul 11. Valorile  $R_{gr}$ ,  $R_{ca}$ ,  $R_{ct}$

$R_{Treapta}$	$R_{gr}$ [N]	$R_{ca}$ [N]	$R_{ct}$ [N]
I <sub>fs</sub>	1100	$\frac{800}{1400}$	500
I <sub>fi</sub>			
I <sub>rs</sub>	1200	$\frac{900}{1600}$	500
I <sub>ri</sub>			
II <sub>fs</sub>	1200	$\frac{1000}{1600}$	500
II <sub>fi</sub>			
II <sub>rs</sub>	1400	$\frac{1500}{2000}$	500
II <sub>ri</sub>			
III <sub>fs</sub>	1400	$\frac{1400}{1900}$	500
III <sub>fi</sub>			
III <sub>rs</sub>	1600	$\frac{2300}{2300}$	600
III <sub>ri</sub>			
IV <sub>fi</sub>	1600	2100	600
IV <sub>ri</sub>	1600	2500	600

Privitor la această figură, se face observația că, începînd de la treapta de viteză a III-a rapidă, alura curbelor  $R_{ca}$  și  $R_m$  (la folosirea prizei de putere independentă) nu mai prezintă aceeași creștere (cum ar fi firesc), ci o creștere mai lentă. Faptul se datorează, aşa cum se va vedea, scăderii adîncimii de lucru a colților de grăpă, de la 0,11 la 0,10 m în treapta a III-a rapidă și respectiv la 0,09 m în treapta a IV-a rapidă (vezi 4.1). Acest lucru reiese clar și din fig. 67, în care sunt reprezentate, comparativ, variațiile valorilor teoretice și experimentale ale lui  $R_{ca}$  ( $R_2$  sau  $R_{xt}$ ). Se observă că:

- alurile curbelor (teoretică și experimentală) pentru

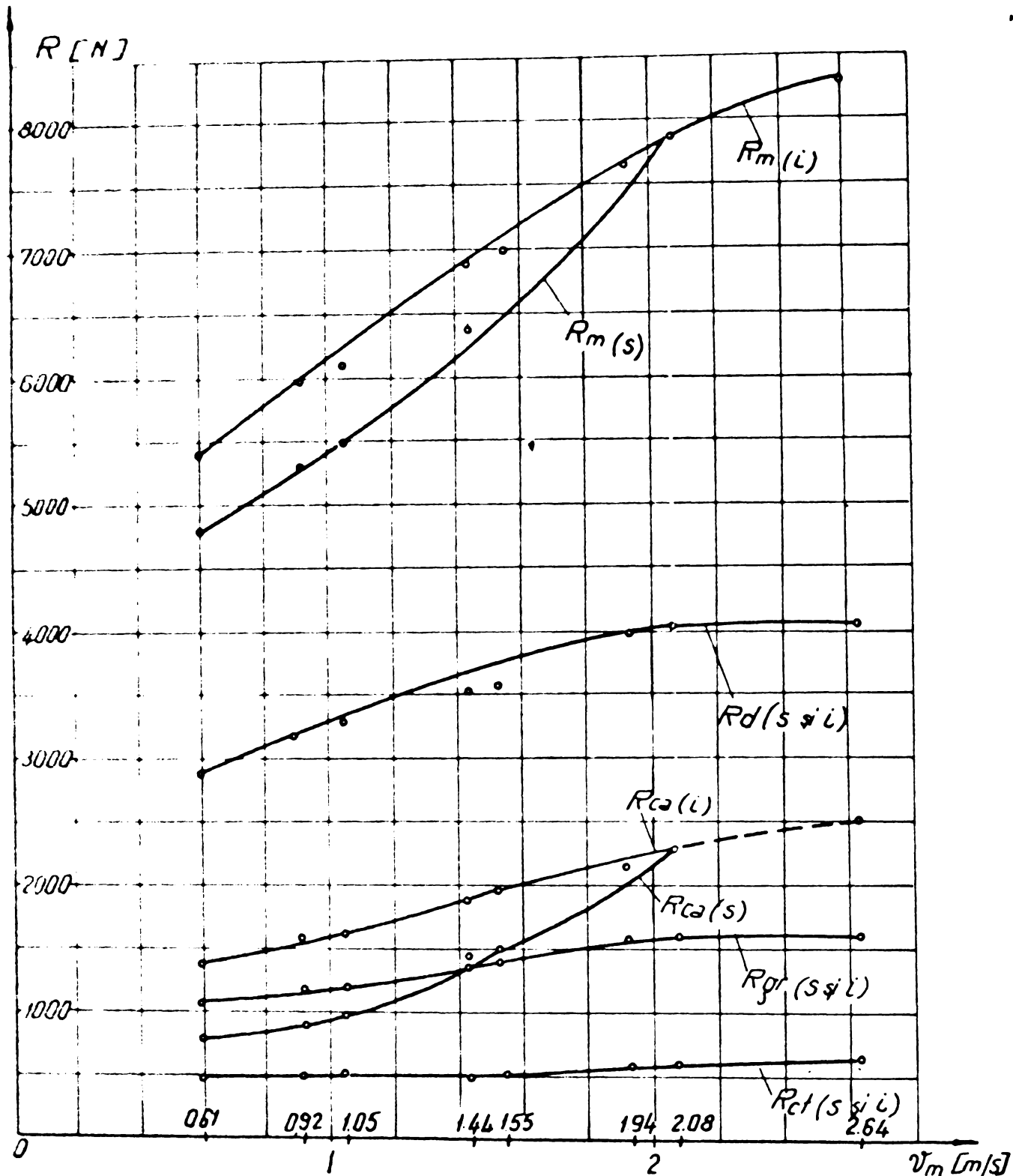


Fig.66 Variatia forjelor de rezistență la înaintare cu viteza de lucru

cazul folosirii prizei sincrone sunt asemănătoare;

- alurile curbelor (teoretică și experimentală) pentru cazul folosirii prizei independente sunt și ele asemănătoare, dar numai pînă la nivelul treptei a III-a rapidă, peste care, curba experimentală prezintă, în continuare, o creștere mai lentă. Fenomenul este datorat, așa cum s-a arătat mai sus, scăderii adîncimii de lucru, datorată, la rîndul ei, apariției

"portanței" (vezi 4.1).

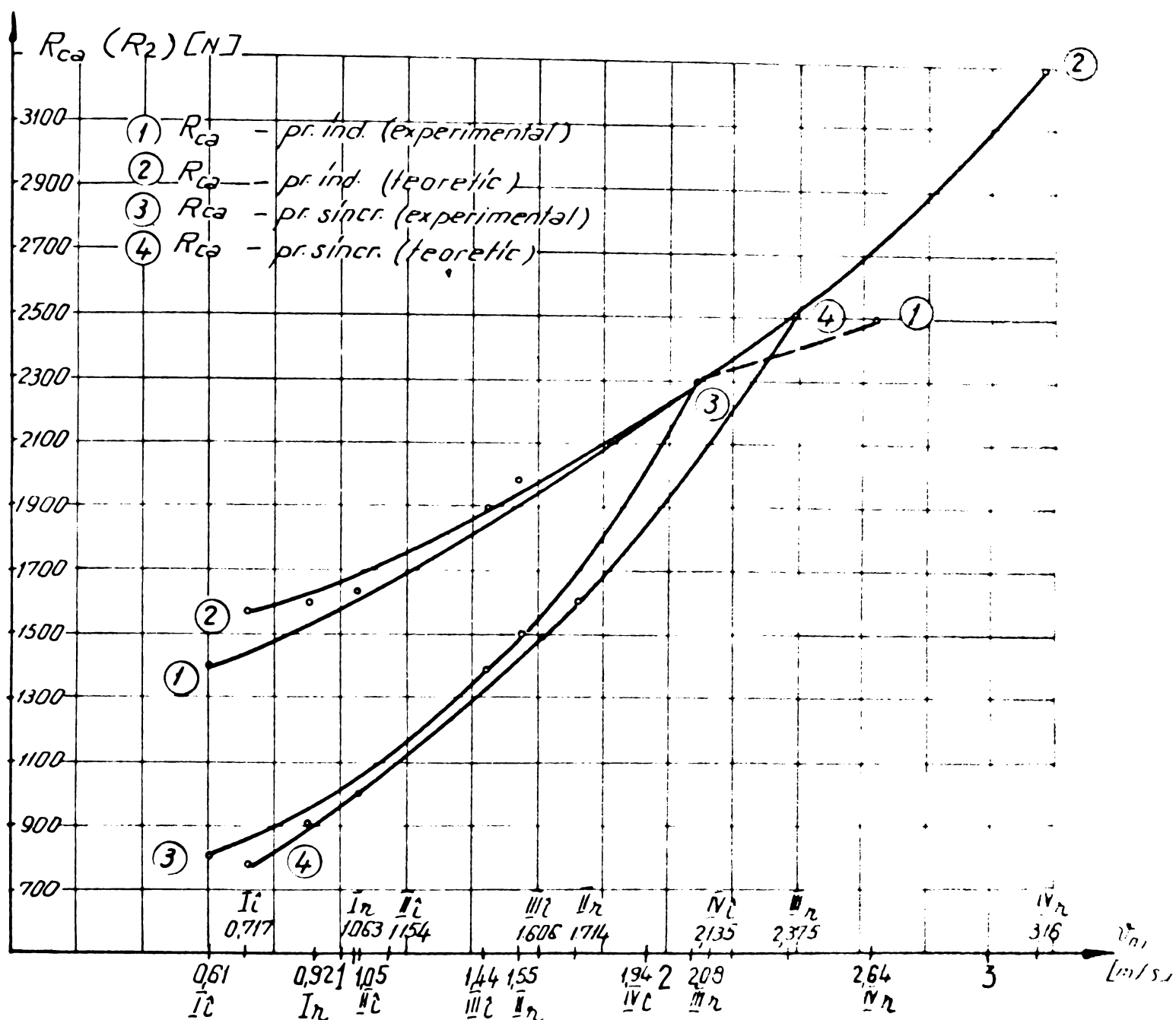


Fig.67 Reprezentarea grafică comparativă a forței de rezistență (teoretică și practică) a grapei rotative acționate

In tabelul 12 sunt date valorile teoretice (din listing) pentru  $R_2$ , la vitezele a III-a rapidă (cu adâncimea de lucru  $a = 0,1$  m) și a IV-a rapidă (cu adâncimea de lucru  $a = 0,09$  m), pentru a se evidenția faptul că valorile experimentale obținute sunt apropiate de cele calculate (teoretice).

Se mai face în plus observația că valorile experimentale ale lui  $R_2$ , mai cu seamă la viteza a IV-a rapidă, sunt mai mici decât cele calculate și datorită diferenței apreciabile

dintre vitezele de lucru teoretică (3,16 m/s) și reală(2,64 m/s).

Tabelul 12. Valorile lui  $R_2$  funcție de  $v_m$  și  $k$

Treapta	Viteza [m/s]		$\lambda$	k	$R_2$
	Teoretică	Reală			
III <sub>r</sub> (cu $a=0,1$ m)	2,375	2,08	1,31	20	2209
				21	2233
				22	2257
				23	2281
				24	2305
				25	2329
				20	2674
IV <sub>r</sub> (cu $a=0,09$ m)	3,16	2,64	0,98	21	2698
				22	2722
				23	2746
				24	2770
				25	2794

### 3.2. Viteza medie efectivă de lucru a mașinii

In decursul încercărilor efectuate în cadrul subcapitolului 3.1, folosindu-se jaloanele distanțiale la  $S = 100$  m și cronometrindu-se timpii  $t_i$  ai parcursurilor executate, în cele patru repetiții, prin aplicarea relației:

$$v_m = \frac{\sum_{i=1}^n \frac{S}{t_i}}{n}, \quad [\text{m/s}] \quad (85)$$

s-au obținut valorile vitezelor medii de lucru, în toate treptele de viteză folosite, care sunt prezentate (atât în m/s cât și în km/h), în primele coloane ale tabelului 10. Se subliniază că valorile inscrise în tabelul 10 reprezintă, pentru fiecare treaptă în parte, valorile medii obținute la folosirea ambelor prize de putere. S-au prezentat valorile medii deoarece diferențele de viteză în aceleasi trepte, la folosirea celor două prize, sunt foarte mici (de ordinul

$\text{m/s} \cdot 10^{-2}$ ).

**3.3. Rezistență specifică medie pe 1 m lățime de lucru**

Aplicîndu-se relația generală:

$$r_m = \frac{R_m}{B_m}, \quad [\text{N/m}] \quad (86)$$

în care:

$B_m$  - lățimea de lucru a mașinii, [ $\text{m}$ ]

au fost calculate și tabelate valorile rezistențelor specifice,

Tabelul 13. Rezistențele specifice pe 1 m lățime de lucru

Treapta	$r_d = \frac{R_d}{3,2}$	$r_{ct}$	$r_{ca}$	$r_{gr}$	$r_m = (r_d + r_{ca} + r_{gr})$	$r_m = \frac{R_m}{3}$ *
0	1	2	3	4	5	6
I <sub>fs</sub>	906	167	$\frac{267}{467}$	367	$\frac{1540}{1740}$	$\frac{1600}{1800}$
I <sub>fi</sub>	.	.	.	.	.	.
I <sub>rs</sub>	1000	167	$\frac{300}{533}$	400	$\frac{1700}{1933}$	$\frac{1767}{2000}$
I <sub>ri</sub>	.	.	.	.	.	.
II <sub>fs</sub>	1031	167	$\frac{333}{533}$	400	$\frac{1764}{1964}$	$\frac{1833}{2033}$
II <sub>fi</sub>	.	.	.	.	.	.
II <sub>rs</sub>	1125	167	$\frac{500}{667}$	467	$\frac{2092}{2259}$	$\frac{2167}{2333}$
II <sub>ri</sub>	.	.	.	.	.	.
III <sub>fs</sub>	1125	167	$\frac{467}{633}$	467	$\frac{2061}{2225}$	$\frac{2133}{2300}$
III <sub>fi</sub>	.	.	.	.	.	.
III <sub>rs</sub>	1250	200	$\frac{767}{767}$	533	$\frac{2550}{2550}$	$\frac{2633}{2633}$
III <sub>ri</sub>	.	.	.	.	.	.
IV <sub>f</sub>	1250	200	700	533	2483	2567
IV <sub>r</sub>	1312	200	833	533	2678	2700

\*) Se observă că între valorile inscrise în coloanele 5 și 6 sunt diferențe foarte mici (între 60 și 90 N), deci neglijabile.

atât ale componentelor combinatorului ( $r_d$ ,  $r_{ca}$ ,  $r_{gr}$ ) cît și  
-le întregii mașini,  $r_m$  (tabelul 13), valoarea din urmă fiind  
calculată atât ca sumă a celor trei rezistențe specifice par-  
țiale (coloana 5), cît și ca  $\frac{1}{3} R_m$  (coloana 6).

### 3.4. Patinarea medie

Acest indice reprezintă diferența dintre numărul de rotații al roților motoare în sarcină și numărul lor de rotații în gol, reportată la numărul de rotații în gol, după cum se vede din relația:

$$\delta_m = \frac{\sum_{i=1}^n \left( \frac{n_s - n_g}{n_g} \right)}{n} \cdot 100 . [\%] \quad (87)$$

Se subliniază că atât  $n_s$  cît și  $n_g$  din relația (87) reprezintă media aritmetică a numărului rotațiilor celor două roți motoare, adică:

$$n = \frac{n_{dr} + n_{st}}{2} \quad (\text{în sarcină și în gol}).$$

Valorile calculate sunt prezentate (tabelul 14), în funcție de treptele de viteză folosite și de priza cu care s-a lucrat.

Tabelul 14. Valorile lui  $\delta_m$ , în funcție de viteză  
și de priza de putere folosite

Treapta de viteză	$I_{fs}$	$I_{fi}$	$I_{rs}$	$I_{ri}$	$II_{fs}$	$II_{fi}$	$II_{rs}$	$II_{ri}$
$\delta_m$ [%]	4,4	4,6	5	5,2	6,1	6,7	6,8	7,1
	$III_{fs}$	$III_{fi}$	$III_{rs}$	$III_{ri}$	$IV_{f}$	$IV_{r}$		
	6,2	6,8	9,1	9,2	7,3	16,4		

Variatia patinării, la folosirea ambelor prize, în funcție de viteză, este redată în fig. 68.

Se observă din tabelul 14 că valorile patinării sunt ceva mai mari la utilizarea prizei independente, ceea ce se explică prin turatia mai mare a granelor rotative la folosirea acestei

prize. De asemenea, din fig. 68 se vede că patinarea crește cu creșterea vitezei de lucru.

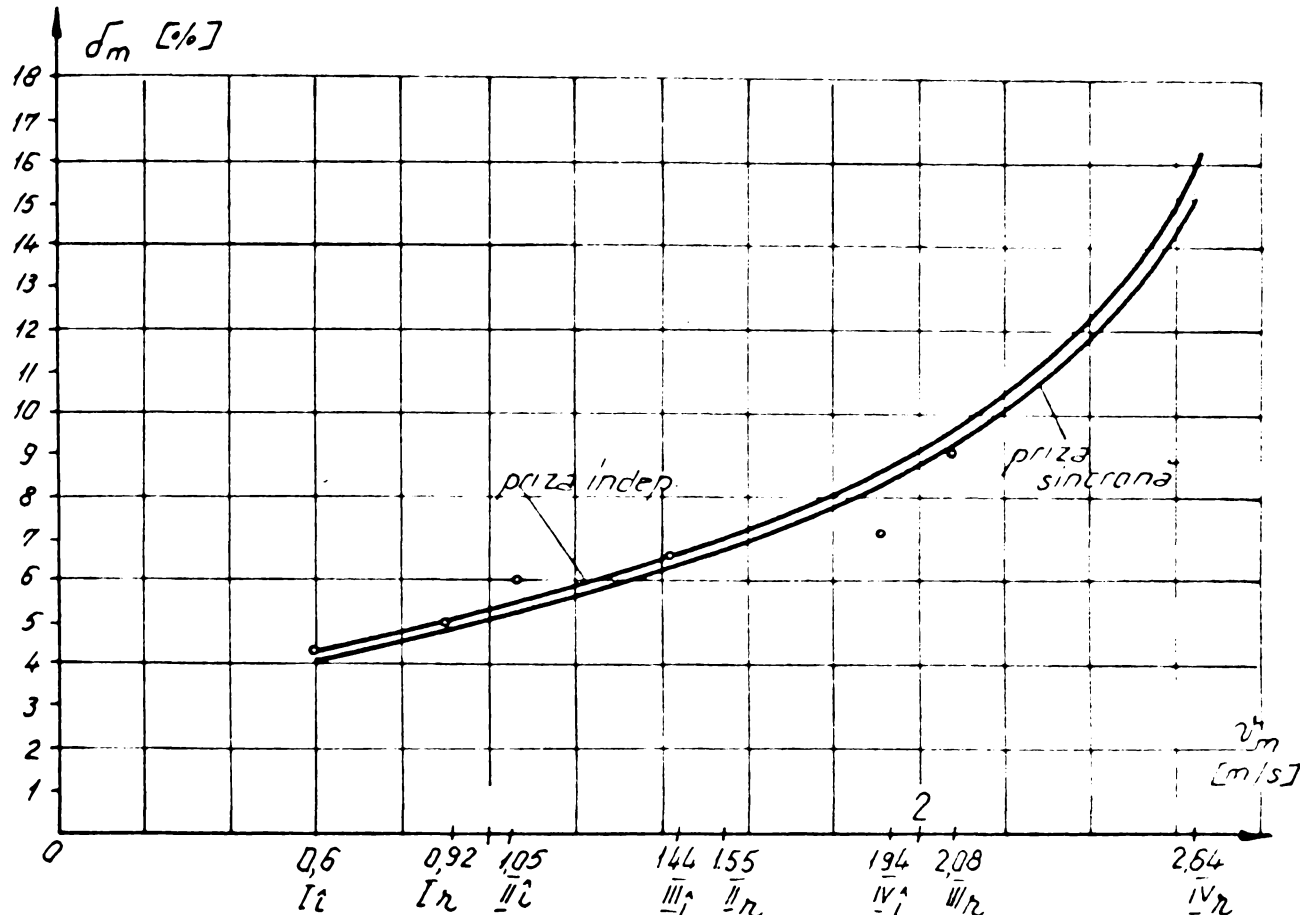


Fig.68 Variația patinării cu viteza de lucru

### 3.5. Consumul mediu orar de combustibil

Determinindu-se densitatea motorinei folosite ( $\gamma = 0,86 \text{ g/cm}^3$ ), odată cu stabilirea vitezelor de lucru (3.2), cînd s-au cronometrat timpii  $t_i$  ai parcursurilor, s-a folosit aparatul pentru determinarea consumului, citindu-se la fiecare determinare, volumele  $V_i [\text{cm}^3]$  de combustibil consumat.

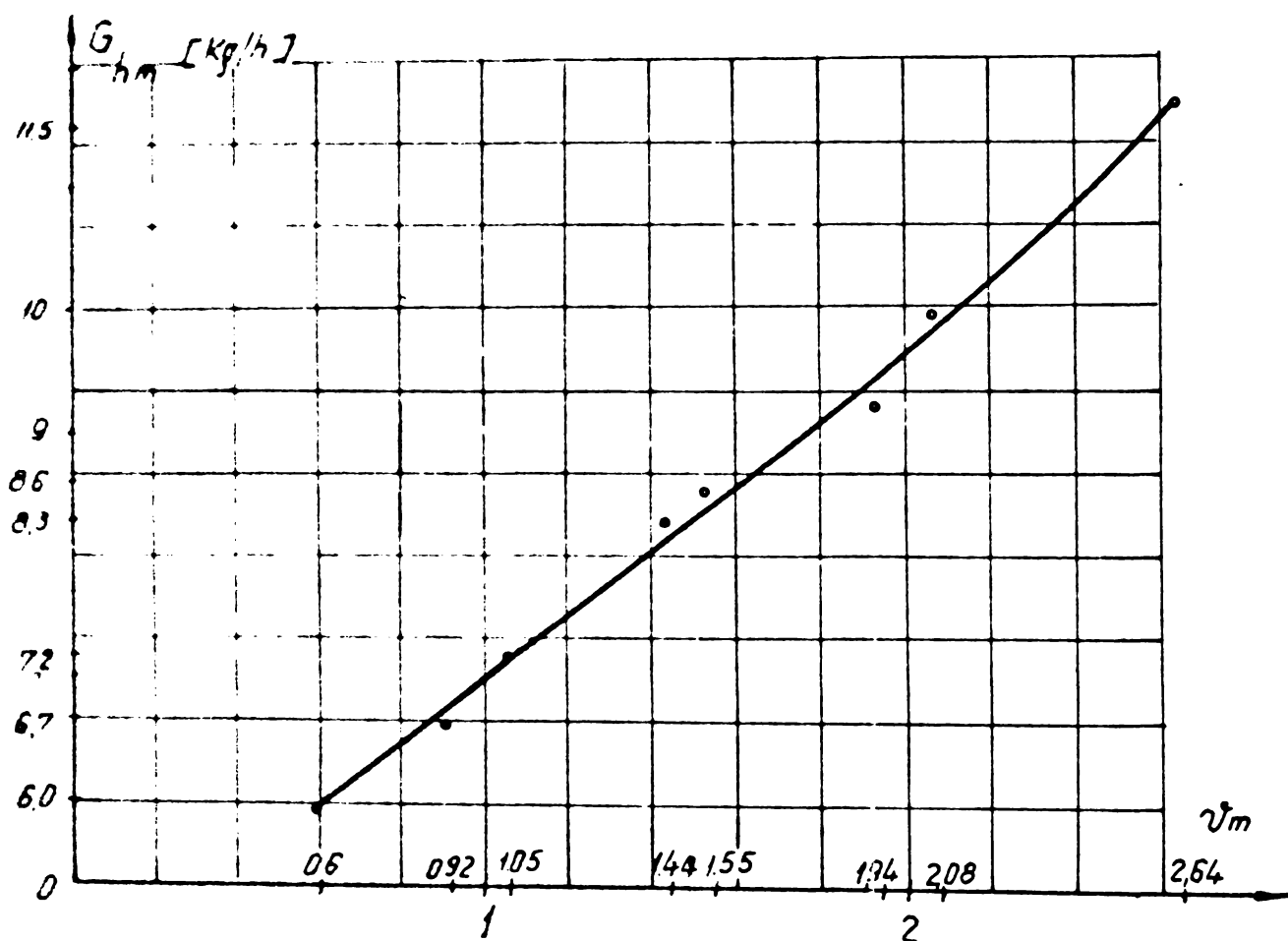
Prin înlocuirea valorilor în relația:

$$G_{hm} = 3,6 \gamma \frac{\sum_{i=1}^n \frac{V_i}{t_i}}{n}, \quad [\text{kg/h}] \quad (88)$$

s-au aflat consumurile medii orare și s-au tabelat (tabelul 15), variația lor cu viteza de lucru fiind înfășisată în fig. 69.

**Tabelul 15 Consumul mediu orar de combustibil funcție de viteză**

Treapta	I <sub>f</sub>	I <sub>r</sub>	II <sub>f</sub>	II <sub>r</sub>	III <sub>f</sub>	III <sub>r</sub>	IV <sub>f</sub>	IV <sub>r</sub>
G <sub>hm</sub> [kg/h]	6,0	6,7	7,2	8,6	8,3	10,0	9,3	11,5



**Fig.69 Variatia consumului medi orar de combustibil cu viteza de lucru**

### 3.6. Productivitatea tehnică orară convențională medie

Cu vitezele de lucru cunoscute v<sub>m</sub> [km/h] (tabelul 10) și cu lățimea de lucru a mașinii B<sub>m</sub> [m], indicele respectiv se află aplicind relația:

$$w_{tm} = 0,1 B_m \cdot v_m, \quad [\text{ha/h}] \quad (89)$$

valorile obținute fiind înscrise în tabelul 16, iar variația lor cu viteza, prezentată în fig. 70.

Tabelul 16.  $w_{tm}$  în funcție de  $v_m$

$v_m$ [km/h]	2,2 (I <sub>f</sub> )	3,3 (I <sub>r</sub> )	3,8 (II <sub>f</sub> )	5,6 (II <sub>r</sub> )	5,2 (III <sub>f</sub> )	7,5 (III <sub>r</sub> )	7,0 (IV <sub>f</sub> )	9,5 (IV <sub>r</sub> )
$w_{tm}$ [ha/h]	0,66	0,99	1,14	1,68	1,56	2,25	2,1	2,85

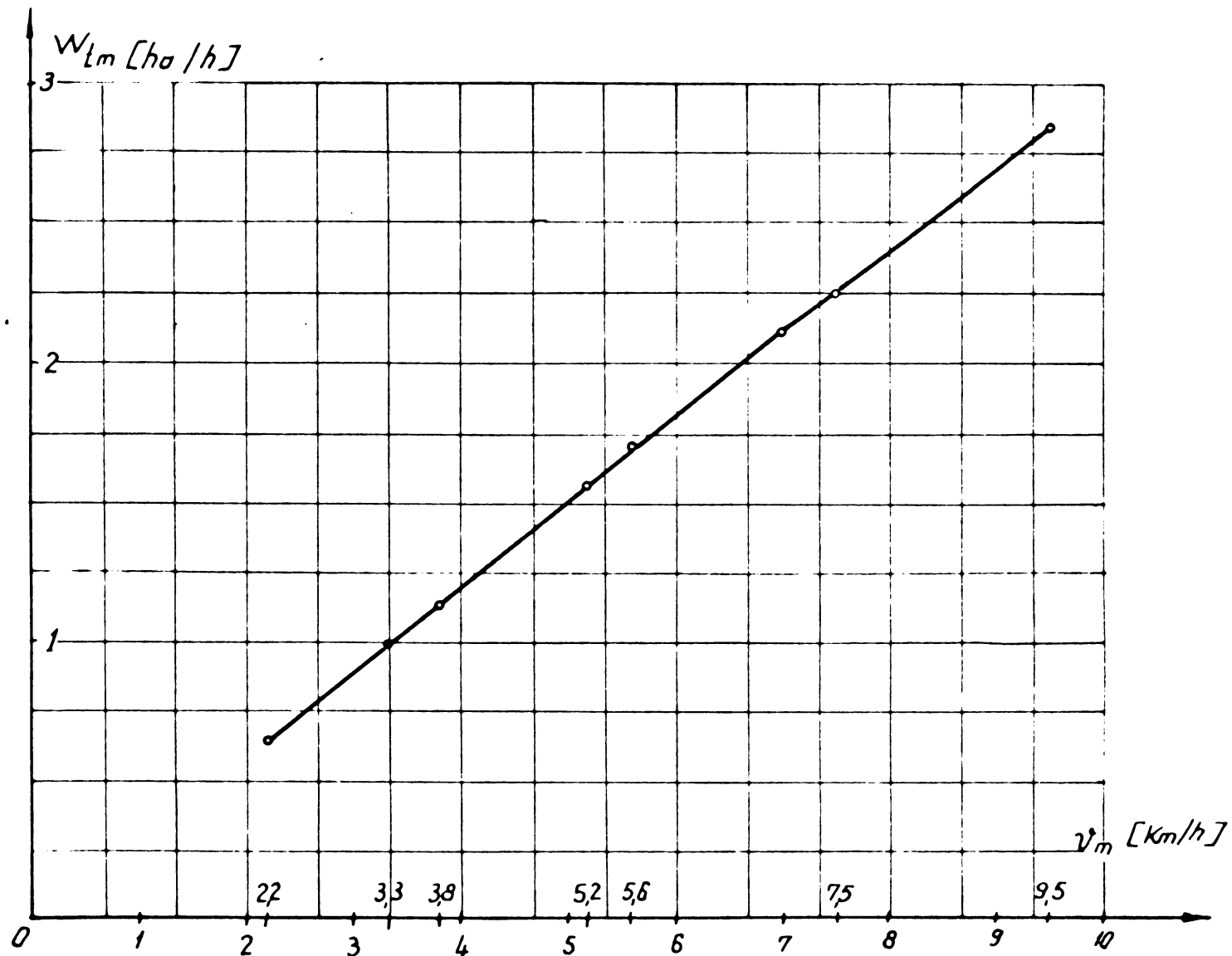


Fig.70 Variatia productivitatii tehnice orare conventionale medii cu viteza de lucru

### 3.7. Consumul mediu de combustibil la hektar

Acest indice rezultă din raportarea consumului mediu orar  $B_{hm}$  la productivitatea tehnică orară convențională medie  $w_{tm}$ , deci relația are aspectul:

$$Q_m = \frac{G_{hm}}{W_{tm}} , \quad [\text{kg/ha}] \quad (90)$$

sau, în unități de volum la unitatea de suprafață:

$$Q'_m = \frac{Q_m}{\gamma} \quad [l/\text{ha}] \quad (90')$$

Valorile indicilor  $Q_m$  și  $Q'_m$  sunt date în tabelul 17, iar variația lui  $Q_m$  cu viteza de lucru, prezentată în fig. 71.

Preapta de viteză	I <sub>f</sub>	I <sub>r</sub>	II <sub>f</sub>	II <sub>r</sub>	III <sub>f</sub>	III <sub>r</sub>	IV <sub>f</sub>	IV <sub>r</sub>
$Q_m$ [kg/ha]	9,1	6,8	6,3	5,1	5,3	4,4	4,4	4,0
$Q'_m$ [l/ha]	10,6	7,9	7,3	6,0	6,2	5,1	5,1	4,6

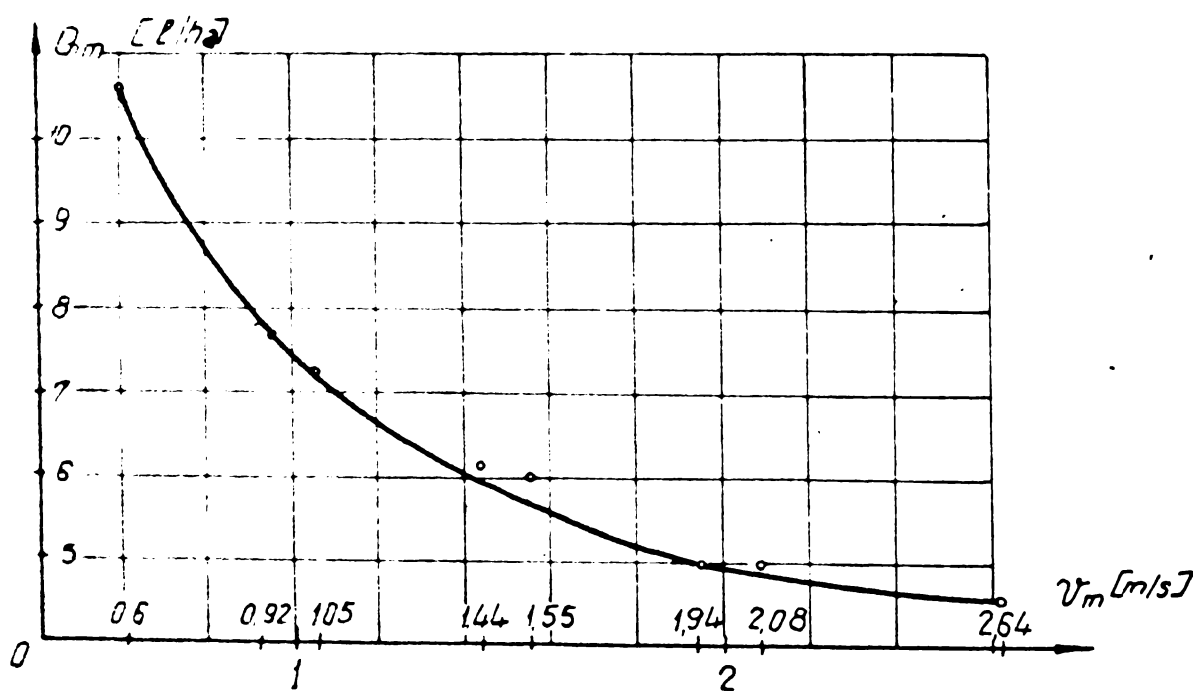


Fig.71 Variația consumului mediu la hecitar cu viteza de lucru

### 3.8. Puterea medie la cîrlig

Puterea [W] fiind produsul dintre forță [N] și viteza

[m/s], rezultă:

$$P = F \cdot v \cdot 10^{-3}, \quad [\text{kW}] \quad (91)$$

sau, respectiv:

$$P = 1,36 F \cdot v \cdot 10^{-3} [\text{CP}] \quad (92)$$

Că și în cazul forței medii de rezistență la tracțiune  $R_m$ , cunoscându-se valorile lui  $v_m$  precum și valorile  $R_d$ ,  $R_{ca}$  și  $R_{gr}$ , s-au calculat:

$$P_d = R_d \cdot v_m \cdot 10^{-3};$$

$$P_{ca(s)} = R_{ca(s)} \cdot v_m \cdot 10^{-3};$$

$$P_{ca(i)} = R_{ca(i)} \cdot v_m \cdot 10^{-3};$$

$$P_{gr} = R_{gr} \cdot v_m \cdot 10^{-3}.$$

In continuare s-au calculat și valorile puterii medii pentru întregul combinator:

$$P_m(s) = R_{m(s)} \cdot v_m \cdot 10^{-3} \text{ și}$$

$$P_m(i) = R_{m(i)} \cdot v_m \cdot 10^{-3},$$

valori care au fost date, în continuare, atât în kW cât și CP.

- Puterea medie la cărlig pentru acționarea grăpei cu discuri

Aplicându-se relațiile generale (91) și (92) au fost obținute valorile lui  $P_d$  prezentate în tabelul 18.

- Puterea medie la cărlig pentru grapa rotativă cu colți

Valorile obținute pentru  $P_{ca}$  prin aplicarea relațiilor cunoscute sunt redate în tabelul 19.

- Puterea medie la cărlig pentru grăpele rulante

Valorile calculate sunt prezentate în tabelul 20.

Tabelul 18. Valorile lui  $P_d$  funcție de  $v_m$  și  $R_d$

$v_m$ , $R_d$ , $P_d$ Treapta de viteză	$v_m$ [m/s]	$R_d$ [N]	$P_d$	
			[kW]	[CP]
I <sub>f</sub>	0,61	2900	1,76	2,4
I <sub>r</sub>	0,92	3200	2,95	4,0
II <sub>f</sub>	1,05	3300	3,47	4,7
II <sub>r</sub>	1,55	3600	5,58	7,6
III <sub>f</sub>	1,44	3600	5,18	7,0
III <sub>r</sub>	2,08	4000	8,33	11,3
IV <sub>f</sub>	1,94	4000	7,75	10,5
IV <sub>r</sub>	2,64	4000	10,5	14,4

Tabelul 19.  $P_{ca}$  funcție de  $v_m$  și  $R_{ca}$

$v_m$ , $R_{ca}$ , $P_{ca}$ Treapta de viteză	$v_m$ [m/s]	$R_{ca}$ [N]	$P_{ca}$	
			[kW]	[CP]
I <sub>fs</sub>	0,61	800	0,48	0,66
I <sub>fi</sub>	0,61	1400	0,85	1,16
I <sub>rs</sub>	0,92	900	0,83	1,13
I <sub>ri</sub>	0,92	1600	1,47	2,0
II <sub>fs</sub>	1,05	1000	1,05	1,43
II <sub>fi</sub>	1,05	1600	1,58	2,15
II <sub>rs</sub>	1,55	1500	2,32	3,15
II <sub>ri</sub>	1,55	2000	3,1	4,2
III <sub>fs</sub>	1,44	1400	2,02	2,75
III <sub>fi</sub>	1,44	1900	2,73	3,7
III <sub>rs</sub>	2,08	2300	4,8	6,5
III <sub>ri</sub>	2,08	2300	4,8	6,5
IV <sub>f</sub>	1,94	-	4,07	5,5
IV <sub>r</sub>	2,64	-	6,6	9,0

- Puterea medie necesară pentru întregul combinator  $P_m$  are valorile prezentate în tabelul 21. Variația valorilor  $P_m$  cu  $v_m$  și respectiv cu  $R_m$  sunt reprezentate grafic în fig. 72 și 73.

Tabelul 20.  $P_{gr}$  funcție de  $v_m$  și  $R_{gr}$

$v_m, R_{gr}, P_{gr}$ Treapta de viteză	$v_m$ [m/s]	$R_{gr}$ [N]	$P_{gr}$	
			[kW]	[CP]
I <sub>f</sub>	0,61	1100	0,67	0,9
I <sub>r</sub>	0,92	1200	1,1	1,5
II <sub>f</sub>	1,05	1200	1,26	1,7
II <sub>r</sub>	1,55	1400	2,17	2,9
III <sub>f</sub>	1,44	1400	2,0	2,7
III <sub>r</sub>	2,08	1600	3,32	4,5
IV <sub>f</sub>	1,94	1600	3,1	4,2
IV <sub>r</sub>	2,64	1600	4,22	5,7

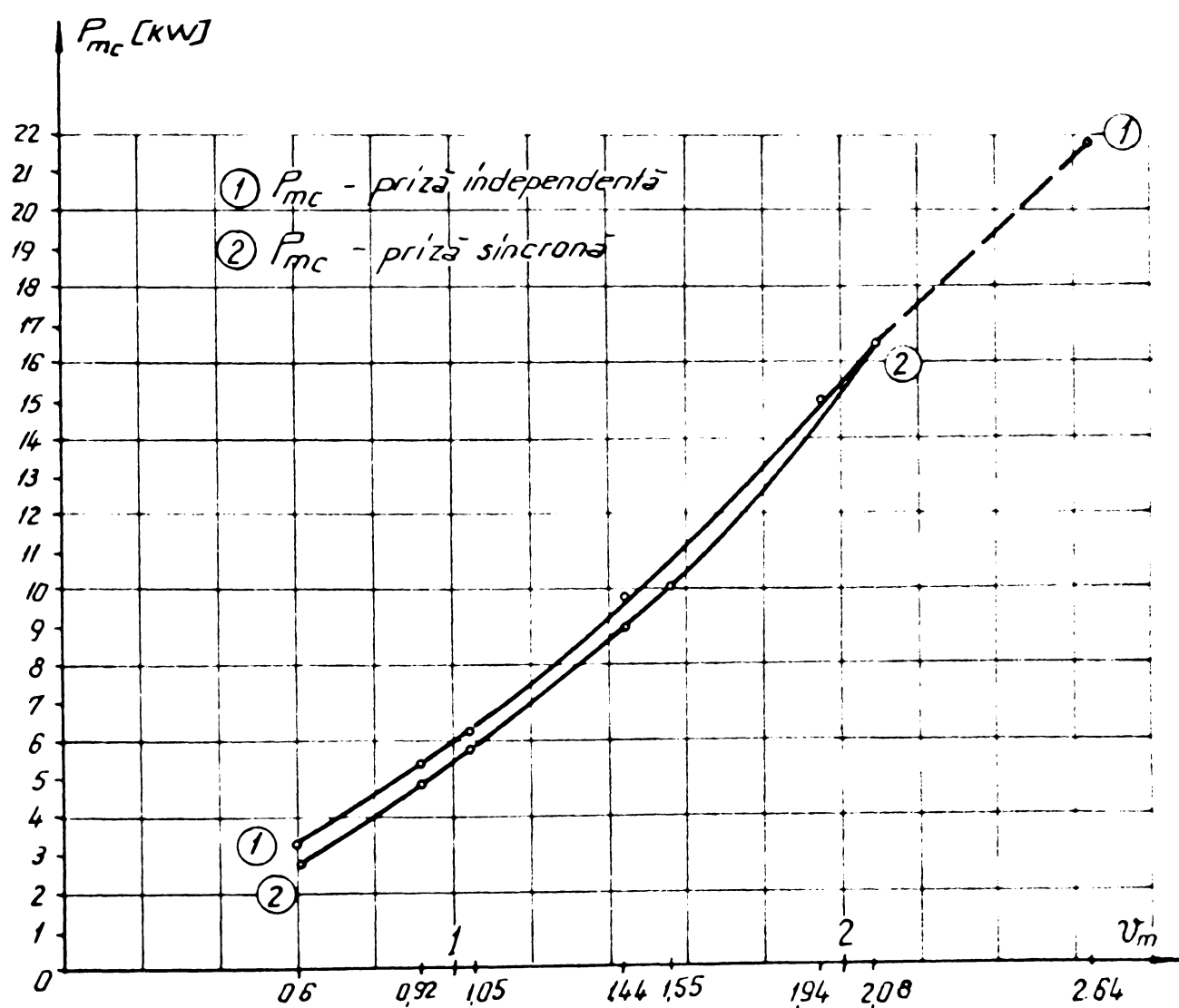


Fig.72 Variația puterii de tracțiune medie  
cu viteză de lucru

Tabelul 21. Valorile  $P_m$  la diferite trepte de viteză  
funcție de  $v_m$  și  $R_m$

$v_m$ , $R_m$ , $P_m$	$v_m$ [m/s]	$R_m$ [N]	$P_m$	
Treapta de viteză	[m/s]	[N]	[kW]	[CP]
I <sub>fs</sub>	0,61	4500	2,9	4,0
I <sub>fi</sub>	0,61	5400	3,3	4,4
I <sub>rs</sub>	0,92	5300	4,9	6,6
I <sub>ri</sub>	0,92	6000	5,5	7,5
II <sub>fs</sub>	1,05	5500	5,8	7,9
II <sub>fi</sub>	1,05	6100	6,4	8,7
II <sub>rs</sub>	1,55	6500	10,0	13,6
II <sub>ri</sub>	1,55	7000	10,8	14,8
III <sub>fs</sub>	1,44	6400	9,2	12,5
III <sub>fi</sub>	1,44	6900	9,9	13,5
III <sub>r</sub>	2,08	7900	16,4	22,3
III <sub>ri</sub>	2,08	7900	16,4	22,3
IV <sub>f</sub>	1,94	7700	15,0	20,3
IV <sub>r</sub>	2,64	8100	21,4	29,1

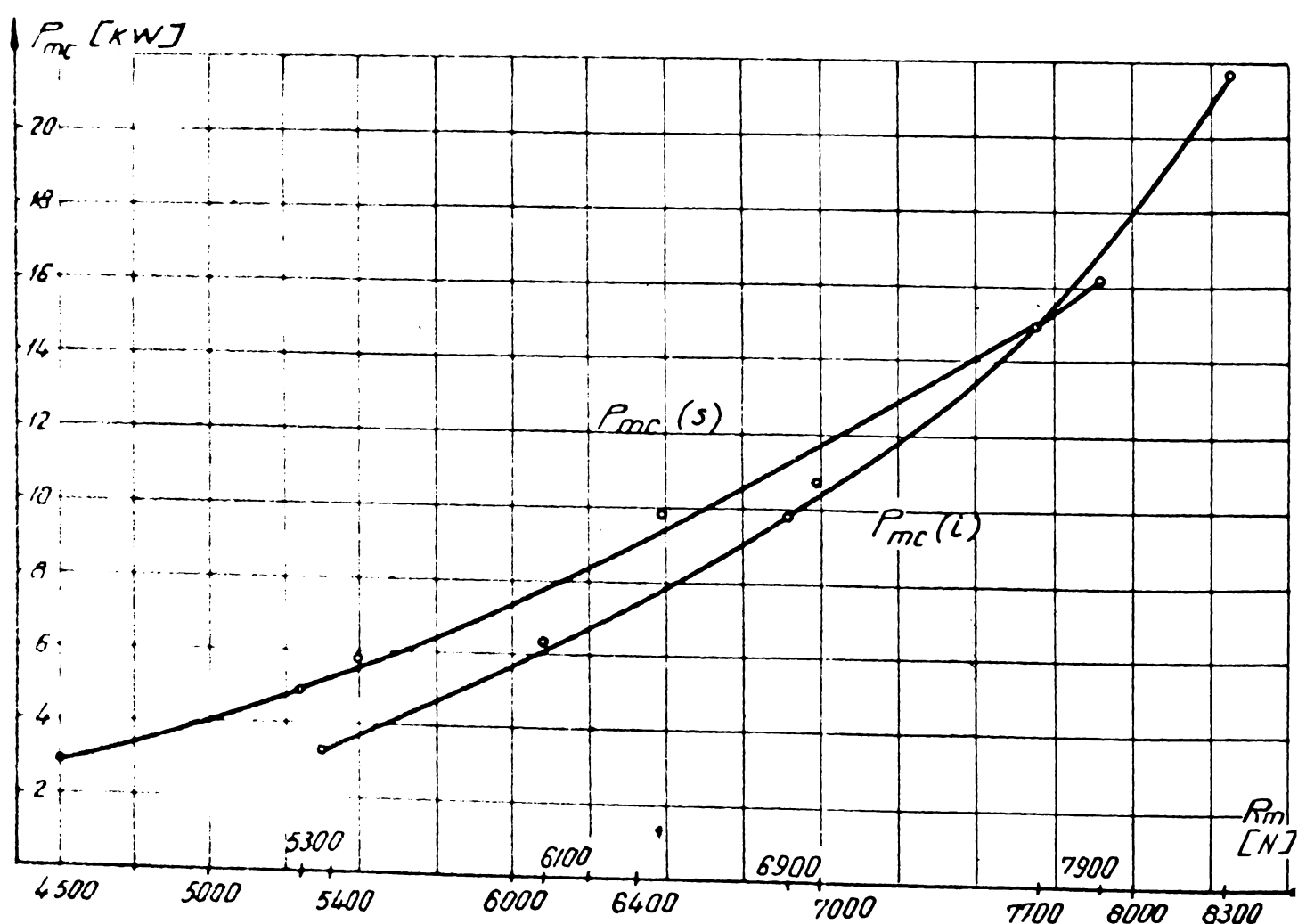


Fig. 73 Variatia puterii de tracțiune motorului

### 3.9. Randamentul de utilizare a forței la cîrlig

Acest parametru reprezintă raportul dintre forța medie de rezistență la tracțiune și forța maximă la cîrlig  $F_{c \max}$ , scoasă din caracteristica de tracțiune a tractorului, adică:

$$\eta_c = \frac{R_m}{F_{c \max}} . \quad (93)$$

Valorile forței maxime la cîrlig sunt prezentate în tabelul 22, iar variația ei cu viteză de lucru este redată în fig. 74.

Tabelul 22. Valorile lui  $F_{c \max}$  funcție de viteză

Treapta		I <sub>f</sub>	I <sub>r</sub>	II <sub>f</sub>	II <sub>r</sub>	III <sub>f</sub>	III <sub>r</sub>	IV <sub>f</sub>	IV <sub>r</sub>
$F_{c \max}$	[kgf]	1480	1300	1240	1030	1080	900	980	860
	[N]	14519	12753	12164	10104	10595	8829	9614	8436

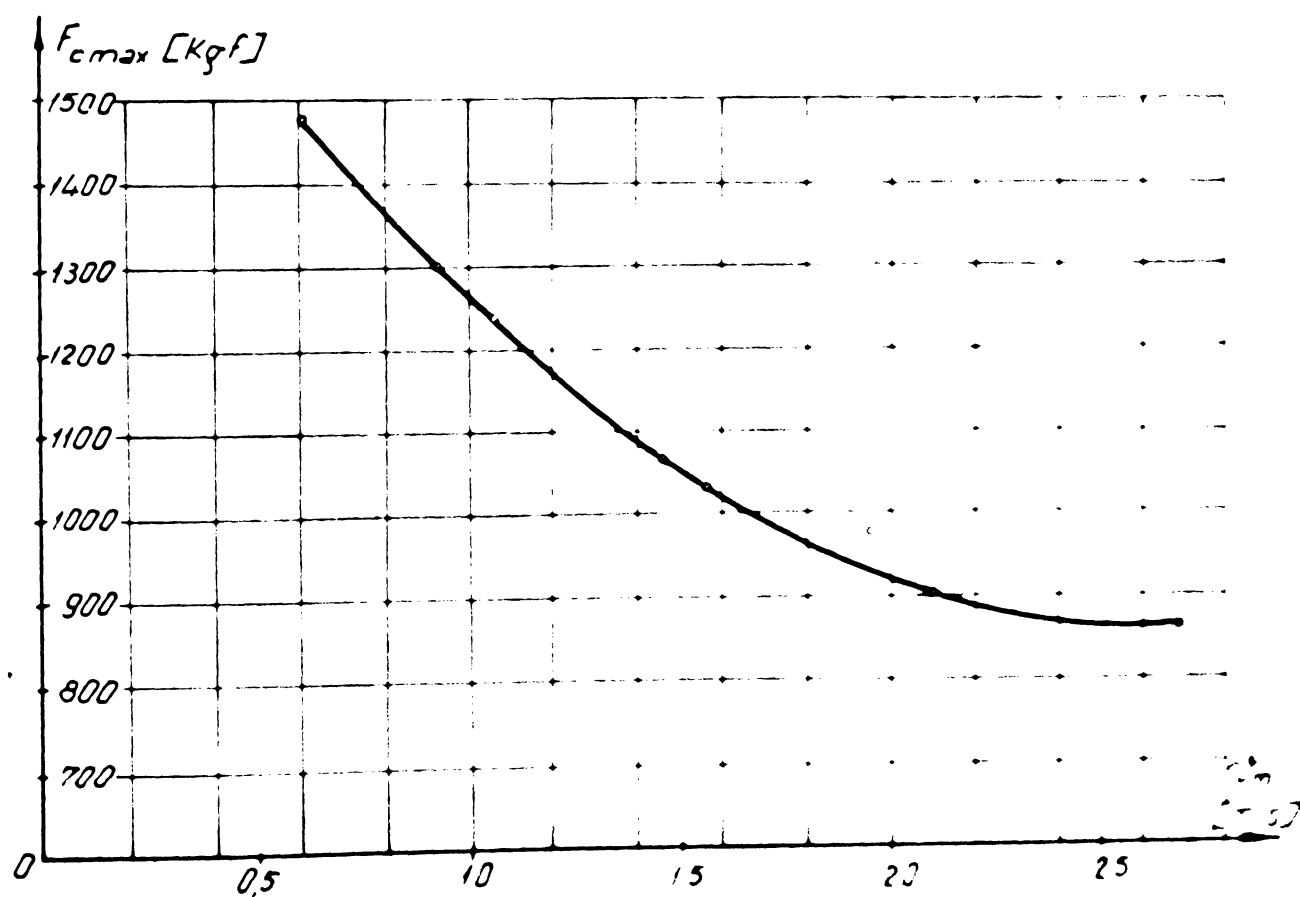


Fig.74 Variația forței maxime la cîrlig cu viteză de lucru

Cunoscindu-se valorile lui  $R_m$  (tabelul 21) și cu valorile lui  $F_c \max$  din tabelul 22 s-au calculat valorile randamentului de utilizare a forței la cișligr, prezentate în tabelul 23.

Tabelul 23.  $\eta_c$  funcție de treapta de viteză

Treapta	$I_f$		$I_r$		$II_f$		$II_r$	
	s	i	s	i	s	i	s	i
$\eta_c$	0,33	0,37	0,41	0,47	0,45	0,50	0,64	0,69
	$III_f$		$III_r$		$IV_f$		$IV_r$	
	s	i	s	i	i		i	
	0,60	0,65	0,89	0,89	0,80	0,96		

In fig. 75 este prezentată variația lui  $\eta_c$  în funcție de viteză, în cazurile folosirii ambelor prize de putere.

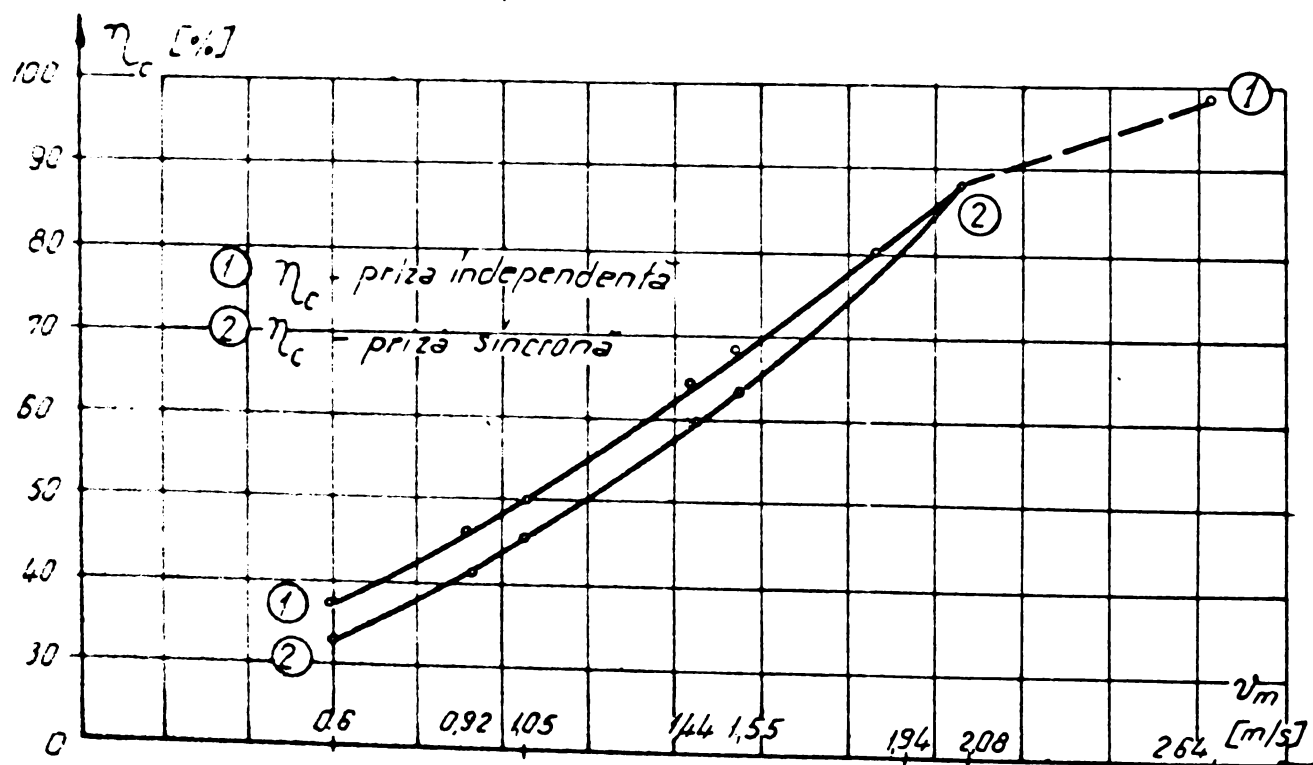


Fig.75 Variatia randamentului de utilizare a forței la cișligr cu viteza de lucru

## Capitolul 4. Indicii calitativi de lucru ai mașinii

### 4.1. Adîncimea medie de lucru a organelor mașinii

Acest indice s-a determinat cu combinatorul lucrând la adîncimea maximă, ceea ce s-a realizat în poziția „flotant” a manetei de comandă a distribuitorului hidraulic.

In această situație, de-a lungul parcursurilor de cîte 100 m, oprind agregatul din 5 în 5 m, s-a măsurat cu rigla gradată adîncimea de pătrundere a colților grapelor acționate și s-a făcut o medie a celor douăzeci de măsurători, pentru fiecare repetiție, astfel că valoarea indicelui în cauză s-a obținut prin aplicarea formulei:

$$A_{mc} = \frac{\sum_{i=1}^n A_i}{n}, \quad [m] \quad (94)$$

unde:

$A_i$  - adîncimile de lucru ale colților, măsurate în cele douăzeci de locuri echidistante, [m].

Cu ocazia acelorasi opriri s-a făcut și măsurarea adîncimii de pătrundere a spirelor grapelor elicoidale  $A_{mgr}$ .

Cunoscindu-se  $A_{mc}$  și știind că adîncimea de lucru a colților este mai mică cu 0,03 m decît adîncimea de lucru a discurilor sferice, s-a stabilit și adîncimea medie de lucru a discurilor:

$$A_{md} = A_{mc} + 0,03. \quad [m]$$

Valorile adîncimilor de lucru sunt prezentate în tabelul 24, din care se observă că ea scade cu creșterea vitezei de lucru.

Scăderea adîncimii de lucru odată cu creșterea vitezei de deplasare a agregatului se datorează efectului de „portanță”, care se manifestă asupra mașinii, și în special asupra primei organe de lucru care iau contact cu solul, discurile.

a) Abaterea medie pozitivă și negativă față de adîncimea de lucru a colților grapei rotative acționate este dată de relația:

Tabelul 24. Valorile  $A_{mc}$ ,  $A_{md}$  și  $A_{mgr}$ , funcție de viteză

Treapta	$I_f$	$I_r$	$II_f$	$II_r$	$III_f$	$III_r$	$IV_f$	$IV_r$
$A_{md}$ [m]	0,14	0,14	0,14	0,14	0,14	0,13	0,14	0,12
$A_{mc}$ [m]	0,11	0,11	0,11	0,11	0,11	0,10	0,11	0,09
$A_{mgr}$ [m]	0,04	0,04	0,04	0,04	0,04	0,03	0,03	0,03

$$\pm \delta_A = \frac{\sum_{i=1}^n |A_i - A_m|}{n} \quad (95)$$

și are valoarea de  $\pm 0,33 \cdot 10^{-2}$  [m].

b) Abaterile accidentale maxime pozitivă și negativă de la adâncimea de lucru au forma:

$$\left. \begin{array}{l} + \Delta A = A_{\max} - A_m \text{ și} \\ - \Delta A = - (A_{\min} - A_m) , \end{array} \right\} \quad (96)$$

iar valorile de  $+ 1 \cdot 10^{-2}$ , respectiv  $- 0,5 \cdot 10^{-2}$  [m].

c) Abaterea medie pătratică corectată(abaterea standard):

$$G = \pm \sqrt{\frac{\sum_{i=1}^n (A_i - A_m)^2}{n-1}} , \quad (97)$$

iar valoarea ei este de  $\pm 0,432 \cdot 10^{-2}$  [m].

d) Coeficientul de variație (gradul de neuniformitate) a adâncimii de lucru reprezintă raportul:

$$V = \pm \frac{G}{A_m} , \quad (98)$$

și este, valoric, 0,037, adică de 3,7%, valoare care se încadrează în limitele cerinței :  $V \leq \pm 0,1 \dots 0,12$ .

e) Gradul de uniformitate a adâncimii de lucru reiese scăzîndu-se din 100 valoarea gradului de neuniformitate (v obținut la punctul anterior), adică:

$$U_{A_m} = 100 - 3,7 = 96,3 \text{ . } [\%]$$

#### 4.2. Lățimea medie de lucru a mașinii

După relația generală de stabilire a valorii sale, aceasta este:

$$B_m = \frac{\sum_{i=1}^n B_i}{n} , \quad [m] \quad (99)$$

unde:

$B_i$  - lățimile de lucru măsurate la fiecare parcurs [m]

n - numărul repetițiilor (parcursurilor)

Privitor la această mărime, este de făcut observația că mașina prelucrează complet solul pe 3 m lățime, întrucât bateriile de discuri, a căror lățime de lucru este de 3,2 m, prelucrează solul incomplet, ele nefăcînd altceva decît să înceapă sfărîmarea bulgărilor de sol. Pentru acest motiv întemeiat, lățimea de lucru a combinatorului este considerată de 3 m. Combinatorul, avînd o mare stabilitate laterală în lucru, datorită rotirii în sensuri opuse a celor trei rotoare din stînga și a celor trei din dreapta, la măsurările efectuate nu au fost percepute abateri de la valoarea lățimii de lucru, între parcursuri, astfel că, pentru toate repetițiile și la toate vitezele de lucru, s-a considerat  $B_m = 3 \text{ m}$ .

In ceea ce privește diferențele care au rezultat la calcularea parametrilor  $r_m$ , așa cum se observă din tabelul 13 considerînd  $R_d = 3,2 \text{ și respectiv } R_d = 3 \text{ m}$ , ele sunt neglijabile sub toate aspectele practice ce ar putea să intereseze, după cum s-a mai arătat.

#### 4.3. Gradul de măruntire a solului la suprafață

Folosindu-se rama de 1 x 1 m, în zece poziții echidistante ale fiecăruia parcurs (la 10, 20 ... 100 m de la primul jalon)

s-au măsurat suprafețele ocupate de bulgării mai mari de 5 cm înainte de trecerea combinatorului ( $S_{it}$ ) și suprafețele ocupate de bulgării mai mari de 5 cm după trecerea combinatorului ( $S_{dt}$ ) și s-au făcut mediile repetițiilor.

Introducindu-se valorile mediilor în relație:

$$G_{ms} = \frac{\sum_{i=1}^n \frac{S_{dt}}{S_{it}}}{n} \cdot 100, \quad [\%] \quad (100)$$

s-au obținut cifrele prezentate în tabelul 25.

Tabelul 25. Valorile lui  $G_{ms}$ , funcție de treapta și de priză

Treapta	I <sub>f</sub>	I <sub>r</sub>	II <sub>f</sub>	II <sub>r</sub>	III <sub>f</sub>	III <sub>r</sub>	IV <sub>f</sub>	IV <sub>r</sub>
Priza	s i	s i	s i	s i	s i	s i	i i	i i
$G_{ms} [\%]$	46	89	51	86	53	82	61	72

In fig. 76 este redată reprezentarea grafică a variației valorii  $G_{ms}$ , în funcție de viteza de lucru și de priza de putere folosită.

Se face observația că măruntirea solului la suprafață se datorează efectului cumulat al granelor rotativă acționată

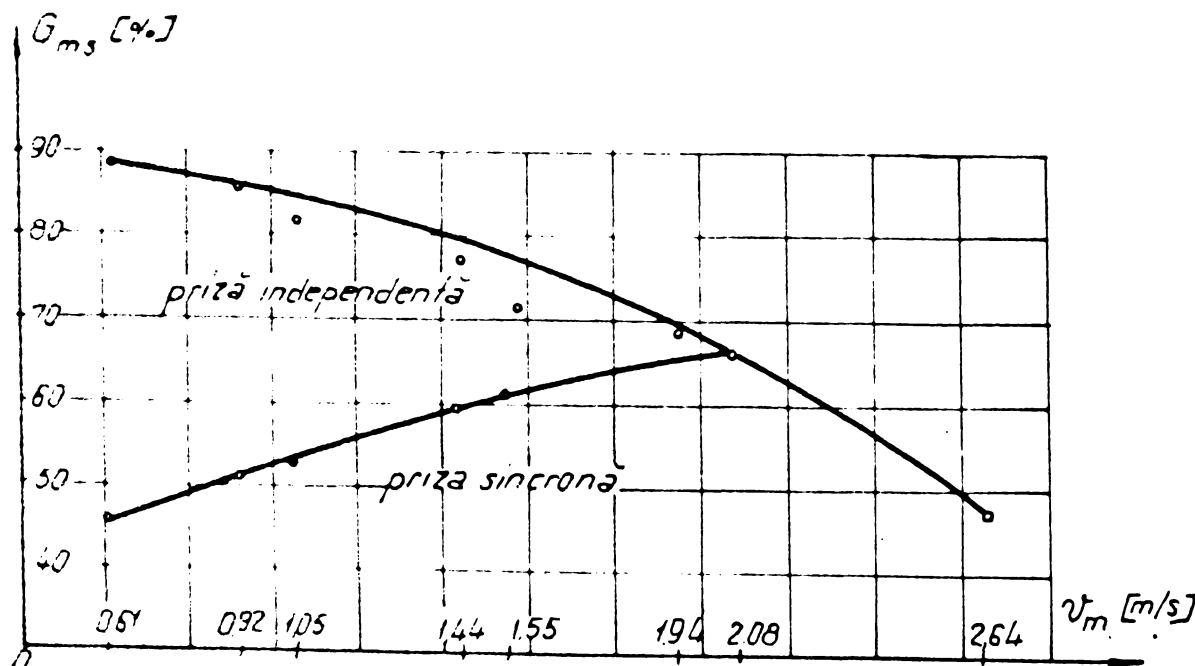


Fig. 76 Variația gradului de măruntire a solului la suprafață în funcție de viteza de lucru

de la priza de putere și rulantă elicoidală, astfel că variația gradului de măruntire este crescătoare cu viteza - în cazul folosirii prizei de putere sincrone și descrescătoare cu viteza - în cazul folosirii prizei de putere independente. Aceste variații se datorează - pe de-o parte - efectului preponderent al grapei rotative față de cea rulantă și - pe de altă parte - efectului de „porțană” care duce și la micșorarea acțiunii grapei rulante elicoidale.

#### 4.4. Gradul de măruntire a solului în profunzime

Folosindu-se rama de  $1 \times 1 \text{ m}$  de la determinarea precedentă și în aceleasi zece poziții echidistante ale fiecărui parcurs, s-au determinat prin cîntărire: masa totală a solului de pe  $0,2 \text{ m}$  adîncime (deci cca.  $0,2 \text{ m}^3$  sol) -  $G_t$  și masa bulgărilor de sol mai mici decît  $5 \text{ cm}$  din acea masă de sol -  $G_5$ , apoi, prin introducerea valorilor medii obținute în relația:

$$G_{mp} = \frac{\sum_{i=1}^n \frac{G_5}{G_t}}{n} \cdot 100, [\%] \quad (101)$$

au rezultat cifrele prezentate în tabelul 26.

Tabelul 26.  $G_{mp}$  funcție de treapta de viteză și de priză

Treapta	I <sub>f</sub>	I <sub>r</sub>	II <sub>f</sub>	II <sub>r</sub>	III <sub>f</sub>	III <sub>r</sub>	IV <sub>f</sub>	IV <sub>r</sub>
Priza	s	i	s	i	s	i	s	i
$G_{mp} [\%]$	41	61	44	59	45	58	48	52

Reprezentarea grafică a variației valorilor lui  $G_{mp}$  cu viteza, la folosirea ambelor prize de putere, este înfășurată în fig. 77.

Se observă că  $G_{mp}$  are valori mai mici decît  $G_{ms}$ , aceasta deoarece grapa rulantă nu acționează la adîncimi mai mari de  $0,04 \text{ m}$ . Variația sa cu viteza este analogă cu variația lui  $G_{ms}$ , pentru aceleasi motive.

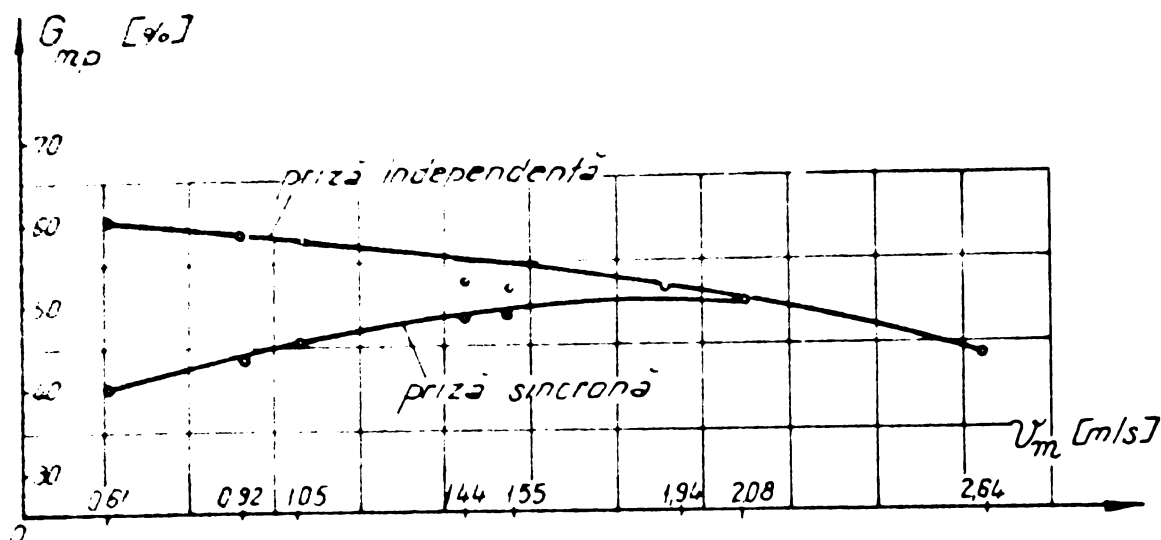


Fig. 77 Variatia gradului de măruntire a solului în profunzime cu viteza de lucru

#### 4.5. Gradul de afinare a solului

Măsurîndu-se, din 5 în 5 m, la fiecare parcurs, grosimea stratului de sol afînat  $D_a$  și cu adîncimile de lucru  $A_i$  deja cunoscute, s-au introdus valorile în relația:

$$G_{as} = \frac{\sum_{i=1}^n \frac{D_a}{A_i}}{n} \cdot 100 , \quad [ \% ] \quad (102)$$

obținîndu-se datele prezentate în tabelul 27.

Tabelul 27. Valorile lui  $G_{as}$  funcție de viteză și de priză

Priză	I <sub>f</sub>	I <sub>n</sub>	II <sub>f</sub>	II <sub>r</sub>	III <sub>f</sub>	III <sub>r</sub>	IV <sub>f</sub>	IV <sub>r</sub>
Priza	s	i	s	i	s	i	s	i
$G_{as}$ [%]	53	78	56	74	57	70	60	64

In fig. 78 sunt prezentate variațiile lui  $G_{as}$  cu viteza, pentru priza sincronă și cea independentă.

#### 4.6. Gradul de nivelare a terenului

$h_i$  - înălțimea denivelărilor parcelei înainte de trecere,

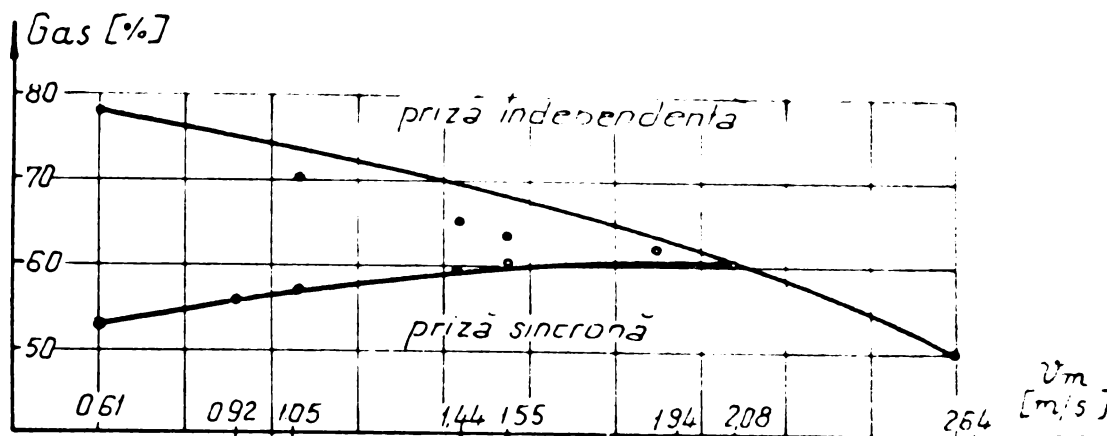


Fig.78 Variația gradului de afinare a solului cu viteza de lucru

$h_d$  - înălțimea denivelărilor după trecerea mașinii; relația care dă gradul de nivelare asigurat de combinator are forma:

$$G_{nt} = \frac{\sum_{i=1}^n \left( \frac{h_i - h_d}{h_i} \right)}{n} \cdot 100 . \quad [ \% ] \quad (103)$$

APLICINDU-SE relația (103), s-au obținut valorile medii prezentate în tabelul 28, iar variația valorilor în funcție de viteza de lucru este reprezentată grafic în fig. 79.

Tabelul 28.  $G_{nt}$  funcție de treapta de viteză

Treapta	$I_f$	$I_r$	$II_f$	$II_r$	$III_f$	$III_r$	$IV_f$	$IV_r$
$G_{nt}$ [%]	75	77	77	80	80	83	85	81

Se face observația că  $G_{nt}$  fiind, în cea mai mare parte, efectul acțiunii grapei rulante elicoidale, valoarea sa nu depinde de priza de putere utilizată și, s-ar părea că el ar trebui să crească o dată cu viteza.

Deoarece însă, la creșterea vitezei forța de apăsare a grapei rulante scade, ca efect al „portanței” despre care s-a mai amintit, acțiunea acestei grape devine mai puțin energetică,

astfel că nivelarea optimă se obține, de fapt, în viteza a IV-a înceată.

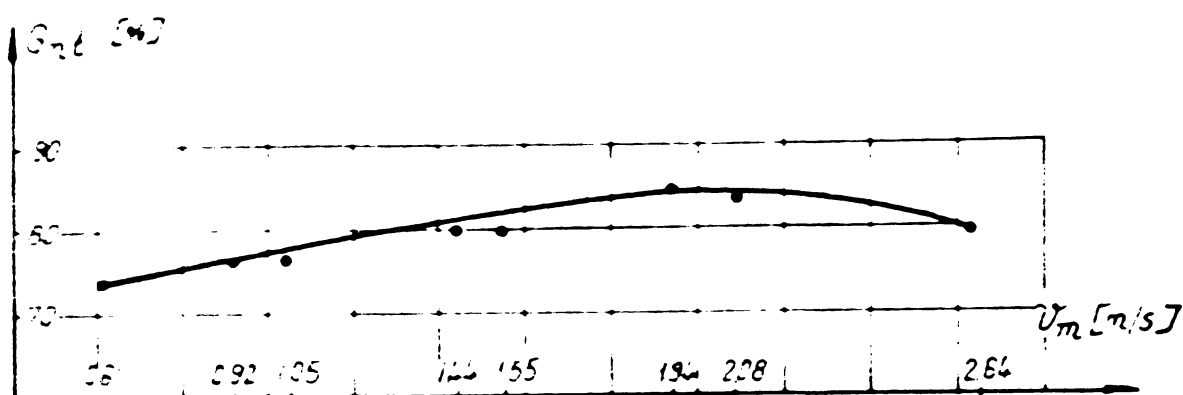


Fig. 79 Variatia gradului de nivellare a terenului cu viteza de lucru.

In tabelul 29 sunt prezentate împreună valorile tuturor indicilor calitativi de lucru ai combinatorului, pentru o mai ușoară privire de ansamblu asupra lor.

Tabelul 29. Valorile indicilor calitativi de lucru ai mașinii

Ireapta Indi- cele	$I_f$		$I_r$		$II_f$		$II_r$		$III_f$		$III_r$		$IV_f$		$IV_r$	
	s	i	s	i	s	i	s	i	s	i	s	i	s	i	i	i
$A_m$ (colți) [m]	0,11	0,11	0,11	0,11	0,11	0,11	0,11	0,11	0,10	0,11	0,09	0,09	0,09	0,09	0,09	0,09
$b_m$ [m]	3,0	3,0	3,0	3,0	3,0	3,0	3,0	3,0	3,0	3,0	3,0	3,0	3,0	3,0	3,0	3,0
$G_{ns}$ [i]	46	89	51	86	53	82	61	72	59	77	66	66	68	48	48	48
$G_{np}$ [i]	41	61	44	59	45	58	48	52	48	53	50	50	51	44	44	44
$G_{as}$ [i]	53	78	56	74	57	70	60	64	59	65	61	61	62	50	50	50
$G_{nt}$ [i]	75		77		77		80		80		83		85		81	

## Capitolul 5. Indicii de exploatare ai combinatorului

Degi indicii de exploatare ai unei mașini se determină în obicei, în decursul desfășurării probelor de durată, deci pe o perioadă mai îndelungată de timp, totuși, pe parcursul a cinci zile, s-au efectuat și lucrările necesare în vederea unei aprecieri estimative a acestor indici. Desigur că, cele numai cinci zile de încercări sunt insuficiente pentru a putea fi trase concluzii care să ofere o garanție absolută asupra valabilității datelor.

### - Stabilirea valorilor initiale necesare

Lucrîndu-se, pe parcursul celor cinci zile, numai în vîteza a II-a rapidă, cu acționare de la priza independentă, după metodologia cunoscută, s-a stabilit că agregatul a realizat o viteză medie de lucru:

$$v_m = 1,55 \text{ [m/s]} \quad (5,6 \text{ [km/h]})$$

și un consum mediu orar de combustibil:

$$G_{hm} = 8,6 \text{ [kg/h]} .$$

Conform metodiciei de experimentare, s-au considerat, cronometrat și, respectiv, calculat următorii timpi:

$T$  - timpul total de lucru al schimbului;

$T_1$  - timpul efectiv în brazdă;

$T_2$  - timpul ajutător, cu componentele:

$T_{21}$  - timpul necesar întoarcerilor la capetele parcelei;

$T_{22}$  - timpul parcurs în gol (în cazul cînd se lucrează într-o singură direcție);

$T_3$  - timpul pentru opriri tehnologice, compus din:

$t_{31}$  - timpul de oprire a agregatului pentru încărcarea sau alimentarea mașinii,

$t_{32}$  - timpul consumat pentru trecerea mașinii din poziția de transport în poziția de lucru și invers;

$T_4$  - timpul opririlor din cauze tehnice, cu componentele:

$t_{41}$  - timpul de oprire pentru îngrijiri tehnice la mașină;

$T_{4?}$  - timpul opririlor necesare pentru efectuarea reglajelor;

$T_5$  - timpul de întrerupere a procesului tehnologic, compus din:

$T_{51}$  - timpul de opriri pentru cauzele accidentale ivite la mașină;

$T_{52}$  - timpul opririlor datorate condițiilor naturale;

$T_6$  - timpul opririlor ocazionate de ivirea defecțiunilor tehnice la mașină;

$T_7$  - timpul opririlor din cauze organizatorice, cu componente:

$T_{71}$  - timpul opririlor ocazionate de cauze organizatorice normale;

$T_{72}$  - timpul opririlor datorate proastei organizări;

$T_8$  - timpul opririlor din cauza tractorului, cu componente:

$T_{81}$  - timpul de alimentare și îngrijire tehnică zilnică,

$T_{82}$  - timpul opririlor pentru remedierea defecțiunilor apărute la tractor în timpul lucrului;

$T_9$  - timpul consumat pentru schimbarea locului de muncă:

$T_{91}$  - de la sediu la parcelă și înapoi,

$T_{92}$  - de la o parcelă la alta;

$T_{10}$  - timpul consumat din alte cauze, cu componente:

$T_{101}$  - timpul fiziologic,

$T_{10?}$  - timpul de întreruperi din alte cauze;

$T_{11}$  - timpul pierdut din cauza fenomenelor meteorologice.

Valorile timpilor  $T_i$  de mai sus sunt prezentate în tabelul 30, atât pentru fiecare zi de lucru în parte cât și media celor cinci zile.

Se face observația că, timpii cronometrați au fost exprimați în minute, fără fracțiuni, prin rotunjirea valorilor, în plus sau în minus, după cum valoarea fracționară a fost mai mare sau mai mică decât 0,5 minute.

Pentru calcularea indicilor de exploatare ai mașinii, timpii din tabelul 30 se grupează în cinci categorii principale și anume:

$$T_{01} = T_1 + T_2 + T_3 - \text{timpul operativ net};$$

$$T_{02} = T_{01} + T_4 - \text{timpul operativ total};$$

Tabelul 30. Valorile timpilor  $T_i$  [min]

$T_{zi}$	$T_1$	$T_2$	$T_{21}$	$T_{22}$	$T_3$	$T_{31}$	$T_{32}$	$T_4$	$T_{41}$
1	433	28	28	0	0	0	0	40	0
2	375	36	36	0	0	0	0	58	0
3	249	26	26	0	0	0	0	62	32
4	448	29	29	0	0	0	0	30	0
5	411	31	31	0	0	0	0	28	0
Media	383	30	30	0	0	0	0	44	6

$T_{zi}$	$T_{42}$	$T_5$	$T_{51}$	$T_{52}$	$T_6$	$T_7$	$T_{71}$	$T_{72}$	$T_8$
1	40	22	22	0	0	0	0	0	15
2	58	0	0	0	0	25	25	0	18
3	30	0	0	0	0	0	0	0	78
4	30	25	25	0	0	0	0	0	0
5	28	32	32	0	0	0	0	0	16
Media	37	16	16	0	0	5	5	0	25

$T_{zi}$	$T_{81}$	$T_{82}$	$T_9$	$T_{91}$	$T_{92}$	$T_{10}$	$T_{101}$	$T_{102}$	$T_{11}$	$T_s$
1	15	0	12	12	0	50	50	0	0	600
2	0	18	18	18	0	70	70	0	0	582
3	0	79	20	20	0	55	55	0	110	412
4	0	0	18	18	0	50	50	0	0	600
5	0	16	22	22	0	60	60	0	0	584
Media	5	22	18	18	0	57	57	0	22	556

$$T_{o3} = T_{o2} + T_5 + T_6 - \text{timpul de producție};$$

$$T_{o4} = T_{o3} + T_7 + T_8 + T_9 + T_{10} + T_{11} - \text{timpul total de lucru};$$

$$T_s = T_{o3} + T_{71} + T_{81} + T_{91} + T_{101} - \text{timpul de producție al agregatului}.$$

Valorile de mai sus sunt prezentate în tabelul 31.

Tabelul 31. Valorile timpilor  $T_{o1}$ ,  $T_{o2}$ ,  $T_{o3}$ ,  $T_{o4}$  și  $T_s$

Nr.	Timpul lucru	$T_{o1}$	$T_{o2}$	$T_{o3}$	$T_{o4}$	$T_s$
1		461	501	523	600	600
2		401	459	459	590	572
3		275	337	337	600	412
4		477	507	532	600	600
5		442	439	471	569	553
Media		411	449	465	592	547

Cu mediile valorilor timpilor (pe cele cinci zile de lucru) din tabelele 30 și 31 s-au calculat valorile medii ale indicilor de exploatare recomandați de metodica experimentală.

5.1. Coeficientul de folosire a timpului operativ net:

$$K_{o1} = \frac{T_1}{T_{o1}} \quad (104)$$

5.2. Coeficientul de folosire a timpului operativ total:

$$K_{o2} = \frac{T_1}{T_{o2}} \quad (105)$$

5.3. Coeficientul de folosire a timpului de producție:

$$K_{o3} = \frac{T_1}{T_{o3}} \quad (106)$$

5.4. Coeficientul de folosire a timpului total de lucru:

$$K_{o4} = \frac{T_1}{T_{o4}} \quad (107)$$

5.5. Coeficientul infoarcerilor:

$$K_{21} = \frac{T_1}{T_1 + T_{21}} \quad (108)$$

5.6. Coeficientul deservirii tehnice:

$$K_4 = \frac{T_1}{T_1 + T_4} \quad (109)$$

5.7. Coeficientul sigurantei tehnologice a organelor masinii:

$$K_{51} = \frac{T_1}{T_1 + T_{51}} \quad (110)$$

5.8. Coeficientul sigurantei tehnice:

$$K_6 = \frac{T_1}{T_1 + T_6} \quad (111)$$

5.9. Coeficientul sigurantei în exploatare:

$$K = \frac{T_1}{T_1 + T_{51} + T_6} \quad (112)$$

5.10. Coeficientul de utilizare a timpului de lucru pe schimb:

$$K_s = \frac{T_1}{T_s} \quad (113)$$

5.11. Productivitatea pe ora - lucru efectiv:

$$w_{ef} = \frac{U}{T_1} \quad [\text{ha/h}] , \quad (114)$$

în care:

U - volumul de lucrări executate [ha] ;  
-  $T_1$  (exprimat în h).

5.12. Productivitatea într-o oră din timpul operativ net:

$$w_{ol} = w_{ef} \cdot K_{ol} \quad [\text{ha/h}] . \quad (115)$$

5.13. Productivitatea intr-o oră din timpul operativ total:

$$w_{o2} = w_{ef} \cdot k_{o2} \quad [\text{ha/h}] \quad \cdot (116)$$

5.14. Productivitatea intr-o oră din timpul de producție:

$$w_{o3} = w_{ef} \cdot K_{o3} \quad [\text{ha/h}] \quad \cdot (117)$$

5.15. Productivitatea intr-o oră din timpul total de lucru:

$$w_{o4} = w_{ef} \cdot K_{o4} \quad [\text{ha/h}] \quad \cdot (118)$$

5.16. Productivitatea orară a agregatului:

$$w_{ag} = w_{ef} \cdot K_s \quad [\text{ha/h}] \quad \cdot (119)$$

5.17. Productivitatea pe schimb a agregatului . . .

$$w_{sch} = l_0 w_{ag} \quad [\text{ha/sch}] \quad \cdot (120)$$

5.18. Consumul de combustibil la hecitar:

$$Q = \frac{q}{v} \quad [l/\text{ha}] \quad \cdot \cdot \cdot (121)$$

unde:

$q$  - cantitatea de combustibil consumată; [l]

$v$  - volumul de lucrări executate . [ha]

Valorile tuturor indicilor de exploatare de mai sus sunt grupate în tabelul 32.

Tabelul 32. Valorile medii ale indicilor de exploatare

Indicele	$K_{o1}$	$K_{o2}$	$K_{o3}$	$K_{o4}$	$K_{21}$	$K_4$	$K_{51}$	$K_6$	K
Valoarea	0,93	0,85	0,82	0,64	0,93	0,90	0,96	1,00	0,96
Indicele	$K_s$	$w_{ef}$	$w_{ol}$	$w_{o2}$	$w_{o3}$	$w_{o4}$	$w_{ag}$	$w_{sch}$	Q
Valoarea	0,70	1,68	1,56	1,43	1,38	1,08	1,18	11,8	5,9

## CONCLUZII FINALE SI RECOMANDARI

Desi, aşa cum s-a arătat, maşina a fost realizată în condiţiile unui atelier dintr-un S.M.A., din piese şi subansamblu ce s-au găsit la îndemnă în acea unitate, ca o concluzie generală de sinteză, se poate afirma că, lucrarea reușește să demonstreze - atât teoretic cât şi experimental - posibilitatea realizării unui combinator de o concepţie nouă, care, atât prin caracteristicile sale constructive şi funcţionale cât şi prin eficienţă sa, confirmă faptul că se înscrie pe linia tendinţelor şi a cerinţelor actuale privind mecanizarea mărunţirii solului.

### Intr-adevăr:

1. Prin masa lui destul de mică, prin echiparea cu organe de lucru acţionate de la priza de putere a tractorului şi prin consumul redus de energie, combinatorul dovedeşte o superioritate netă faţă de combinatoarele existente.

2. Prin posibilitatea modificării agresivităţii organelor de lucru acţionate - în funcţie de tipul şi starea solului, prin maniabilitate, prin numărul redus de operaţii necesare întreţinerii tehnice şi prin simplitatea acestor operaţii, prin productivitatea ridicată, maşina îndeplineşte condiţiile de bază ce se impun unui combinator cu un grad final de universalitate.

3. Datorită faptului că acceleratia unui punct oarecare de pe colţul grapei rotative acţionate de la priză are componentă tangenţială nulă, grapa respectivă nu împreşte particulele, nu pulverizează solul şi deci nu-i strică structura, nici la cele mai mari turări de lucru ale rotoarelor. Acest fapt, stabilit teoretic şi confirmat în decursul experimentării, constituie un aspect pozitiv de mare importanţă în ceea ce priveşte calitatea prelucrării. În aceeaşi ordine de idei, şi modulul accelerării totale a unui punct de pe spira grapei rulante elicoidale arată că este vorba de o accelerare având o componentă tangenţială nulă şi o componentă normală de valoare  $r\omega^2$ , ceea ce demonstrează că forţa exercitată de grăpă asupra solului, fiind dirijată radial acţionează, în totalitate, în sensul mărunţirii şi al tasării superficiale, fapt pozitiv

confirmat, de asemenea și în decursul experimentării.

4. Atât din partea a două cît și din partea a treia a tezei rezultă că, pentru acționarea organelor de lucru având și mișcare proprie, trebuie folosită numai priza de putere independentă, ea oferind mai multe posibilități de variație a valorilor indicilor de lucru. Într-adevăr, la folosirea prizei de putere sincrone, indicele cinematic  $\lambda$ , constant și de valoare redusă ( $\lambda = 1,3$ ), face ca, implicit, prin turăția redusă a rotoarelor grapei acționate, să se realizeze un impact slab între colț și sol, insuficient pentru o prelucrare eficace, mai ales în cazul solurilor grele și cu atât mai mult la utilizarea treptelor inferioare de viteze. Astfel, gradul de mărunțire a solului, atât la suprafață cît și în profunzime, au valori considerabil mai reduse la folosirea prizei sincrone față de valorile corespunzătoare în cazul folosirii prizei de putere independente.

5. Gradul de prelucrare a solului  $\Gamma$ , având valori proportionale cu viteza periferică a colților de grăpă și deci cu valoarea indicelui cinematic  $\lambda$ , prelucrarea este cu atât mai energetică cît  $\Gamma$  și deci  $\lambda$  au valori mai ridicate. Se remarcă faptul că  $\Gamma$ , definit ca raport al celor două spații  $s_j$  și  $s_j^1$  (tabelul 8), constituie o noutate.

6. Gradul de afinare a solului are valori mai mari la folosirea prizei de putere independente, în special la folosirea treptelor de viteze inferioare.

7. Gradul de nivelare a terenului prezintă o creștere mică cu viteza de lucru (de la 75% în treapta I înceată pînă la 85% în treapta a IV-a înceată), pînă la viteza a IV-a înceată, peste care scade puțin, datorită, după cum s-a văzut în partea a treia a tezei, efectului de „portență”.

8. Valabilitatea relației stabilite pentru determinarea valorilor teoretice ale ~~restașului~~ grapei rotative cu colții acționați este confirmată, fără nici un dubiu, de încercările experimentale, valorile obținute în decursul determinărilor aflîndu-se în limitele valorilor calculate cu ajutorul relației teoretice.

9. Valorile indicilor energetici și calitativi de lucru ai mașinii confirmă faptul că lucrările pe care le execută ea corespund cerințelor agrotehnice privind pregătirea solului înainte de semănat, patul germinativ prezentând o bună calitate. Ca o paranteză, se menționează că, după experimentarea sa, combinatorul a lucrat timp de doi ani (1975 - 1977) în ferma legumicola a Stațiunii de cercetări viticole Stefănești, dovedindu-se foarte propice în ceea ce privește pregătirea patului germinativ pentru semințe mici. Pregătirea s-a făcut, uneori, fără a se efectua în prealabil lucrarea de baza (în sol usor și mijlociu).

10. Mașina prezintă o mare siguranță în exploatare, nevoie să lucrări de întreținere simple și puține, iar acționarea sa este asigurată în întregime numai de către tractorist, tot te comenziile și manevrele efectuându-se de la postul de conducere.

11. Așa cum este realizată, mașina poate lucra, în toate treptele de viteză folosite la lucrările agricole, în agregat cu tractoare de putere mai mică decât a tractorului U-650, de pildă cu tractoarele echipate cu motoare de 33 kW (45 CP).

12. Pentru obținerea unei mărunțiri și a unei afinări și mai bune decât cele asigurate - în sol greu - de varianta construită și experimentată, combinatorului i se poate largi platja de utilizare, pe două căi principale:

a) înlocuirea roților de lanț  $z_5$  și  $z_7$  ( $z_5 = z_7 = 18$  dinți - fig. 28) cu alte roți de lanț având  $z_5 > 18$  dinți și respectiv  $z_7 < 18$  dinți, în care caz valoarea lui  $\lambda$  crescând, agresivitatea colților crește;

b) echiparea combinatorului cu rotație de grăpe având mai mulți colții, în acest caz realizându-se micșorarea pasului (avansului pe colț) și, prin aceasta, intensificarea mărunțirii.

Socotim, în încheiere, că mașina realizată merită atenția forurilor competente, având convingerea că omologarea ei ar aduce un real aport în mecanizarea mărunțirii solurilor de orice tip, atât în cultura mare cât și în legumicultură.

B I B L I O G R A F I E .

1. - Congresul al XI-lea al Partidului Comunist Român. Editura politică, 1975.
2. Ceaușescu, N. - Expunere cu privire la realizarea unei agriculturi intensive, moderne, de mare randament și înaltă productivitate, la creșterea bunăstării întregii țărănimii, prezentată la primul Congres al consiliilor de conducere ale unităților agricole sociale, al întregii țărănimii - 18 aprilie 1977. Editura politică, București, 1977.
3. Amazone, Schuddege - Lucrarea minimă a solului. In: Sturjini informace Zemedelska technika, R.S. Cehoslovacă, nr.1, 1971.
4. Baciu, Em. Grapă rotativă, brevet de inventie nr.56027/21. IX.1972, OSIM România.
5. Bardovskii,A.,- Agregatul combinat. In: Selskoe hozeaistve Klein, V. rosii, URSS, nr.6, 1971, p.28-29.
6. Bardovskii,A.,- Agregat combinat pentru lucrările solului. Klein, V. In: Zemledelie, URSS, an 32, nr.4, apr.1970, p.70-77.
7. Baur, H. - Utilaj agricol pentru lucrarea solului.Brevet elvețian, nr.481553, anunțat 20 mar. 1969, publicat 15 ian. 1970.
8. Brzkovsky, K. - Grapă rotative și aggregate combinate de mașini la a 51-a expoziție D.L.G. din Køln. In: Mechanizace Zemedelstvi, R.S.Cehoslovacă, an 21, nr.2, februarie 1971, p.68-71.
9. Buzatu, J., Sandu, F. - Mașini combinate pentru lucrarea solului și semănat. Editura Ceres, București, 1971.
10. Buzenkov, G.M.- Efectuarea concomitentă a mai multor lucrări în agricultură. In: Mehanizacija i elektrifikacija sozialisticeskogo selskogo hozeaistva, URSS, an 29, nr.11, 1971, p. 4-7.

11. Caparrini, P. - O nouă mașină de lucrat solul. In: Terra Sole, Italia, an.26, nr.343, mar.1971, p.138-139.
12. Cashmore, W.H.- Lucrările de bază ale solului. In: Farm Mechanization, vol.18, nr.197, 1966, Anglia, p.30.
13. Castelli, G. - Cultivatorul de adâncime „Chisel” - o nouă mașină de lucrat solul. In: Macch.e motori agric., Italia, an.28, nr.10, 1970, p.67-69.
14. Castelli, G. - Cultivatorul de succes „Chisel” pentru lucrarea solului. In: Tractorista, an 16, nr.1, ian.1970, p. 4-5.
15. Castelli, G. - O nouă mașină pentru executarea simultană în diferite moduri culturale a lucrărilor solului pentru înșămîntare. In: Il Riso, Italia, nr.1, mar.1971, p. 3-20.
16. Căproiu, St., Scripnic, V., Dumitru, I. - Teoria, calculul și construcția mașinilor agricole pentru lucrările solului, vol.I. Institutul Politehnic Timișoara, 1973.
17. Căproiu, St., Scripnic, V. - Teoria, calculul și construcția mașinilor agricole pentru lucrările solului, vol.II. Institutul Politehnic Timisoara, 1973.
18. Căproiu, St., Văduva, P., Garici, S. - Mașini agricole pentru lucrările solului-lucrări de laborator. Institutul politehnic Timișoara, 1969.
19. Cernăianu, Em., Petrescu, G., Minulescu, P., Marin, I., Petroianu, R., Buculei, M. - Studiul și realizarea unei grăpe purtate, actionată de la priza de putere a tractorului. In: Universitatea Craiova, Anale, seria a III-a, vol.I (XI), 1969, biologie științe agricole. Editura Ceres, București, p. 583-591.
20. Cirkun, V., Drozdov, V. - Nivelator - tăvăluug combinat. In: Zemledele, an.31, nr.8, aug.1969, p.71-73.

22. Falleinne, E. - Pregătirea solului pentru semănatul grâului cu ajutorul maginilor rotative. In: Le marchand réparateur de Tracteurs et machines agricoles, an.42, nr.9, Franța, 1966, p. 59-61.
23. Dalleinne, E. - Limitele și cerințele lucrărilor minime ale solului sau lucrarea simplificată a solului. In: Tracteurs et machines agricoles, Franța, nr.9, 1969, p.61-67.
24. Dalleinne, E., Billot, J.F. - Metode noi de lucrare a solului și consecințele acestora asupra exploatarii agricole. In: Genie rural, Franța, an.64, nr.2, feb. 1971, p.63-69.
25. Dalleinne, E., - Atitudinea agricultorilor față de agregatele de mașini agricole combinate. In: Bulletin d'Information du CNEEMA, Franța, nr.158-159, mart-apr. 1971, p. 23-27.
26. Danfors, E. - Lucrarea minimă a solului. In: Studjini informace Zemedelska technika, R.S.Cehoslovacă, nr.1, 1971, 80 p.
27. Debruck, J. - Lucrarea minimă a solului. In: Feld und Wald, RFG, an.90, nr.13, mar.1971, p.5-7.
28. Domsch, M. - Studiu asupra lucrărilor minime ale solului. In: Deutsche Agrartechnik, EDG, nr.1, 1966, p. 9-11.
29. Estler, M. - Cultivarea terenului primăvara cu minimum de lucrări. In: Landmasch. Rundsch, R.F.G., nr.2, febr.1971, p.35-38.
30. Feuerlein, W. - Aggregate combinate de mașini pentru lucrat solul. In: Landmasch. Rundsch, R.F.G., an.22, nr.7, iul.1970, p. 197-200.
31. Feuerlein, W. - Lucrările minime ale solului posibilități și limite de aplicare. In: Landtechnik, RFG, an.26, nr.5, mar.1971, p.117-121.

32. Fraboni, M. - Un cultivator sistematic pentru o agricultură superioară. In: Macch. e motori agric. Italia, an 28, nr.6, iun. 1970, p. 75-79.
33. Fulop, G. - Mașini pentru pregătirea patului germinativ într-o singură trecere. In: Mezőgazdasági technika, R.P.Ungaria, an.9, nr. 2, 1969, p.4-6.
34. Gill, W.R. - Tasarea solului prin trecerea mașinilor agricole. In : Agricultural Engineering, SUA, nr.7, 1959.
35. Henkes, R. - Lucrarea minimă a solului? In: World Farming, SUA, nr.6, iun.1969, p.11-16.
36. Herzog, R., Bosse, O. - Insămîntarea directă fără lucrarea de bază a solului. In:Feldwirtschaft , RFG, an.lo, nr.8, aug. 1969, p.373-374.
37. Hubabek, J. - Lucrarea minimă a solului. In: Mechanizace Zemedelstvi, R.S. Cehoslovacă, nr. 5, 1969, p.137-139.
38. Isselstein, R. - Mașină de concepție nouă pentru mecanizarea lucrărilor agricole. In: Landtechnika, RFG, nr.lo, 1972, p.220-223.
39. Ivanov, V., Kipiatkov, B. - Agregat combinat de plug cu bară de afinare și tîrșitoare pentru lucrarea solului. In: Tehn. S-h, nr.30. nr.2, feb. 1970, p.77.
40. Jones, F. - Folosirea metodelor de lucrări minime ale solului în Franța. In: Farmers Weekly, Anglia, nr.1, oct.1971.
41. Kofkin, S. - Mașină pentru lucrările solului. Brevet RFG, nr.1191151, cl.45 a 33/02, A ol b, 30.XII.1965.
42. Kirilenko, A.S., și col. - Unealtă combinată (brevet UKSS). In: Izobreteniia promislenie obrazt'i tovarne znaki, 43(6), 1969, p.102.

43. Kononov, A.M., Garbar, V.A. - Tasarea solului de către agregatele tractor-mașină agricolă. In: Mehaniz. Elektrif. Sozial S.h., URSS, nr.1, 1973, p.46.
44. Krasnogciokov, N.V., Kolceanov, V.B. - Creația vitezei de lucru a agregatelor tractor-mașină agricolă. In: Mehaniz. Elektrif. Sozial S.h., URSS, nr.1, 1972, p.24-26.
45. Kuznetsov, T., Drozdov, V., Guzev, I. - Agregat combinat pentru pregătirea solului înainte de semănat. In: Tehn.S.-h, URSS, an.30, nr.1, ian.1971, p. 19-22.
46. Lack, H. - Lucrarea minimală a solului. In: Landtechnik, vol.21, nr.3, 1966, RFG, p. 71-72.
47. Linder, H. - Elaborarea unui combinator pentru soluri grele. In: Deut.Agrartech., RFG, an.18, nr.10, oct.1968, p.487-489.
48. Mazeev, F.O., Ohotnikov, B.L. - Criterii de apreciere a agregatelor combine. In: Mehaniz.Elektrif.Social S-h, URSS an.29, nr.11, 1971, p.7-9.
49. Mellen, William-Fisk . - Agregat pentru lucrarea combinată a solului. Brevet SUA, nr.3224392, cl. 111-52 din 21.XII.1965.
50. Muhametov, E. - Agregat combinat pentru arat. In: Zemledelie, an.31, nr.8, aug.1969, p. 75-76.
51. Panov, I.M. - Directii de bază în crearea mașinilor combine de lucrat solul și semănat. In: Trakt.Selhozmaș, URSS, an.42, nr.8, 1972, p.44-46.
52. Peterson, A. - Sisteme de lucrare minimă a solului. In: The Farm Quarterly, SUA, nr.19, nr.1, 1964, p.86-87, 119.

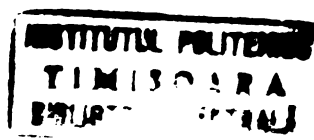
53. Petroianu, R., Căproiu, St. - Cercetări privind mecanizarea mărunțirii solului cu ajutorul combinatoarelor. Sesiunea științifică a Institutului politehnic Timișoara, 12-15 mai 1977.
54. Plooy, J. - Reducerea lucrărilor solului profit mai mare Farming Siuth Africa, Africa de Sud, an.42, nr.3, 37, 39, 41.
55. Popescu, M. - Problemele agriculturii românești. Arricultura ramură de bază a economiei naționale. Dezvoltarea intensivă și modernizarea agriculturii. In: Revista economică, nr.5/1976, p. 14-16.
56. Roșca, I., Pandrea, N. - Curs de mecanică tehnică. Partea a doua. Institutul politehnic București, 1973.
57. Sack, H. - Criterii de alegere a uneltelelor combinate pentru lucrarea solului. In: Prakt. Landtech., an. 22, nr.5, mar.1969, p. 160-164.
58. Sack, H. - Tăvălugul de afinare și mărunțire-unealta de bază a agregatelor combine actuale. In: Prakt.Landtechn. an 22, nr.6, mar.1969, p. 210-213.
59. Sack, H. - Combinării de mașini pentru lucrările solului. In: Prakt.Landtech. an.22, nr. 7, apr.1969, p.241-243.
60. Sara, C. - Direcțiile noi în lucrarea solului cu tractoare de mare putere. In: Mecaniz. Zemed., Cehos., an.20, nr.3, mar. 1970, p. 91-93.
61. Schiffer, W. - Lățimi de lucru mai mari sau viteze mai mari. In: Landmaschinen Markt, RFG, an. 40, nr.4, 1970, p. 18-21.
62. Seneavscchi,A. - Realizări noi în lucrarea solului . In: Zemledenie, URSS, 1966, vol.28, nr.9,p. 74-79.

63. Soane, B,D. - Influența rulării mașinilor asupra tasării solului. In: J. Proc. Inst. Agric. Eng. Anglia, vol.25, nr.3, 1970, p.115-119.
64. Sommer, C., Klügel, H. - Utilaj modern pentru lucrările solului. In: Mitt dent Landw Ges, vol.85, nr.7, 1970.
65. Sommer, C., Zach, M. - Rolul și funcționarea grapei rulante în agregatul combinat pentru pregătirea patului germinativ. In: Landtech. Forschung, RFG, an.19, nr.3/4, 1971, p.81-87.
66. Staicu, Ir. - Agrotehnica, Editura agrosilvică, Buc., 1969.
67. Tatarlă, M. - Mașini pentru cultura plantelor cu minimum de lucrări ale solului. In: Academia de științe agricole și silvice, CIDAS, 1971. Sinteza 763.
68. Tămășanu, D. - Mașini cu organe rotative pentru prelucrarea solului. Edit. Ceres, București.
69. Toma, Dr., Scripnic, V., Păunescu, I. - Prelucrarea solului cu grape cu colți dispuși pe bare oscilante. In: Studii și cercetări de mecanică agricolă, 1971, vol. V., nr.2, p.101-112.
70. Tomescu,D.,Mitroi Repararea utilajului agricol. Editura Ceres, Florea St. 1975.
71. Vetterlein, R. - Aggregate combineate moderne purtate pe mecanismul de suspendare în trei puncte, destinate pregătirii patului germinativ al sfecliei de zahăr. In: Zuckerrübe, RFG, an.19, nr.3, mai 1970, p.24-27.
72. Vogt, C. - Aggregate combineate pentru pregătirea patului germinativ. In: Landtechnik, RFG, nr.4, 1967, p.92-96.
73. - Aspecte privind mecanizarea și rationalizarea agriculturii din SUA, Praha, 1966, preklad UVTI, nr.P 389/66.

74. - Lucrarea solului cu organe active oscilatorii cu frecvență mare. In: Landmaschinen Markt, RFG, nr.9, 1970, p.48.
75. - Aggregate combinate pentru lucrarea solului. In: AID, RFG, nr.308-Bonn, 1969.
76. - Mașini agricole combinate. In: Mechanizace zemedelstvi, R.S. Cehoslovacă, an.21, nr.3, 1971, p.104-105.
77. - Folosirea simultană a mai multor unele agricole pentru lucrarea superficială a solului înainte de semănat. In: Le tracteur et la machine agricole, Elveția, an.32, nr.11, aug.1970, p.490-495.
78. - Grapă oscilantă acționată de la roțile de rulare. Brevet nr. 61997. In: Offic.Gaz. SUA, vol. 903, nr.4, 1972, 1243.
79. - Unealtă agricolă. Brevet nr.1230669 din 17 apr. 1968. In: Zarubej, Izobret S-h, UISS, an 2, nr.10, 1972, p.5.
80. - Prospecte ale firmei Accord R.F.G.
81. - Consiliul Superior al Agriculturii. I.C.M. A. Lucrări științifice, col. X, p.5-27.
82. - Pregătirea rapidă a patului germinativ. In: Reparatur und Kundendienst, an.10, nr. 3, 1966, R.F.G., p.112.
83. - Un cultivator nou de tip ugor. In: Power Farming and Better Farming Digest. Informarea agricultorului, vol.75, nr.7, Australia, 1966, p.11.
84. - Iată răspunsurile la semănatul fără pregătirea terenului. In: Farmers Digest Informarea agricultorului nr.6/ 1971, CIDAS, p. 76-80.
85. . . . - Avec les tracteurs de grande puissance faut-il repenser le materiel de travail du sol? In: Motorisation agricole, France, nr. 243, 1968, p.23-25.

86. - Agregatul combinat pentru lucrarea solului și semănat, supercultivatorul „Cantone”, Academia de științe agricole și silvice, CIDAS. Tractoare, mașini și instalații agricole, vol.IV. nr.11, 1971, p. 5-6.
87. - Limitele vitezei de lucru la lucrările agricole mecanizate. In: Buletin d'Information de CNEEMA, Franța, nr.163-164, 1971, p.15.
88. - Dispozitiv de lucrat solul. In Bull.Offic. Propri.Industr., Franța, nr.7, febr.1972, Sol2.
89. - Mașină de lucrat solul. In: Offic.Gaz., SUA, vol. 892, nr.1, nov. 1971, 109.
90. - Mașină combinată de lucrat solul (brevet URSS). In: Izobraten prom. Obrazți tovar. Znaki, an. 47, nr.15, 1970, p.llo.
91. - Tehnică folosită la lucrările minime ale solului. In: Landmasch.Rundsch., R.F.G., an 22, nr.1, 1970, p. 6-9.
92. - Agregat combinat de lucrat solul. In: Landtechnik R.F.G., nr.8, apr. 1970, p. 247.
93. - Mașină nouă pentru lucrarea solului. In: Reparatur und Kundendienst, an.20, nr.4, 1 1966, R.F.G., p.151.
94. - Grapă cu cadru oscilant acționat de la arborele prizei de putere. In: Grundlag. Landtech., vol.20, nr.3, 1970, p.89.
95. - Grapă cu secție de grăpă rotativă în jurul axului central vertical cuplat în punctul de rotație la o bară de tracțiune. In: Anszüge Patentanmeld R.F.G., an.16,nr. 21, mai 1970, 735.
96. - Grapă dințată activă. In: Mechaniz.rolnic... Polonia 19, nr.5, 1970,p.29-30.

97. - Un nou plug - cultivator. In: macchine e motori agricoli, an.24, nr.2, 1966, Italia, p. 117-119.
98. - Grapă. In: Bull.Offic.Propr.Industr., Franța, an.11, nr.11, 3841.
99. - Grapă cu bare oscilante. In: Canad.form. Equipment Dealer, Canada, vol.66, nr.4, apr.1970, p.46.
100. - Reducerea lucrărilor agricole de primăvară prin aplicarea minimului agrotehnic. In: Corps and Soils, vol.18, nr.4, 1966, SUA, p.22-23.
101. - Pregătirea minimă a solului. In: Studijni informace, Rostinna výroba, nr.1, 1965, Cehoslovacia, p. 1-88.



## C U P R I N S U L

• • • - Combinatoarele CPGS . . . . .	24
• • • - Combinatoarele Rau-Kombi. . . . .	26
• • • - Combinatoarele Crammer. . . . .	26
- Combinatoarele Kockerling . . . . .	26
- Combinatoarele Stoll. . . . .	26
- Combinatorul RVK-3 . . . . .	26
• • - Combinatorul Schmotzer. . . . .	28
- Agregatul combinat Accord-Weiste. . .	29
2.4. Privire critică asupra uneltelor și mașinilor pentru măruntirea solului. Oportunitatea con- struirii unui combinator pentru condițiile agriculturii din țara noastră . . . . .	39
<b>PARTEA A DOUA. CONTRIBUTII TEORETICE LA MECANIZAREA</b>	
• • • PROCESULUI DE MARUNTIRE A SCIULUI. . . . .	41
Capitolul 1. Alegerea tipului de mașină. . . . .	41
1.1. Grapă rotativă cu colții acționată de la pri- za de putere. . . . .	45
1.1.1. Cinematica colțului. . . . .	46
• • • Deplasarea colțului grapei . . . . .	46
Spațiul parcurs de combinator la o rota- ție completă a grapei rotative acțio- nate. . . . .	53
Viteză colțului grapei. . . . .	55
• • • Accelerația colțului de grăpă . . . . .	64
Spațiul parcurs de colț într-o perioadă de rotație. . . . .	67
1.1.2. Dinamica colțului; rezistența la înaint- tare a colțului grapei. . . . .	70
1.2. Rezistența la înaintare a grapei rotative acționate. . . . .	74
Capitolul 2. Grapă rulantă elicoidală . . . . .	83
Capitolul 3. Rezistența la înaintare a combinatorului și puterea de tracțiune necesară . . . . .	87
<b>PARTEA A TREIA. EXPERIMENTARE COMBINATORULUI REALIZAT</b>	89
Capitolul 1. Descrierea combinatorului; construcție și caracteristicile tehnice principale; reglajele mașinii . . . . .	97
Caracteristicile tehnice principale ale mașinii. . . . .	90
Reglajele mașinii . . . . .	91

<b>Capitolul 2. Metodica experimentală. . . . .</b>	<b>91</b>
· · 2.1. Paroela de experimentare . . . . .	91
· · 2.2. Aparatura de experimentare. . . . .	93
· · 2.3. Determinarea maselor părților componente ale combinatorului, a distribuției masei combinatorului pe reazeme și a centrului de greutate al mașinii. . . . .	94
<b>Capitolul 3. Indicii energetici de lucru ai combinatorului. . . . .</b>	<b>96</b>
· · 3.1. Forța medie de rezistență la tracțiune	97
· · 3.2. Viteza medie efectivă de lucru a mașinii	104
· · 3.3. Rezistență specifică medie pe 1 m lățime de lucru. . . . .	105
· · 3.4. Patinarea medie . . . . .	106
· · 3.5. Consumul orar de combustibil . . . . .	107
· · 3.6. Productivitatea tehnică orară convențională medie . . . . .	108
· · 3.7. Consumul mediu de combustibil la hecțar	109
· · 3.8. Puterea medie la cîrlig. . . . .	110
· · 3.9. Rândamentul de utilizare a forței la cîrlig . . . . .	115
<b>Capitolul 4. Indicii calitativi de lucru ai mașinii</b>	<b>117</b>
· · 4.1. Adâncimea medie de lucru a organelor mașinii. . . . .	117
· · 4.2. Lățimea medie de lucru a mașinii . . .	119
· · 4.3. Gradul de măruntire a solului la suprafață	119
· · 4.4. Gradul de măruntire a solului în profunzime. . . . .	121
· · 4.5. Gradul de afinare a solului. . . . .	122
· · 4.6. Gradul de nivelare a terenului . . . .	122
<b>Capitolul 5. Indicii de exploatare ai combinatorului</b>	<b>125</b>
<b>CONCLUZII FINALE SI RECOMANDARI. . . . .</b>	<b>131</b>
<b>BIBLIOGRAFIE . . . . .</b>	<b>134</b>
<b>CUPRINSUL . . . . .</b>	<b>144</b>